

Identifikation von Wolken im Sichtfeld der Fluoreszenzdetektoren des Pierre-Auger-Observatoriums

Bachelor-Arbeit
zur Erlangung des akademischen Grades
Bachelor of Science
(B.Sc.)

der Universität Siegen



Department Physik

vorgelegt von
Silas Rodekamp

Januar 2018

Inhaltsverzeichnis

1. Einführung	3
2. Kosmische Strahlung	4
2.1. Energiespektrum	4
2.2. Zusammensetzung	6
2.3. Ausgedehnte Luftschauder in der Atmosphäre	6
3. Das Pierre-Auger-Observatorium	7
3.1. Der Oberflächendetektor	8
3.2. Der Fluoreszenzdetektor	8
3.3. Rekonstruktion der FD Daten	12
3.4. Ergebnisse bisheriger X_{\max} -Analysen	15
4. Analyse	17
4.1. Beschreibung der Datenextraktion aus den ADST-Dateien und der Wolkendatenbank	17
4.2. Beschreibung des bisherigen Wolkenschnitts	19
4.3. Möglichkeiten zur Veränderungen des Wolkenschnitts	20
4.4. Vergleich von X_{\max} -Plots für verschiedene Wolkenschnitte	23
4.4.1. Vergleich mit dem Wolkenschnitt in [11]	23
4.4.2. Vergleich des Wolkenschnitts in [11] mit dem eigenen Wolkenschnitt	24
4.4.3. Vergleich verschiedener Pixelauswahlen	26
4.4.4. Vergleich des <i>selected</i> - mit dem <i>removed</i> -Datensatz	28
4.4.5. Vergleich eines wolkenfreien mit einem nicht wolkenfreien Datensatz	30
4.5. Zusätzliche Fragestellungen	33
4.5.1. Die durchschnittliche Wolkenbedeckung in der Pampa	33
4.5.2. Wie schnell ändert sich die durchschnittliche Wolkenbedeckung in der Spur?	34
4.5.3. Der zeitliche Verlauf aktiver Wolkenkameras	37
5. Zusammenfassung der Ergebnisse	42
A. Plots	45
B. Programmcode	48

1. Einführung

Am in Argentinien gelegenen Pierre-Auger-Observatorium werden hochenergetische kosmische Luftschauder vermessen mit dem Ziel mehr Kenntnisse über die Energie und die Zusammensetzung der primären kosmischen Strahlung und somit mehr Wissen über die Quellen dieser Teilchen zu sammeln. Zwei verschiedene Detektortypen werden benutzt, um die kosmische Strahlung auf dem Grund bzw. in der Atmosphäre zu untersuchen. Diese Bachelorarbeit wertet Daten der Detektoren aus, die in die Atmosphäre schauen. Insbesondere ist das Ziel der Bachelorarbeit den Einfluss von Wolken auf die Daten zu untersuchen. Es stellt sich die Frage, wie groß der Einfluss von sich zwischen Luftschauder und Teleskop befindlichen Wolken ist und wie möglichst geschickt die Daten der Luftschauder, in denen Wolken eine Rolle spielen, von denjenigen getrennt werden können, in denen definitiv kein Wolkeneinfluss zu erwarten ist.

Im ersten Teil werden die physikalischen Grundlagen der kosmischen Strahlung näher erläutert. Zu diesen Grundlagen gehören das Energiespektrum und die Zusammensetzung der kosmischen Strahlung. Außerdem wird erklärt, wie ausgedehnte Luftschauder in der Atmosphäre entstehen und welche von der Energie und Teilchentyp abhängigen Größen sich zur Charakterisierung der Luftschauder eignen. Im nächsten Kapitel wird dann speziell auf das Pierre-Auger-Observatorium eingegangen. Dort werden allgemeine Informationen über das Experiment genannt. Da die Fluoreszenz-Detektoren und die Wolkenkameras eine wichtige Komponente dieser Bachelorarbeit sind, sollen sie und auch die Rekonstruktion der Luftschauder aus den Fluoreszenz-Detektor Daten detaillierter erläutert werden.

Im vierten Kapitel befindet sich die eigentliche Analyse der Daten. Verschiedene Datensätze werden für verschiedene Fragestellungen gegenübergestellt, um zunächst die Frage zu beantworten, wie groß der Einfluss der Wolken auf die Daten ist, und dann eine Abschätzung zu geben, ob die Daten der Wolkenkameras allein ausreichen, um die atmosphärischen Bedingungen über dem Areal zu überwachen. Die Zusammenfassung der Ergebnisse befindet sich im fünften Kapitel.

2. Kosmische Strahlung

Nachdem Ende des 19. Jahrhunderts die radioaktive Strahlung entdeckt wurde und bereits erste Experimente mit radioaktiven Elementen gemacht wurden, beobachtete Victor Hess auf einem Ballonflug, dass mit zunehmender Höhe ionisierende Strahlung zunimmt. Die schon zuvor auf der Erde entdeckte radioaktive Strahlung konnte nicht die Ursache dieser Beobachtung sein, denn diese müsste mit zunehmendem Abstand vom Erdboden abnehmen. Die Quelle der von Hess beobachteten ionisierenden Strahlung musste also kosmischen Ursprungs sein. Seitdem ist die sogenannte kosmische Strahlung Gegenstand wissenschaftlicher Forschung. Durch ein genaueres Verständnis von Energiespektrum und Identität der primären kosmischen Teilchen lassen sich zuverlässigere Rückschlüsse auf die Herkunft der Teilchen und somit ein tieferes Verständnis von den Vorgängen in unserem Universum ableiten.

2.1. Energiespektrum

Jede Sekunde dringt eine große Zahl aus dem All kommender Teilchen in die Erdatmosphäre ein. Die Häufigkeit solcher primärer kosmischen Teilchen nimmt mit zunehmender Energie drastisch ab. In Abb. 2.1 ist der differentielle Fluss an Teilchen als Funktion von der Energie aufgetragen. Für jede Größenordnung in der Energie nimmt der Fluss um ca. drei Größenordnungen ab. Von den niederenergetischen Teilchen im GeV-Bereich (10^9 eV) treffen hunderte Teilchen pro Sekunde und pro Quadratmeter auf die Atmosphäre, während bei den ultrahochenergetischen Teilchen im EeV-Bereich (10^{18} eV) im Schnitt nur noch ein Teilchen pro Quadratkilometer und Jahrhundert zu erwarten ist. Bei diesen Größenordnungen müssen unterschiedliche Methoden zur Messung des Spektrums angewendet werden. Für kleine Energien werden Ballons oder Satelliten für Messungen benutzt. Obwohl sie nur eine kleine Fläche abdecken können, reicht das auf Grund des großen Flusses an primären kosmischen Teilchen aus, um genügend Daten zu sammeln. Im Gegensatz dazu sind ultrahochenergetischen Teilchen so selten, dass eine viel größere Fläche benötigt wird. Die von ihnen ausgelösten Luftschauder besitzen genügend Energie, um den Erdboden zu erreichen. Das wird ausgenutzt, um auf dem Grund großflächig die in der Atmosphäre entstehenden Luftschauder zu entdecken und zu vermessen. Denn auch dadurch können dann Rückschlüsse auf das primäre Teilchen gezogen werden. Die bisher höchste Energie eines primären kosmischen Teilchens wurde 1991 von dem Fly's-Eye-Detektor in Utah (USA) mit 320 EeV gemessen. Diese Energie ist über 7 Größenordnungen größer als die Energien, die im Large Hadron Collider in Genf am CERN erreicht werden können.

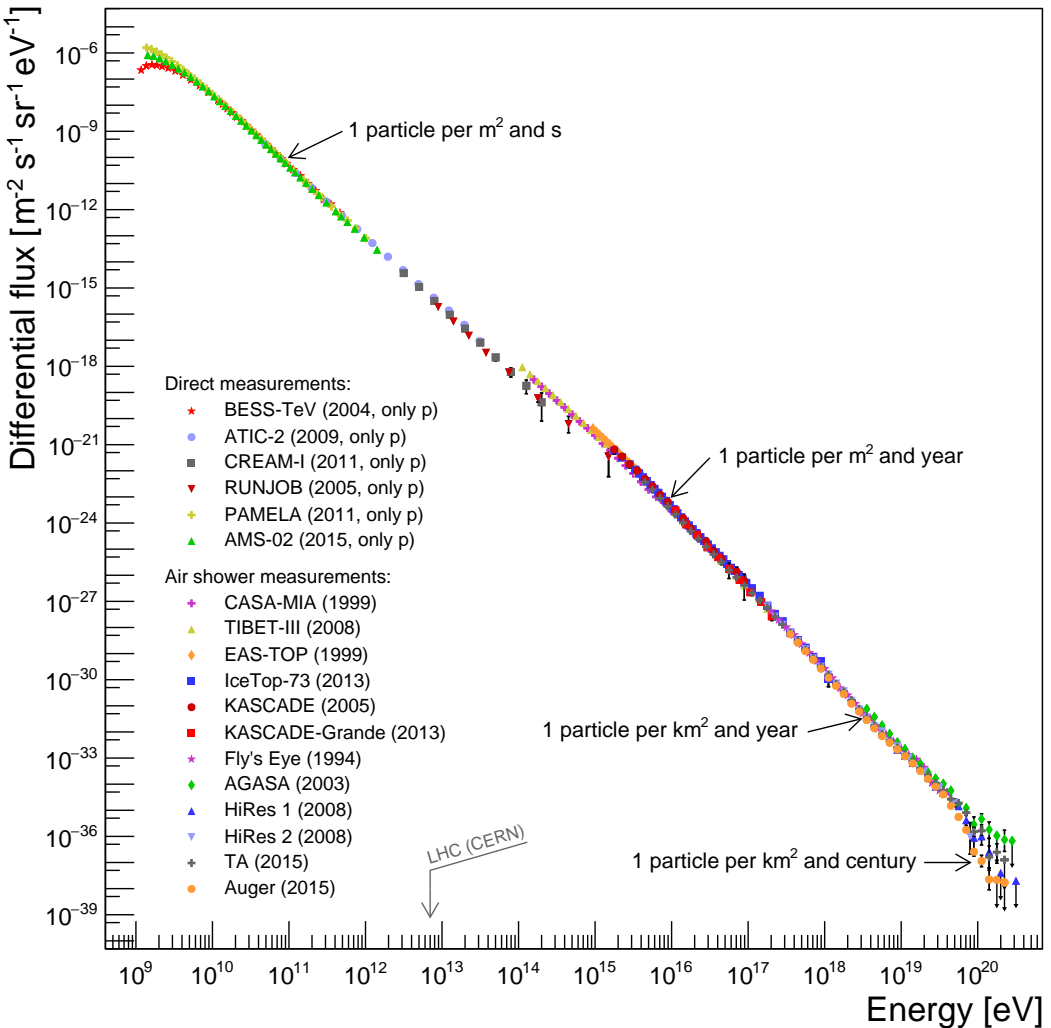


Abbildung 2.1: Das Spektrum der primären kosmischen Strahlung [1]. Der differentielle Fluss an Teilchen ist als Funktion der Energie dargestellt. Beide Achsen sind logarithmisch. Die Messwerte stammen von den verschiedensten Experimenten, die im niederenergetischen Bereich direkt den Protonenfluss und die im hochenergetischen Bereich indirekt und den ganzen Fluss an Teilchen gemessen haben. Der Übergang zwischen direkten und indirekten Messungen ist bei ca. 10^{14} eV.

Der Fluss an kosmischer Strahlung ϕ folgt einem Potenzgesetz.

$$\phi(E) \propto E^{-\gamma} \quad (2.1)$$

In der Abbildung 2.1 sind zwei Strukturen sichtbar, auf die von der Forschung ein besonderes Augenmerk gelegt wird. Zum Einen lässt sich ab einer Energie von etwa $4 \cdot 10^{15}$ eV eine leicht größere Steilheit im Spektrum beobachten. Der spektrale Index γ ändert sich bei dieser Energie von $\gamma = 2,7$ auf $\gamma = 3$. Dieser Punkt wird mit „Knie“ bezeichnet. Ein zweiter Knick, der sogenannte „Knöchel“, ist bei einer Energie von $4 \cdot 10^{18}$ eV

vorhanden, in dieser Abbildung jedoch kaum sichtbar. Der spektrale Index wird wieder etwas kleiner als drei. Sowohl für den Ursprung des Knies, als auch für den des Knöchels gibt es eine ganze Reihe von Theorien. Genauere Informationen dazu können in [2] gefunden werden.

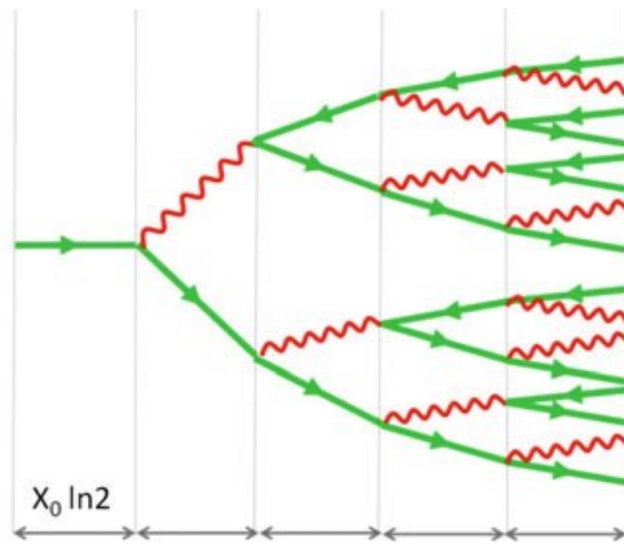
2.2. Zusammensetzung

Die primäre kosmische Strahlung setzt sich zu 2% aus Elektronen und zu 98% aus Atomkernen zusammen, diese wiederum setzen sich zu 86% aus Protonen, zu 12% aus alpha-Teilchen und zu 3% aus schweren Kernen zusammen [3]. Während die Zusammensetzung bei niedrigen Energien bis ca. 100 TeV der Häufigkeitsverteilung der Atomkerne ähnlich der Elementverteilung in unserem Sonnensystem ist, ist die Frage der Zusammensetzung bei hohen Energien noch ungeklärt. Die Schwierigkeit besteht darin bei indirekten Messungen den Teilchentyp des primären Teilchens zu bestimmen. Wäre dies möglich, so könnten aus diesen Informationen Rückschlüsse über die Herkunft der Teilchen gezogen werden [2].

2.3. Ausgedehnte Luftschauder in der Atmosphäre

Dringt ein primäres kosmisches Teilchen mit der Energie E_0 in die Erdatmosphäre ein, so wird es mit einem anderen Teilchen in der Erdatmosphäre wechselwirken und an dieses Teilchen einen Teil seiner Energie abgeben. Sowohl das Primär- als auch das Sekundärteilchen werden wiederum mit neuen Teilchen in der Atmosphäre wechselwirken. Auf diese Weise entsteht eine ganze Lawine von verschiedenen Teilchen, die erst dann wieder abklingt, wenn die Energie eines einzelnen Teilchens nicht mehr für eine weitere Wechselwirkung ausreicht. Dieser Prozess wird stark vereinfacht im Heitler-Modell [4] beschrieben. Es geht davon aus, dass ein Primärteilchen die Hälfte seiner Anfangsenergie an ein Sekundärteilchen abgibt. Beide Teilchen geben wiederum die Hälfte ihrer Energie an jeweils ein neues Teilchen ab. Dieser Prozess setzt sich fort, bis das Schauermaximum erreicht ist, bei dem N Teilchen im Schauer jeweils eine Energie von $1/N$ der Primärennergie haben. Dies entspricht der kritischen Energie E_{crit} . Aus diesem einfachen Modell, dessen Prinzip in Abb. 2.2 nochmals skizziert ist, folgt eine Gesamtteilchenanzahl $N_{\max} = E_0 \cdot E_{\text{crit}}^{-1}$ und die atmosphärische Tiefe des Schauermaximums von

$$X_{\max} = \frac{\lambda}{\ln(2)} \cdot \ln \left(\frac{E_0}{E_{\text{crit}}} \right) \quad (2.2)$$



$k =$	1	2	3	4	5
$N =$	2	4	8	16	32
$E / E_0 =$	1/2	1/4	1/8	1/16	1/32

Abbildung 2.2: X_0 ist eine Strahlungslänge, k gibt die Anzahl an Strahlungslängen an, N ist die Teilchenanzahl, E ist die Energie pro Teilchen und E_0 ist die Energie des Primärteilchens. Dargestellt ist ein Elektron/Positron als Primärteilchen. In dieser Skizze ist es so dargestellt, dass Photonen Elektron-Positron-Paare und Elektronen/Positronen Bremsstrahlung erzeugen. Nach jeder weiteren Strahlungslänge verdoppelt sich die Teilchenanzahl und halbiert sich die Energie pro Teilchen. [5]

Obwohl dieses Modell stark vereinfacht ist, geht aus dem Modell hervor, dass die maximale Teilchenanzahl proportional zu der Primärenergie E_0 und die atmosphärische Tiefe des Schauermaximums X_{\max} proportional zu $\ln(E_0)$ ist. Diese Zusammenhänge sind auch experimentell bestätigt worden. Computer können die zufälligen Wechselwirkungen von Teilchen in der Atmosphäre auch mit Monte-Carlo-Methoden simulieren. Auf diese Weise können Luftschaue simulierte werden, um beispielsweise Analyseverfahren zu erstellen und zu verbessern.

3. Das Pierre-Auger-Observatorium

Das Pierre-Auger-Observatorium ist das weltweit größte Observatorium zur Messung von kosmischer Strahlung. Der Bau dieses Observatoriums begann 2004. Es umfasst 1600 SD Stationen (SD : surface detector) und 4 FD Standorte (FD : fluorescence detector) [6]. Beide Detektortypen werden genutzt, um Schauer zu rekonstruieren. Da für diese Arbeit die FD Standorte wichtiger sind, soll auf diese etwas genauer eingegangen werden.

3.1. Der Oberflächendetektor

Das Pierre-Auger-Observatorium umfasst 1600 SD Stationen. Die Stationen beinhalten jeweils einen 12 m^3 großen, mit reinem Wasser gefüllten Tank, in dem das von schnellen Teilchen produzierte Cherenkov-Licht mittels dreier Photomultiplier beobachtet werden kann. Um die Energieversorgung zu gewährleisten, verfügt jede SD Station über ein eigenes Solar Panel. Jede SD Station funktioniert demnach völlig autark und sie ist durchgängig aktiv. Die Stationen sind in einer hexagonalen Struktur mit einem jeweiligen Abstand von 1,5 km angeordnet (siehe Abb. 3.1). Auf diese Weise wird eine Fläche von 3000 km^2 abgedeckt. Der Abstand zwischen den Tanks ist so gewählt, dass Luftschauder im hochenergetischen Bereich optimal beobachtet werden können und die Fläche ist so groß, weil dann zumindest mit einigen hochenergetischen Teilen pro Jahr gerechnet werden kann. Bei diesem Abstand wird die volle Triggereffizienz für Schauer mit einem Zenitwinkel kleiner als 60° ab einer Energie von $3 \cdot 10^{18} \text{ eV}$ erreicht. Wird ein Trigger an einer einzelnen Station ausgelöst, so wird das dem CDAS (central data aquisition system) zusammen mit einem Zeitstempel weitergeleitet. Bekommt das CDAS von mehreren Stationen gleichzeitig ein Signal, so kann das gemessene Ereignis als ein Luftschauder eingestuft werden und die Stationen übermitteln alle zu speichernden Daten über eine Radiowellen-Schnittstelle an das CDAS.

3.2. Der Fluoreszenzdetektor

Bei einem Luftschauder können geladene Teilchen Stickstoffmoleküle in der Atmosphäre anregen. Die zerfallen wieder in ihren Grundzustand unter Aussendung von ultraviolettem Licht im Wellenlängenbereich von 300-430 nm. Die Intensität des ausgesandten Lichts ist proportional zu der in der Atmosphäre deponierten Energie. Das heißt, dass die Intensität direkt mit der Anzahl der geladenen Teilchen in dem Luftschauder korreliert und somit von der Energie des Primärteilchens abhängig ist. Um dieses Licht zu beobachten, befinden sich an den Seitenrändern des Areals vier Standorte für Fluoreszenz-Detektoren, die jeweils über 6 Teleskope verfügen. Die Standorte sind so angeordnet, dass die ganze Atmosphäre über dem Areal beobachtet werden kann. Ein zentral gelegenes Ereignis kann ab einer Energie von 10^{19} eV von allen vier Seiten aus beobachtet werden. Jedes Teleskop deckt 30° im Azimutal- und 30° im Höhenwinkel ab. Ein Standort deckt dann insgesamt einen Azimutalwinkel von 180° ab (vgl. Abb. 3.1).

Ein Teleskop besteht aus einem 13m^2 großen Spiegel, in dessen Brennpunkt eine Einheit mit 440 Photomultipliern ist, die jeweils einem Pixel entsprechen. Um die gesamten $30^\circ \cdot 30^\circ$ im Sichtfeld des Teleskops abzudecken, deckt jeder Pixel einen Raumbereich im Sichtfeld von $1,5^\circ \cdot 1,5^\circ$ ab.

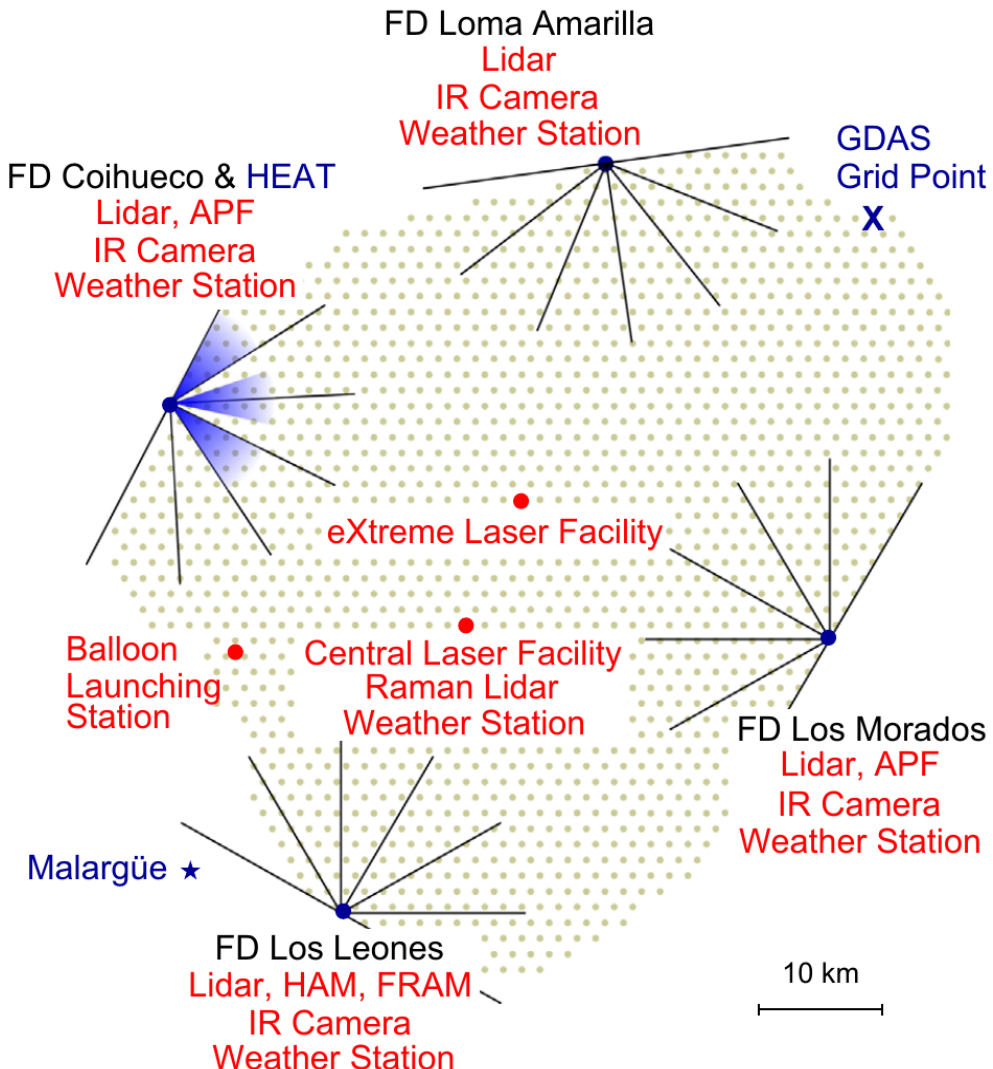


Abbildung 3.1: Stationen zur Überwachung von atmosphärischen Bedingungen [6]. Die grauen Punkte entsprechen einzelnen SD Stationen. Die komplette Atmosphäre über diesem Areal wird von den sich an den vier Seiten befindlichen Standorten der FD überwacht. Eingezeichnet sind auch die Sichtfelder der einzelnen Teleskope an jedem Standort. Außerdem befinden sich ein Lidar System, eine Wetterstation und eine Infrarot-Wolkenkamera an jedem Standort. Mitten auf dem Areal befinden sich eine Ballon-Station, die XLF und die CLF.

Die FD sind nur in dunklen und mondlosen Nächten nutzbar, da sonst das Licht aus anderen Quellen das Leuchten der Stickstoffmoleküle überdeckt. Der Duty-Cycle der FD beträgt 13%. Ein Luftschauder muss die Bedingung erfüllen, dass er die für einen Luftschauder zwingend notwendige Spur mit passender Zeitcharakteristik hat (siehe Abb. 4.3). Sind die Bedingungen für die Trigger erfüllt, werden die gemessenen Daten wie bei den

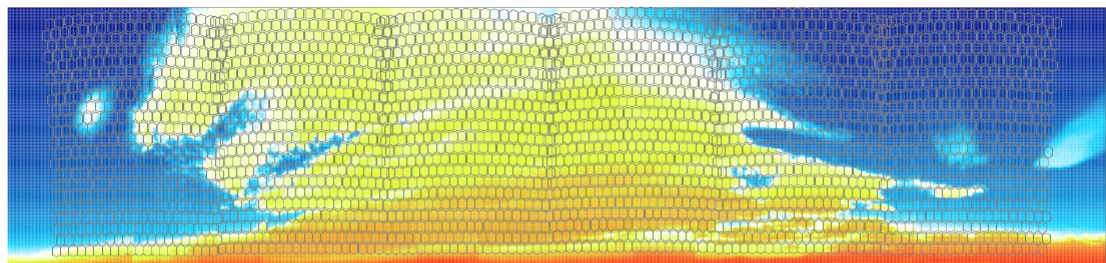
SD an das CDAS weitergeleitet. Mittels dem GPS Zeitstempel werden die Daten desselben Luftschauers von FD und SD miteinander verbunden, sodass sie als ein sogenanntes Hybrid-Ereignis für die Offline-Analyse gespeichert werden. Eine genauere Beschreibung der Trigger und der Kalibration der FD ist in [7] zu finden.

Für eine korrekte Interpretation der Intensität des gemessenen Lichts und damit einer exakten Berechnung der Energie des Primärteilchens, ist eine genaue Kenntnis der momentanen Atmosphärenbeschaffenheit erforderlich. Es können beispielsweise Aerosole oder Wolken das Fluoreszenzlicht des Schauers streuen oder absorbieren. In der Abb. 3.1 [8] sind die verschiedenen Stationen eingezeichnet, die dem Überwachen der atmosphärischen Bedingungen dienen. Wetterstationen messen regelmäßig die Temperatur, den Luftdruck und die Luftfeuchtigkeit auf dem Grund. In der Vergangenheit wurden auch regelmäßig Wetterballons gestartet, um die Temperatur etc. auch in größerer Höhe zu messen. Heute wird auf Modelle zurückgegriffen, die aus den Werten und Daten vergangener Jahre monatliche Atmosphären in der Pampa modellieren. Da diese Parameter über eine größere Fläche als konstant angesehen werden können, kann damit der Einfluss auf die Daten analytisch berechnet werden. Anders verhält es sich bei Aerosolen und Wolken, die lokal über dem Areal ganz unterschiedliche Bedingungen für das Durchqueren des Lichts schaffen können. Um die vertikale optische Tiefe von Aerosole richtig zu erfassen, existieren die Central Laser Facility (CLF) und die eXtreme Laser Facility (XLF), sowie vier Light Detection and Ranging (Lidar) Systeme. Weitere Informationen über die Aerosole misst das Aerosol Phase Function Monitor (APF) System, der Horizontal Attenuation Monitor (HAM) und der FotometricRobotic Atmospheric Monitor (FRAM). Weitere Informationen dazu sind in [8] erhältlich. Neben Aerosolen, die nicht sichtbar sind, können auch Wolken die Daten verfälschen, bzw. die Datennahme sogar ganz unmöglich machen. Dafür existiert die Möglichkeit auf Satellitendaten zurückzugreifen (GOES). Eine weitere Möglichkeit sind die Lidars, die zusätzlich auch in der Lage sind die Höhe der Wolken zu bestimmen. Die letzte Möglichkeit, die im nächsten Abschnitt etwas genauer beschrieben wird, sind die Infrarot-Wolkenkameras, die an den vier Standorten der FD installiert sind.

Die Infrarot-Wolkenkameras können die geringfügig wärmeren Wolken vom klaren Nachthimmel unterscheiden. Alle fünf Minuten wird ein neues Bild von dem Sichtfeld des jeweiligen FD gemacht und alle 15 Minuten wird der ganze Nachthimmel nach Wolken abgescannt. Eine Wolkenmaske wird dann erstellt, indem die Bilder, die die Wolkenkameras alle fünf Minuten schießen und die entsprechenden Pixel des FD übereinandergelegt werden, sodass anschließend gesagt werden kann, welcher Bedeckungsgrad an Wolken in jedem Pixel des FD ist. Die folgende Abb. 3.3 soll das verdeutlichen.



Abbildung 3.2: Die Infrarot-Wolkenkamera ist drehbar und neigbar befestigt. Sie befindet sich direkt beim FD in Los Leones. [9]



Infrared camera images covering the FD field of view at Los Leones.

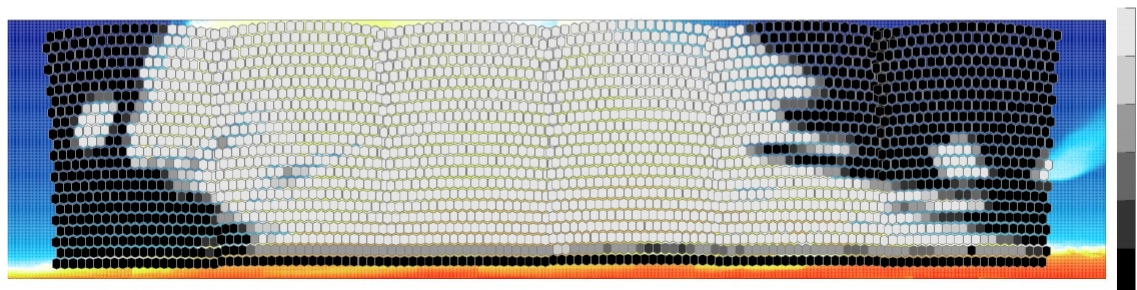


Abbildung 3.3: In dem oberen Bild ist ein Infrarotbild einer Kamera zu sehen. Die wärmeren Wolken sind in gelblichen-rötlichen Farbtönen zu sehen. Im zweiten Schritt wird nun dieses Bild, dass die Wolkenbedeckung anzeigt, mit den Pixeln, d. h. dem Sichtfeld des FD übereinander gelegt und dem Bedeckungsgrad eine Zahl zwischen 0 (klarer Himmel) und 5 (völlig bedeckt) zugeordnet[9]. Der Bedeckungsgrad 5 entspricht im weiterem Verlauf einer durchschnittlichen Wolkenbedeckung von 100% bzw. 1.

Sind zu viele Wolken im Sichtfeld des FD, der den Luftschauder beobachtet hat, oder liegen sogar die Spur des Luftschauders und eine Wolke in der 2D-Projektion aus Sicht des FD übereinander, so muss dies in der Auswertung der Ergebnisse berücksichtigt

werden. Denn es ist ein Einfluss der Wolken auf die Daten zu erwarten, solange sich die Wolke aus Sicht des FD nicht hinter dem Luftschauder befunden hat. Es kann entweder versucht werden den Einfluss der Wolken auf die Daten herauszurechnen, oder es muss versucht werden, die Daten der Ereignisse mit Wolkeneinfluss effizient von den Daten der Ereignisse ohne Wolkeneinfluss zu trennen. In dieser Arbeit wird der zweite Ansatz genutzt.

3.3. Rekonstruktion der FD Daten

Die vollständige Rekonstruktion eines Schauers aus den FD Daten besteht aus den folgenden drei Schritten.

1. geometrische Rekonstruktion des Schauers
2. Rekonstruktion des longitudinalen Schauerprofils
3. Rekonstruktion der Energie des primären kosmischen Teilchens

Diese drei grundlegenden Schritte sind bei allen Verfahren zur Rekonstruktion vorhanden. Das Verfahren variiert jedoch, je nachdem, ob ein SD-Ereignis, ein FD-Ereignis oder ein Hybrid-Ereignis vorliegt. Da in dieser Bachelorarbeit ausschließlich Hybrid-Ereignis zur Analyse verwendet wurden, soll sich im Folgenden darauf beschränkt werden.

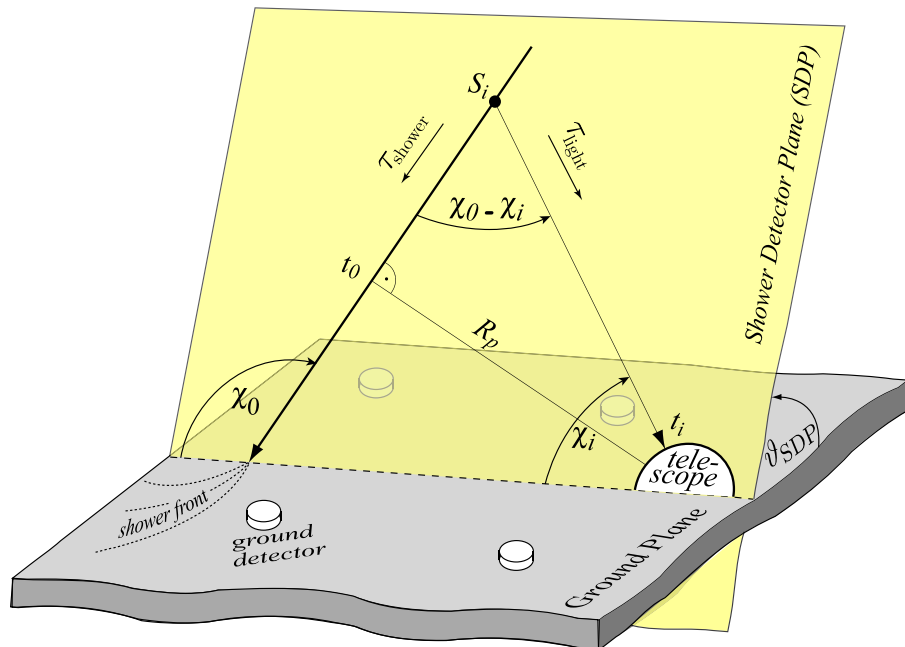


Abbildung 3.4: Dies ist eine Skizze zur Schauergeometrie [10]. Eingezeichnet sind ein Teleskop und die Achse eines Luftschauers, der den Erdboden getroffen hat. Zunächst wird die Detektor-Schauer-Ebene berechnet (SDP). Die anderen Parameter werden im Text erklärt.

Die geometrische Rekonstruktion des Schauers setzt den Auftreffpunkt des Schauers und die Schauerachse fest. Zuerst wird mittels der Spur (siehe Abb. 3.5) der getriggerten Pixel im Teleskop die Schauerachse-Detektor-Ebene (SDP) festgelegt. Die SDP legt den Winkel θ_{SDP} fest. Damit nun die genaue Position der Schauerachse in dieser Ebene bestimmt werden kann, muss die Zeitinformation der getriggerten Pixel ausgewertet werden. In diese Information fließt die Entfernung von Schauerachse zu Detektor und auch dessen Winkel zum Grund mit ein. Der Referenzpunkt auf der Schauerachse, der die kürzeste Entfernung R_p zum Detektor hat, wird zum Zeitpunkt t_0 erreicht. Der Luftschauder bewegt sich mit nahezu Lichtgeschwindigkeit c . Da die Zeit ausgerechnet werden soll, zu dem das Licht den Detektor erreicht, muss die Zeit, die aus der Entfernung eines Punktes S_i zum Teleskop resultiert ($\tau_{\text{light},i}$), addiert werden zu der Zeit, an dem die Schauerfront den Punkt S_i erreicht ($\tau_{\text{shower},i}$), in Referenz gesetzt zu der Zeit t_0 . Wird nun davon ausgegangen, dass die Zerfallsdauer der angeregten Stickstoffatome sehr kurz ist, kann die Ankunftszeit des Lichts am Detektor durch folgende Gleichung beschrieben werden:

$$t_i = t_0 - \tau_{\text{shower},i} + \tau_{\text{light},i} \quad (3.1)$$

$$= t_0 + \frac{R_p}{c} \tan\left(\frac{\chi_0 - \chi_i}{2}\right) \quad (3.2)$$

Die in dieser Gleichung benutzten Größen sind im Text bereits erklärt oder in Abb. 3.4 ersichtlich. Die exakte Lage der Schauerachse in der Schauer-Detektor-Ebene errechnet sich aus einem Fit der gemessenen Zeitpunkte. Der Winkel χ_0 , die Zeit t_0 und die Distanz R_p werden so angepasst, dass die errechneten Zeitpunkte t_i möglichst gut mit den gemessenen übereinstimmen. Zuletzt wird lediglich noch der Auftreffpunkt des Schauers auf dem Erdboden als Schnittpunkt zwischen Schauerachse und Erdboden bestimmt und dann ist die geometrische Rekonstruktion des Schauers vollständig.

Der nächste Schritt besteht dann darin, das longitudinale Profil des Schauers zu erstellen. Dazu werden die Signale, die in den einzelnen Pixeln der Spur ankommen, in einen Photonenfluss umgerechnet. Atmosphärische Bedingungen, sowie auch Eigenschaften der Photomultiplier und der Kamera sind in diesem Photonenfluss mit eingerechnet. Daraus ergibt sich dann ein Profil, das die momentane Änderung der Energie dE/dX beschreibt. An dieses Profil wird nun eine sogenannte Gaisser-Hillas-Funktion gefittet (Abb. 3.5).

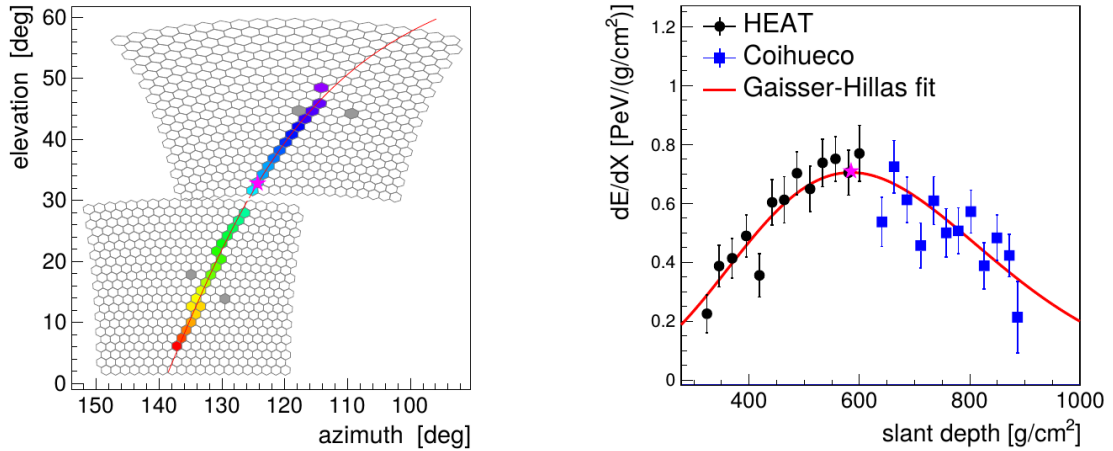


Abbildung 3.5: Im linken Bild ist das Sichtfeld eines Teleskops von Coihueco und der niederenergetischen Erweiterung HEAT (high elevation auger telescope) und die Spur eines Luftschauers zu sehen. Die unterschiedlichen Farben der Pixel stehen für die Zeitpunkte, an denen die Signale am Detektor angekommen sind (Blau - früh, Rot - spät). Die Signale von den Pixeln werden umgerechnet in einen momentanen Energieverlust als Funktion der atmosphärischen Tiefe (rechts). Es ergibt sich ein typisches Profil, an das eine Gaisser-Hillas-Funktion gefittet wird. Der Stern kennzeichnet X_{\max} .[11]

Diese beschreibt die longitudinale Entwicklung eines Luftschauers, abhängig von der atmosphärischen Tiefe X , der mittleren freien Weglänge λ , dem Wechselwirkungspunkt des primären kosmischen Teilchens X_0 und der maximalen Teilchenzahl beim Schauermaximum N_{\max} .

$$N(X) = N_{\max} \left(\frac{X - X_0}{X_{\max} - X_0} \right)^{\frac{X_{\max} - X_0}{\lambda}} \exp \left[\frac{X_{\max} - X_0}{\lambda} \right] \quad (3.3)$$

Aus dem Fit dieser Funktion kann dann direkt die atmosphärische Tiefe des Schauermaximums X_{\max} abgelesen werden. Dieses X_{\max} wird im weiteren Verlauf der Bachelorarbeit als die Variable dienen, an Hand derer der Unterschied zwischen Ereignissen mit und ohne Wolken beurteilt werden soll. Da das X_{\max} , d. h. die atmosphärische Tiefe des Schauermaximums in $\text{g}\cdot\text{cm}^{-2}$, von der Energie des primären kosmischen Teilchens abhängig ist, wird auch die Energie in der Analyse dieser Arbeit berücksichtigt werden.

Die Energie des primären kosmischen Teilchens wird im letzten Schritt der Rekonstruktion des Schauers bestimmt. Die als Licht in die Atmosphäre abgegebene Energie E_{cal} ist durch die Integration der Gaisser-Hillas-Funktion gegeben. Diese kalorimetrische Energie muss mit einem Korrekturfaktor multipliziert werden, der die „unsichtbare“ Energie berücksichtigt. Da Neutrinos beispielsweise fast nicht wechselwirken, kann der Detektor die Energie, die auf sie übertragen wird, nicht in Form von Licht „sehen“. Dieser Korrekturfaktor liegt im Regelfall, d. h. bei hadronischen Schauern bei etwa 10%.

Aus dem nun vollständig rekonstruierten Luftschauder können nun Rückschlüsse auf Teilchentyp und Herkunft des Teilchens gezogen werden.

Insbesondere bei Luftschaudern mit höherer Energie ist es auch möglich, dass dieser von mehreren FD Standorten aus gesehen wird. Es handelt sich in solchen Fällen um sogenannte Stereoereignisse, Tripelereignisse oder falls ein Schauer von allen 4 Standorten beobachtet wurde, um ein Quadrupelereignis. In dem in dieser Analyse benutzten Datensatz sind etwa 1% der Ereignisse Stereoereignisse. Die anderen beiden Kategorien sind noch deutlich seltener. Bei solchen Mehrfachereignissen kann ein Luftschauder von mehreren Standorten aus unabhängig voneinander rekonstruiert werden. Dadurch ist es möglich die einzelnen Standorte in ihrer Kalibrierung aufeinander abzulegen.

3.4. Ergebnisse bisheriger X_{\max} -Analysen

Die X_{\max} -Analyse wird verwendet, um die Zusammensetzung der primären kosmischen Strahlung zu erforschen. Die Unterscheidung von Protonen und Eisenkernen, d. h. schweren Kernen, spielt dabei die zentrale Rolle. In der X_{\max} -Analyse werden für einen entsprechenden Datensatz an Ereignissen die folgenden Schritte durchgeführt. Das X_{\max} ist energieabhängig und daher werden die Ereignisse ihrer Energie entsprechend sortiert. Die Intervallgrenzen für die Sortierung sind $10^{17,8}$ eV, $10^{17,9}$ eV, ..., $10^{19,5}$ eV. Für jedes der 18 Energiebins wird nun ein X_{\max} Histogramm erstellt.

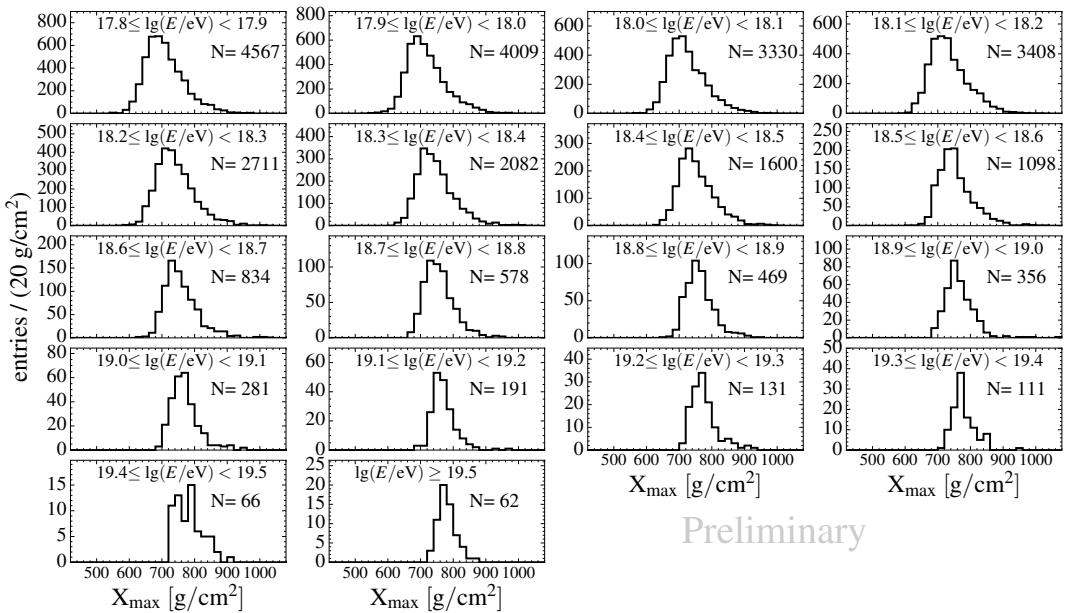


Abbildung 3.6: 18 Histogramme für X_{\max} , je ein Energieintervall [11]. In jedem Histogramm steht das jeweilige Energieintervall und die Anzahl der Einträge in diesem Histogramm.

Der Mittelwert jedes Histogramms wird nun genutzt, um damit den linken Graph in Abb. 3.7 zu erstellen. Der „RMS“-Wert, der die Breite der Verteilung angibt, wird genutzt, um den rechten Graph zu erstellen. Auf diese Art wird $\langle X_{\max} \rangle$ und $\sigma(X_{\max})$ abhängig

von der Energie erhalten und daraus lassen sich Rückschlüsse auf die Zusammensetzung der primären kosmischen Strahlung ziehen. Dies ist im Detail hier [11] nachzulesen.

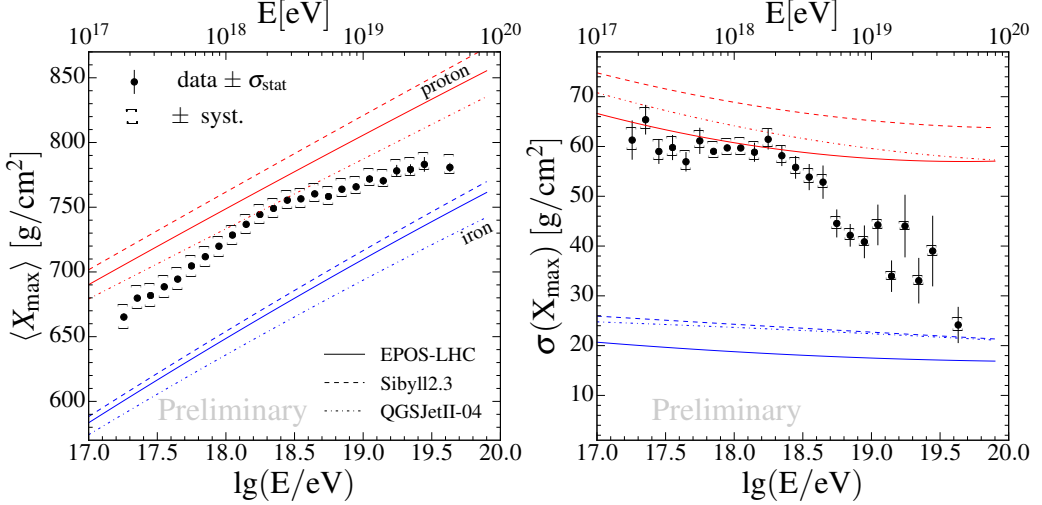


Abbildung 3.7: Das Ergebnis für $\langle X_{\max} \rangle$ (links) und das $\sigma(X_{\max})$ (rechts) als Funktion der Energie [11]. Die zusätzlichen Linien im Bild geben den Verlauf an, der bei Protonen bzw. Eisenkernen aus verschiedenen Modellen errechnet worden ist.

In Abb. 3.7 ist der Verlauf von $\langle X_{\max} \rangle$ (links) und $\sigma(X_{\max})$ (rechts) als Funktion der Energie zu sehen. Bis zu einer Energie von $10^{18.5}$ eV ist die Tendenz eher zu einer leichteren Zusammensetzung und bei höheren Energien deuten die Messwerte wieder in Richtung einer schwereren Zusammensetzung der primären kosmischen Strahlung.

4. Analyse

In diesem Kapitel werden die Ergebnisse der Analyse vorgestellt. Zunächst wird das Vorgehen für die X_{\max} -Analyse beschrieben und anschließend werden einige ausgewählte Datensätze damit untersucht und verglichen. Danach soll mit weiteren Fragestellungen untersucht werden, inwiefern die von den Wolkenkameras gesammelten Informationen ausreichen, um die atmosphärischen Bedingungen zu überwachen.

4.1. Beschreibung der Datenextraktion aus den ADST-Dateien und der Wolkendatenbank

Entlang des Flussdiagramms in Abb. 4.1 soll in diesem Abschnitt beschrieben werden, wie aus den ADST-Dateien das Ergebnis für die X_{\max} -Analyse gewonnen wird. Bei der X_{\max} -Analyse ist es erforderlich, dass alle Ereignisse vollständig rekonstruiert werden können. Insbesondere das X_{\max} muss gut bestimbar sein. Der gesamte Datensatz von über 3 Millionen Ereignissen wird dadurch auf 34792 Ereignisse verkleinert. Auf diesen verkleinerten Datensatz wird nun ein Wolkenschnitt angewendet. Die Logik dieses Wolkenschnitts wird im nächsten Abschnitt genauer beschrieben. Die Ereignisse, die die Bedingungen des Wolkenschnitts erfüllen, bilden den *selected*-Datensatz, diejenigen, die heraus sortiert werden den *removed*-Datensatz. Beide zusammen bilden den *all*-Datensatz. Da für die X_{\max} -Analyse nur ein Bruchteil der rekonstruierten Informationen benötigt wird, werden die erforderlichen Daten aus diesem Datensatz extrahiert. Wichtig für die weitergehende Analyse sind die Ereignis-ID, die Energie und das X_{\max} des Schauers. Außerdem werden die aktiven Standorte, die Teleskope, die den Schauer registriert haben und die getriggerten Pixel benötigt, um im nächsten Schritt für die richtigen Teleskope und Pixel die Wolkenbedeckung aus der Wolkendatenbank zu extrahieren. Die genannten Variablen werden aus der ADST-Datei in eine neue „output.root“ Datei geschrieben. Sie sind jeweils ein Branch in dem Root-Tree und jedes Ereignis füllt einen Eintrag dort hinein. Im zweiten Schritt wird der Root-Tree durch die Wolkeninformationen für alle Pixel jeden aktiven Teleskops pro Ereignis ergänzt. Alle erforderlichen Informationen für die X_{\max} -Analyse befinden sich nun kompakt und übersichtlich in einer .root Datei.

Diese wird für die X_{\max} -Analyse zunächst eingelesen. Es kann dann ein Wolkenschnitt auf den Datensatz angewandt werden. Anschließend werden dieselben X_{\max} Korrekturen wie in [11] angewandt und jedes Ereignis wird mit einem Index versehen, der das Energieintervall beschreibt, in dem sich den Schauer befindet. Zwei am Ende erstellten Textdateien fassen die Ergebnisse zusammen. Im letzten Schritt werden verschiedene Datensätze miteinander verglichen. Für jedes Energieintervall erhält man X_{\max} Histogramme, aus denen das $\langle X_{\max} \rangle$ und das $\sigma(X_{\max})$ abgeleitet werden kann. $\langle X_{\max} \rangle$ und $\sigma(X_{\max})$ wird nun gegen die Energie aufgetragen. Auf diese Weise ist es möglich die Plots aus dem Paper [11] exakt zu reproduzieren und zugleich eigene Wolkenschnitte auf denselben Datensatz anzuwenden.

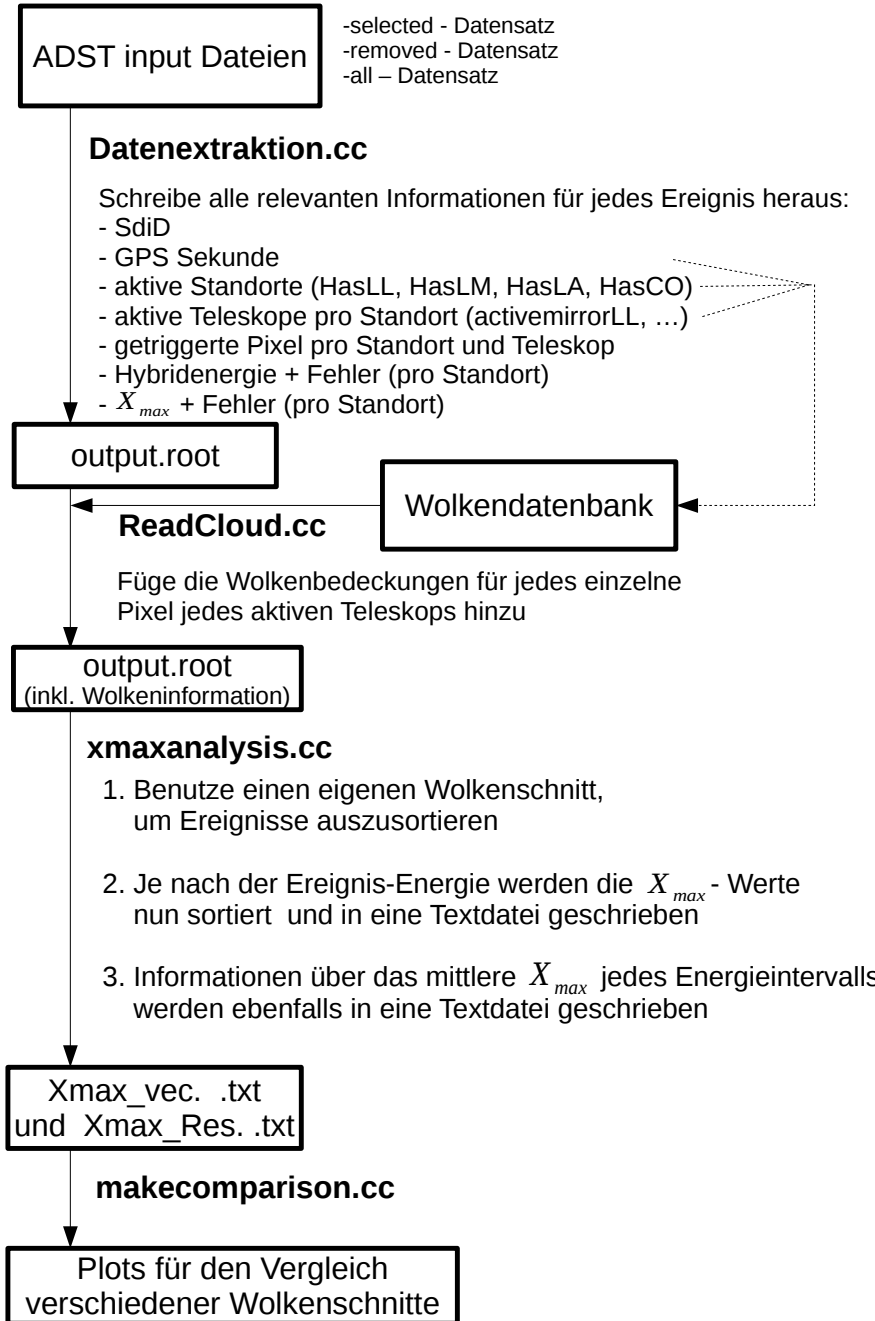


Abbildung 4.1: Dieses Flussdiagramm zeigt die notwendigen Schritte, die vom Extrahieren der richtigen Informationen aus den Datenbanken von Auger, bis zum Vergleich zweier Datensätze durch die X_{max} -Analyse getan werden müssen. Der Programmcode für die einzelnen Schritte befindet sich im Anhang (siehe Anhang B).

4.2. Beschreibung des bisherigen Wolkenschnitts

Erfüllen Ereignisse nicht die Bedingungen des bisherigen Wolkenschnitts, so werden diese Ereignisse in den *removed*-Datensatz aussortiert. Dieser Wolkenschnitt besitzt zusammengefasst basierend auf [12] folgende Logik.

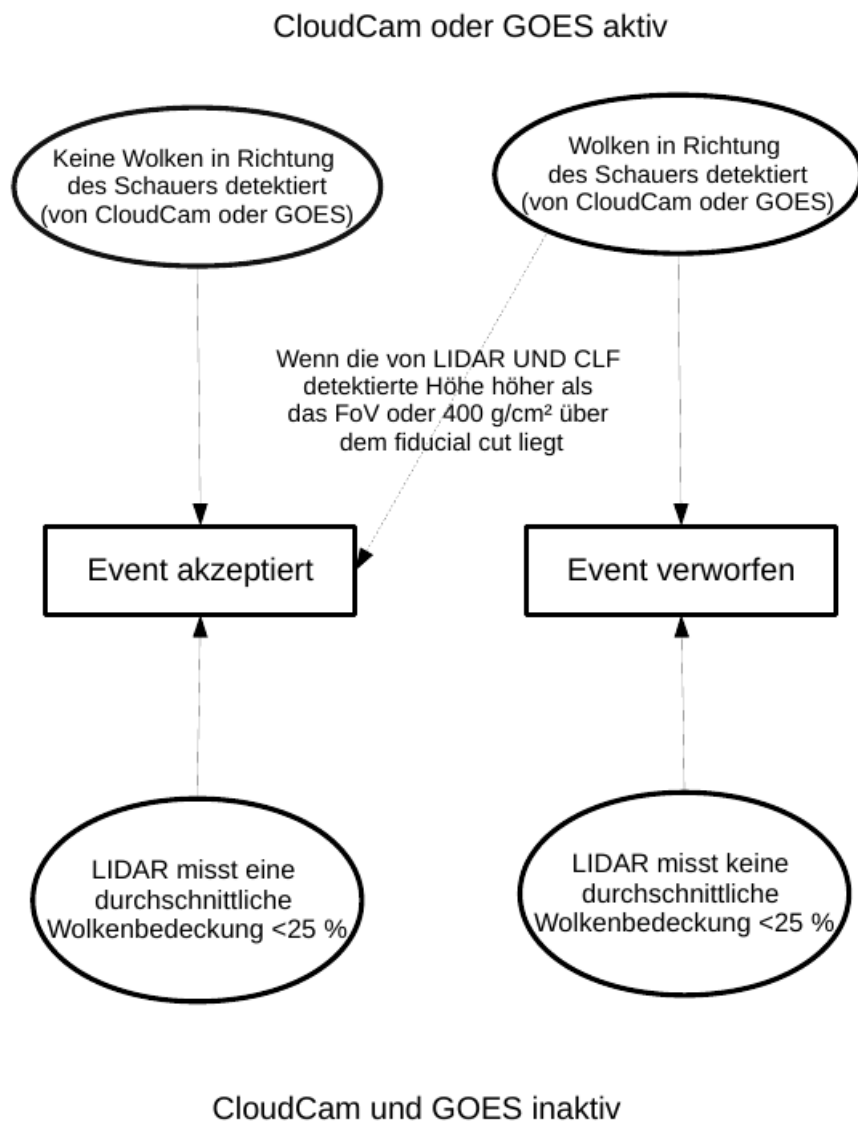


Abbildung 4.2: Logik des bisherigen Wolkenschnitts in der X_{\max} -Analyse. Die Erläuterung des Flussdiagramms befindet sich im Text.

Für ein gegebenes Ereignis wird zunächst geprüft, ob die Daten von Wolkenkameras oder die Satellitendaten zur Verfügung stehen. In diesem Fall wird das Flussdiagramm von oben nach unten gelesen. Es wird dann überprüft, ob eine Wolke im Sichtfeld der Kamera oder der Satelliten gefunden wurde oder nicht. Wurde keine Wolke gefunden,

bleibt das Ereignis in dem Datensatz. Wurde eine Wolke gesichtet, so ist es immer noch möglich, dass das Ereignis nicht verworfen wird, indem die in dem Flussdiagramm angegebene Bedingung erfüllt ist. Waren sowohl die Wolkenkameras, als auch die Satelliten inaktiv, so ist das Flussdiagramm von unten nach oben zu lesen und es werden auf Daten von Lidar zurückgegriffen.

4.3. Möglichkeiten zur Veränderungen des Wolkenschnitts

Im Rahmen dieser Bachelorarbeit wurde die Möglichkeit entwickelt eigene Wolkenschnitte auf den *all*-Datensatz anzuwenden. Diese Wolkenschnitte basieren ausschließlich auf den Daten der Wolkenkameras. In Abb. 4.3 ist ein Beispiel einer von einem Luftschauder hinterlassenen Spur im Detektor dargestellt. Die Spur liegt im Sichtfeld eines einzelnen Teleskops. An dem Azimutalwinkel, der den Bereich von $30^{\circ} - 60^{\circ}$ abdeckt, ist ersichtlich, dass es sich um das zweite von sechs Teleskopen eines Standorts handelt.

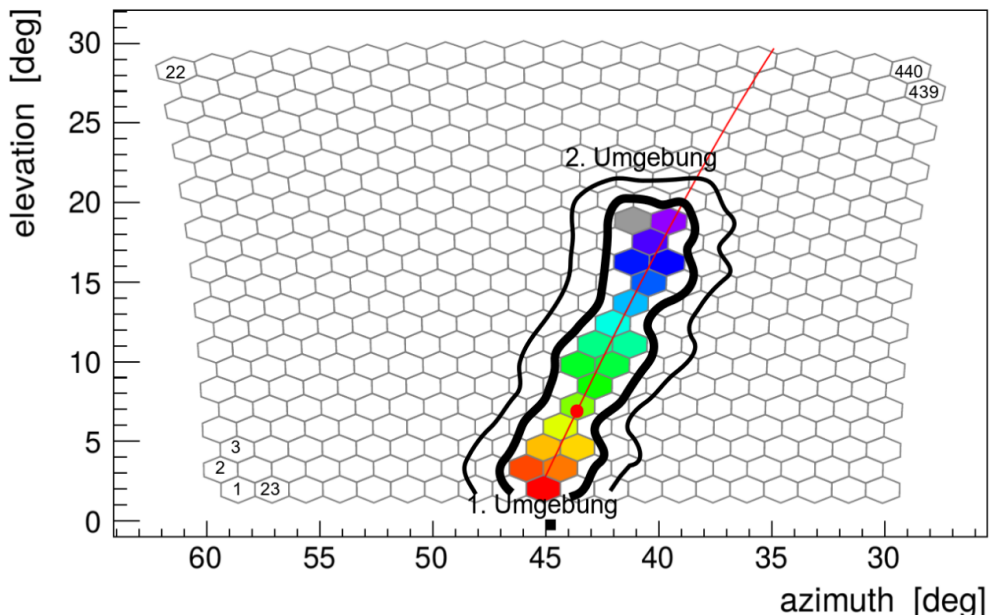


Abbildung 4.3: Das Sichtfeld des Teleskops ist aus 440 Pixeln zusammengesetzt. Die Nummerierung dieser Pixel beginnt unten links. Es werden die Spalten von links nach rechts durchgezählt, sodass sich der 440. Pixel oben rechts befindet. Die farbigen Pixel sind getriggerte Pixel und sie bilden die Spur von einem willkürlich gewähltem Ereignis. Die 1. Umgebung umfasst die getriggerten Pixel und zusätzlich die benachbarten Pixel. Die zweite Umgebung umfasst die Pixel der 1. Umgebung und zusätzlich deren benachbarte Pixel. Wolkenschnitte können gemacht werden, indem über die Wolkendeckung der getriggerten Pixel (Pixelauswahl 0), der 1. Umgebung (Pixelauswahl 1), der 2. Umgebung (Pixelauswahl 2) oder über die Wolkendeckung aller Pixel des Teleskops (Pixelauswahl 3) gemittelt wird.

In der Abb. 4.3 ist das Sichtfeld eines Teleskops zusammengesetzt aus 440 Pixeln zu sehen. In das Bild der Wolkenkameras wird dann eine Maske von diesen 440 Pixeln gelegt, sodass nun für jeden Pixel Wolkeninformationen zur Verfügung stehen. Über die verschiedenen in Abb. 4.3 Pixelauswahlen kann nun eine durchschnittliche Wolkenbedeckung gebildet werden. Den verschiedenen Pixelauswahlen ist ein Index zwischen null und drei zugeordnet, um im Programmcode diese Einstellungen leichter ändern zu können. Die Zuordnung ist dabei wie in Figur 4.3 beschrieben. Um anschließend zu entscheiden, welches Ereignis aussortiert wird, wurde ein weiterer Parameter in dem Programm integriert. Der Parameter „Wolkenlimit“ gibt Aufschluss darüber, ab welcher durchschnittlichen Wolkenbedeckung ein Ereignis aussortiert wird. An wenigen Stellen wurde das Wolkenlimit auch benutzt, um gerade die Ereignisse zu behalten, deren durchschnittliche Wolkenbedeckung über dem Wolkenlimit liegen. An einem Beispiel sollen diese Informationen etwas verdeutlicht werden. In Abb. 4.13 taucht folgende Bezeichnung für einen Datensatz auf: „all_CL0_CO3“

Dies bedeutet, dass der „all“ Datensatz, d. h. alle 34792 Ereignisse, als Grundlage verwendet und diejenigen aussortiert wurden, deren durchschnittliche Wolkenbedeckung über alle 440 Pixel gemittelt (Pixelauswahl 3) größer als Null ist. „CL“ ist die Abkürzung für Wolkenlimit und „CO“ ist die Abkürzung für Pixelauswahl. Die Zahl hinter dem „CL“ ist der maximale Anteil an Wolken, dass das Ereignis akzeptiert wird. Oder andersherum formuliert: In diesem Datensatz befinden sich nur Ereignisse bei denen keine einzige Wolke vom Detektor in Richtung des Schauers gesichtet wurde. Obwohl die durchschnittliche Wolkenbedeckung in Prozent angegeben maximal 100% sein kann, taucht auch an ein paar Stellen ein „CL2“ auf. Eine Wolkenbedeckung von zwei ist im Programm als unphysikalischer Wert angegeben, wenn über ein Ereignis keine Informationen über die Wolkenbedeckung vorliegen. „selected_CL2_CO3“ bedeutet demnach, dass der komplette *selected*-Datensatz behalten wird, unabhängig davon, ob es Informationen über die Wolken gibt oder nicht, und auch unabhängig von der „Pixelauswahl“.

Um einen Überblick über die Datensätze und die Größe der Statistiken zu bekommen, sind in der folgenden Abb. 4.4 die Anzahlen der in dem jeweiligen Datensatz nach dem angegebenem Wolkenschmitt verbleibenden Ereignisse aufgeführt.

Datensatz	Anzahl Ereignisse	über alle Pixel gemittelt (Pixelauswahl 3)					ohne Wolkeninfos
		Wolkenbedeckung 0	Wolkenbedeckung 0,2	Wolkenbedeckung 1	Wolkenbedeckung 2		
selected	25884	7921	14129	15423	25884	10461	
removed	8908	20	1010	3874	8908	5034	
all	34792	7941	15139	19297	34792	15495	

Datensatz	Wolkenbedeckung 0%				Wolkenbedeckung > 50%
	Pixelauswahl 3	Pixelauswahl 2	Pixelauswahl 1	Pixelauswahl 0	
all	7941	10539	11013	11661	2376

Abbildung 4.4: In der oberen Tabelle werden die drei verschiedenen Datensätze miteinander verglichen. In der zweiten Spalte ist die Gesamtzahl der Ereignisse in dem jeweiligen Datensatz angegeben. Die folgenden vier Spalten geben die Anzahl der übrigbleibenden Ereignisse an, wenn die maximale Wolkenbedeckung wie angegeben sein darf. In der letzten Spalte steht die Anzahl der Ereignisse ohne Wolkeninformationen von den Kameras. In der unteren Tabelle werden verschiedene Pixelauswahlen miteinander verglichen. In der letzten Spalte ist dort die Anzahl der verbleibenden Ereignisse aus dem *all*-Datensatz angegeben, wenn bei Pixelauswahl 3 die Ereignisse in dem Datensatz bleiben, deren durchschnittliche Wolkenbedeckung größer als das Wolkenlimit von 50% sind.

Aus der oberen Tabelle in Abb. 4.4 ist ersichtlich, dass die beiden Datensätze *selected* und *removed* keine Schnittmenge haben und zusammen den *all*-Datensatz ergeben. Wie bereits erklärt, besteht der Unterschied zwischen der Spalte mit Wolkenlimit 1 und der Spalte mit Wolkenlimit 2 in denjenigen Ereignissen, die keine Wolkeninformationen besitzen (letzte Spalte). Auffällig sind in dieser Tabelle besonders die 20 Ereignisse, die wegen Wolken aussortiert wurden, obwohl aus den Informationen der Wolkenkamera eine durchschnittliche Wolkenbedeckung im Sichtfeld von genau 0% hervorgeht. Dies ist ein Anzeichen dafür, dass die bei Figur 4.2 beschriebene Logik doch komplizierter im Code verankert ist, als es in [12] beschrieben wurde. Der Datensatz für die 7941 Ereignisse ist ein wichtiger Datensatz, weil sicher behauptet werden kann, dass sich absolut keine Wolke im Sichtfeld des Teleskops befunden hat. Eine weitere wichtige Größe ist der dazu komplementäre Datensatz in der unteren Tabelle in Abb. 4.4 unten rechts. Hier gibt die Zahl gerade diejenigen Ereignisse an, die Wolkeninformationen haben und deren Wolkenbedeckung oberhalb von dem Prozentsatz von 50% liegt. Diese 2376 Ereignissen haben sicher Wolken im Sichtfeld des Teleskops und es wird auch vorkommen, dass die Wolken sich auch an der Stelle des Schauers befinden. Da die Wolkenkamera nur eine 2D-Projektion des Sichtfelds liefert, lässt sich jedoch selbst dann keine Aussage darüber treffen, ob die Wolke aus Sicht des Detektors den Luftschauder verdeckt bzw. umhüllt, was die gemessenen Daten verfälschen würde, oder ob die Wolke sich aus Sicht des Detektors hinter dem Luftschauder befindet.

In Abb. 3.6 ist deutlich erkennbar, dass mit zunehmender Energie die Anzahl der

Einträge in den Histogrammen deutlich abnimmt. Diese Beobachtung wird bei jedem Datensatz gemacht und sie stellt insofern ein Problem dar, weil statistische Schwankungen bei kleineren Zahlen viel mehr ins Gewicht fallen, als bei großen Zahlen. Daher ist eine größere Anzahl an Ereignissen in einem Datensatz vorteilhaft, weil dann in der X_{\max} -Analyse die Momente der X_{\max} Verteilung besser und mit kleinerem Fehler bestimmt werden können.

4.4. Vergleich von X_{\max} -Plots für verschiedene Wolkenschnitte

4.4.1. Vergleich mit dem Wolkenschnitt in [11]

In [11] wurde eine X_{\max} -Analyse mit dem *selected*-Datensatz durchgeführt. Im Rahmen dieser Bachelorarbeit wird derselbe Datensatz verwendet, weswegen es möglich sein muss, die Ergebnisse aus [11] in Abb. 3.7 zu reproduzieren. Eine Ausnahme stellt der niedrige Energiebereich bis $10^{18,1}$ eV dar. In [11] wird darin auf Daten von den niederenergetischen Auger-Erweiterungen zurückgegriffen, die im Rahmen dieser Bachelorarbeit nicht berücksichtigt wurden. Für den Energiebereich darüber dient der Vergleich dann jedoch als Kontrolle, dass der verwendete Programmcode fehlerfrei ist. Der in der X_{\max} -Analyse verwendete Wolkenschnitt dient als Vergleich zu den eigenen Datensätzen. Die Histogramme aus Abb. 3.6 wurden vollständig reproduziert und sind identisch im Anhang (siehe A.1) zu finden. Das Histogramm in Abb. 4.5 ist lediglich ein Beispiel, das sich wegen der steilen linken Flanke gut mit dem 17. Histogramm in Abb. 3.6 vergleichen lässt.

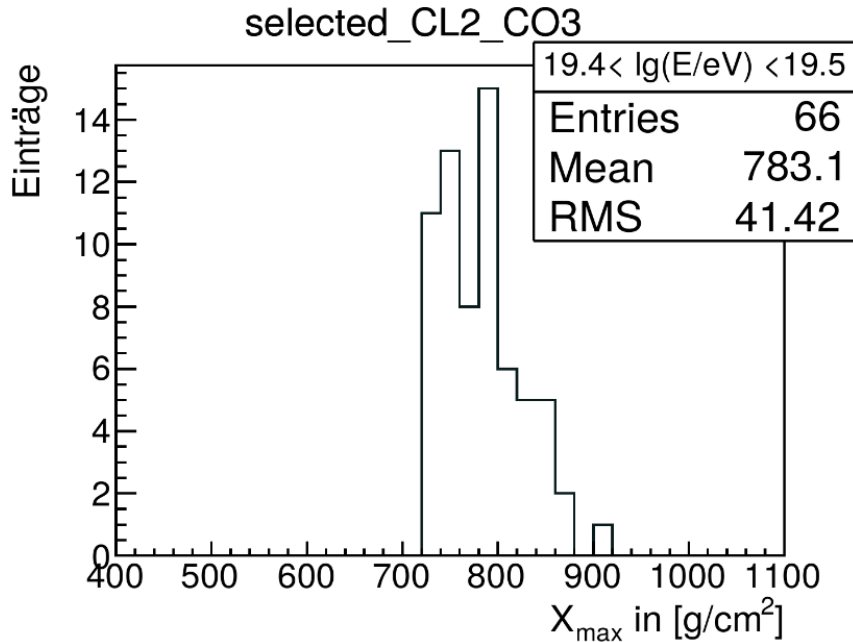


Abbildung 4.5: Auf der x-Achse ist das X_{\max} aufgetragen. Jedes Ereignis aus dem *selected*-Datensatz in dem Energiebereich von $10^{19,4}$ eV - $10^{19,5}$ eV wird in das Histogramm eingetragen.

Da es in dieser Bachelorarbeit insbesondere um den von Wolken verursachten Unterschied geht, sollen beliebige Datensätze miteinander verglichen werden können. Aus dem Grund wurden die Informationen, die für die zu erstellenden Plots jedes Datensatzes nötig sind, in zwei Textdateien geschrieben, sodass im nächsten Schritt mittels dem Programm „makecomparison.cc“ zwei verschiedene Datensätze an Ereignissen miteinander verglichen werden können (vgl. Abb. 4.1).

4.4.2. Vergleich des Wolkenschnitts in [11] mit dem eigenen Wolkenschnitt

Nach der erfolgreichen Reproduktion der Ergebnisse soll der verwendete *selected*-Datensatz mit dem „all_CL0_CO3“-Datensatz verglichen werden. In diesem Datensatz sind nur Ereignisse enthalten, in denen alle 440 Pixel im Teleskop eine Wolkenbedeckung von Null haben. Auch wenn der letztere Datensatz weniger Statistik hat, so hat er den Vorteil, dass er allein auf Basis der Daten der Wolkenkameras funktioniert. In Abb. 4.6 und Abb. 4.7 ist das Ergebnis der $\langle X_{\max} \rangle$ -Analyse zu sehen.

In der Abb. 4.6 ist das $\langle X_{\max} \rangle$ beider Datensätze als Funktion der Energie dargestellt. Die Tendenz eines mit der Energie zunehmenden $\langle X_{\max} \rangle$ ist in beiden Datensätzen erkennbar. In Abb. 4.7 ist die Differenz beider Datensätze als Funktion der Energie aufgetragen. Hier ist der Verlauf der Punkte zunächst konstant und dann fallend. In beiden Momenten der X_{\max} -Verteilung liegen die Unterschiede beider Datensätze im statistischen Rahmen. Es kann daraus geschlussfolgert werden, dass die von einer Wolkenkamera aufzeichneten Daten ausreichen, um verlässliche Ergebnisse zu produzieren. Möglichkeiten, mit denen die Statistik des „all_CL0_CO3“-Datensatzes erhöht werden kann, werden in dem nächsten Unterkapitel näher erläutert. Zunächst soll getestet werden, ob die in Abb. 4.3 gezeigten Pixelauswahlen verschiedene Ergebnisse liefern.

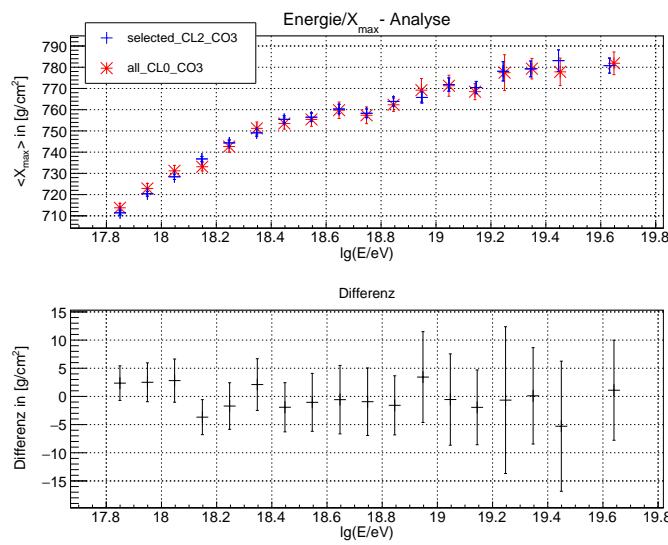


Abbildung 4.6: Auf den x-Achsen beider Graphen ist die Energie aufgetragen. Auf der y-Achse des oberen Graphs ist $\langle X_{\max} \rangle$ aufgetragen, auf der des unteren Graphen die Differenz (rot - blau) der verglichenen Datensätze in $\langle X_{\max} \rangle$. Blau gehört zu dem Datensatz in [11] und Rot zu dem „all_CL0_CO3“-Datensatz.

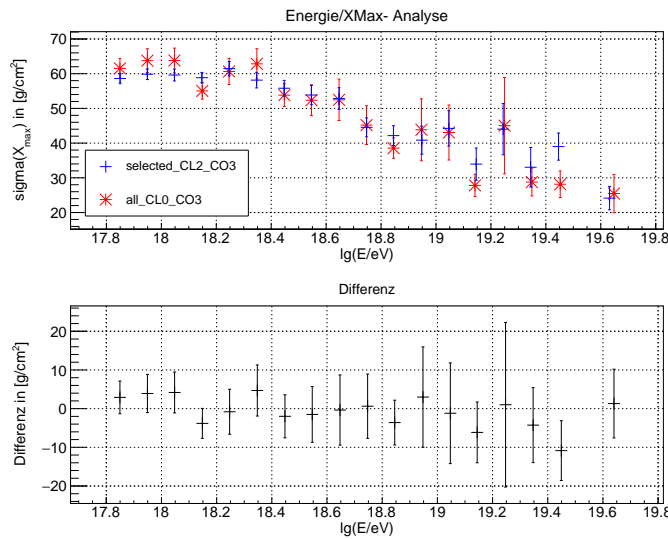


Abbildung 4.7: Auf den x-Achsen beider Graphen ist die Energie aufgetragen. Auf der y-Achse des oberen Graphs ist $\sigma(X_{\max})$ aufgetragen, auf der des unteren Graphen die Differenz (rot - blau) der verglichenen Datensätze in $\sigma(X_{\max})$. Blau gehört zu dem Datensatz in [11] und Rot zu dem „all_CL0_CO3“-Datensatz.

4.4.3. Vergleich verschiedener Pixelauswahlen

Um Abb. 4.3 wurde bereits erläutert, welche Pixel die verschiedenen Pixelauswahlen enthalten. Der Wolkenschnitt, der am sichersten von Wolken unbeeinflusst ist, ist der „all_CL0_CO3“-Datensatz, weil verlangt wird, dass das ganze Teleskop wolkenfrei ist. Darum wurde dieser „all_CL0_CO3“-Datensatz im letzten Abschnitt auch für den Vergleich mit dem Wolkenschnitt aus [11] verwendet. Dieser Datensatz enthält 7941 Ereignisse (siehe Abb. 4.4). Wird eine andere Pixelauswahl ausgewählt, so erhöht sich diese Zahl. Es reicht dann, wenn der Teil des Himmels um den Luftschauder herum wolkenfrei ist. Diese Tendenz ist auch deutlich beim Vergleich der verschiedenen Pixelauswahlen in der Abb. 4.4 zu sehen. Mit einer Vergrößerung des Datensatzes auf diese Art und Weise, wird ein höheres Risiko in Kauf genommen, dass die Bilder der Wolkenkamera nicht mehr die Situation zum Zeitpunkt des Schauers zeigen. In Abb. 4.8 und Abb. 4.9 werden die beiden Momente der X_{\max} -Verteilung der vier wolkenfreien Datensätzen mit jeweils einer anderen Pixelauswahl miteinander verglichen.

Der Unterschied zwischen den Datensätzen ist nicht sichtbar. Bei beiden Momenten der X_{\max} -Verteilung ist die Abweichung der einzelnen Datensätze zu dem „all_CL0_CO3“-Datensatz statistisch nicht signifikant. Beim ersten Moment (Abb. 4.8) ist in den meisten Energiebins das $\langle X_{\max} \rangle$ für den „all_CL0_CO3“ Datensatz etwas höher. Beim 2. Moment (Abb. 4.9) schwankt die Differenz der Datensätze symmetrischer um Null. Die absolute Größe der Schwankungen ist mit etwa 0-5 g/cm² allerdings ähnlich groß, wie beim 1. Moment.

Zusammenfassend kann gesagt werden, dass der Unterschied zwischen den verschiedenen Pixelauswahlen nicht signifikant ist.

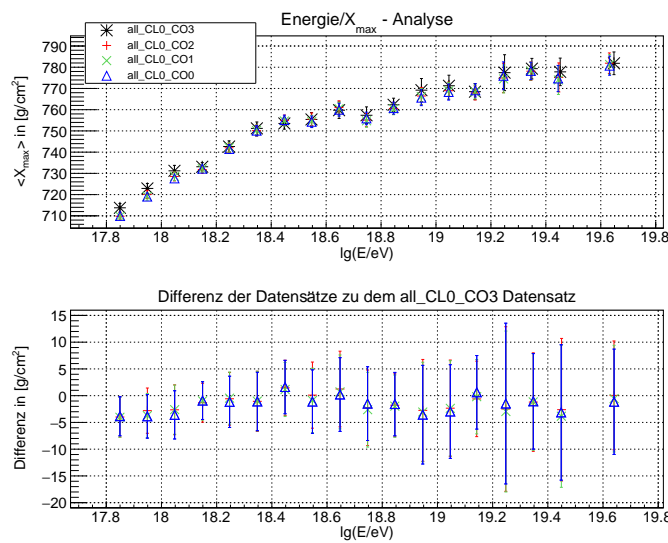


Abbildung 4.8: Auf den x-Achsen beider Graphen ist die Energie aufgetragen. Auf der y-Achse des oberen Graphs ist $\langle X_{\max} \rangle$ aufgetragen, auf der des unteren Graphen die Differenz der verglichenen Datensätze in $\langle X_{\max} \rangle$. Als Referenzdatensatz, der mit den verschiedenen Pixelauswahlen verglichen wird, dient der „all_CL0_CO3“-Datensatz.

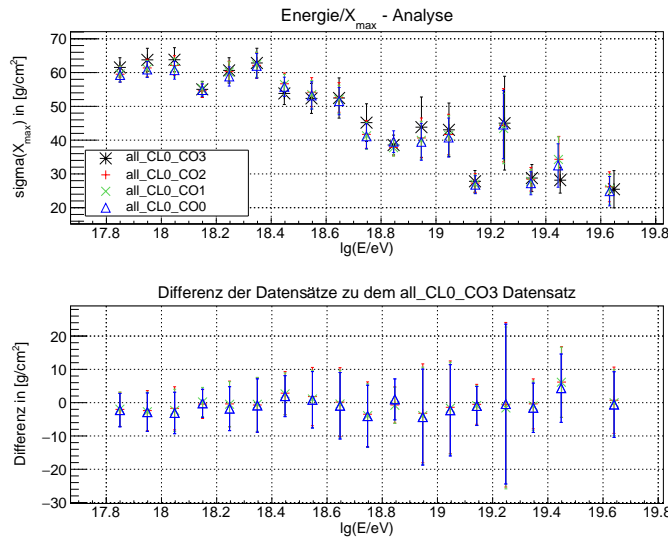


Abbildung 4.9: Auf den x-Achsen beider Graphen ist die Energie aufgetragen. Auf der y-Achse des oberen Graphs ist $\sigma(X_{\max})$ aufgetragen, auf der des unteren Graphen die Differenz der verglichenen Datensätze in $\sigma(X_{\max})$. Als Referenzdatensatz, der mit den verschiedenen Pixelauswahlen verglichen wird, dient der „all_CL0_CO3“-Datensatz.

4.4.4. Vergleich des *selected*- mit dem *removed*-Datensatz

Jetzt soll der *selected*-Datensatz aus [11] mit dem ihm disjunkten *removed*-Datensatz verglichen werden. Die blauen Punkte entsprechen demnach den Punkten aus Abb. 3.7. Das Ergebnis für $\langle X_{\max} \rangle$ sieht folgendermaßen aus:

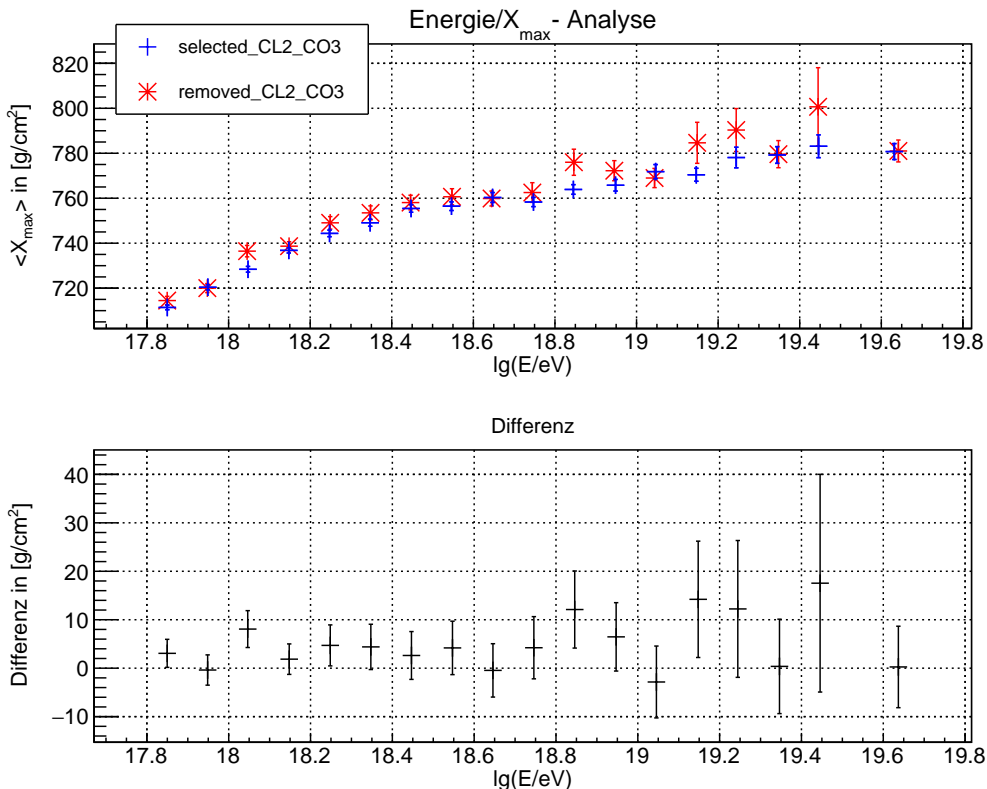


Abbildung 4.10: Auf den x-Achsen beider Graphen ist die Energie aufgetragen. Auf der y-Achse des oberen Graphs ist $\langle X_{\max} \rangle$ aufgetragen, auf der des unteren Graphen die Differenz (rot - blau) der verglichenen Datensätze in $\langle X_{\max} \rangle$. Blau gehört zu dem *selected*-Datensatz und Rot zu dem *removed*-Datensatz .

Bei dem *removed*-Datensatz ist das $\langle X_{\max} \rangle$ in den meisten Energieintervallen ein wenig höher als bei dem *selected*-Datensatz. Dies ist deutlicher an dem unteren Plot sichtbar, weil die Messpunkte nicht symmetrisch um Null verteilt sind, sondern eher über Null liegen. Dennoch sind die Abweichungen zwischen den beiden Datensätzen auch hier mit null verträglich. Ein Grund für diese geringen Unterschiede zwischen den Datensätzen könnte sein, dass schon im Vorfeld Schnitte auf den Gesamtdatensatz gemacht wurden, sodass daraus letztendlich der *all*-Datensatz entstanden ist, der im Wesentlichen schon von Wolken bereinigt ist. Zu diesen Schnitten gehört zum Beispiel, dass die Spur des Luftschauers im Detektor nicht unterbrochen sein darf, weil das ein direkter Hinweis auf eine Wolke ist.

In dem Histogramm für das Bin $10^{18,0}$ eV - $10^{18,1}$ eV (siehe Abb. 4.11) ist zu erkennen, dass tendenziell auf der rechten fallenden Flanke der Prozentsatz an Ereignissen aus dem *removed*-Datensatz etwas höher liegt, und genau umgekehrt ist es auf der linken steigenden Flanke.

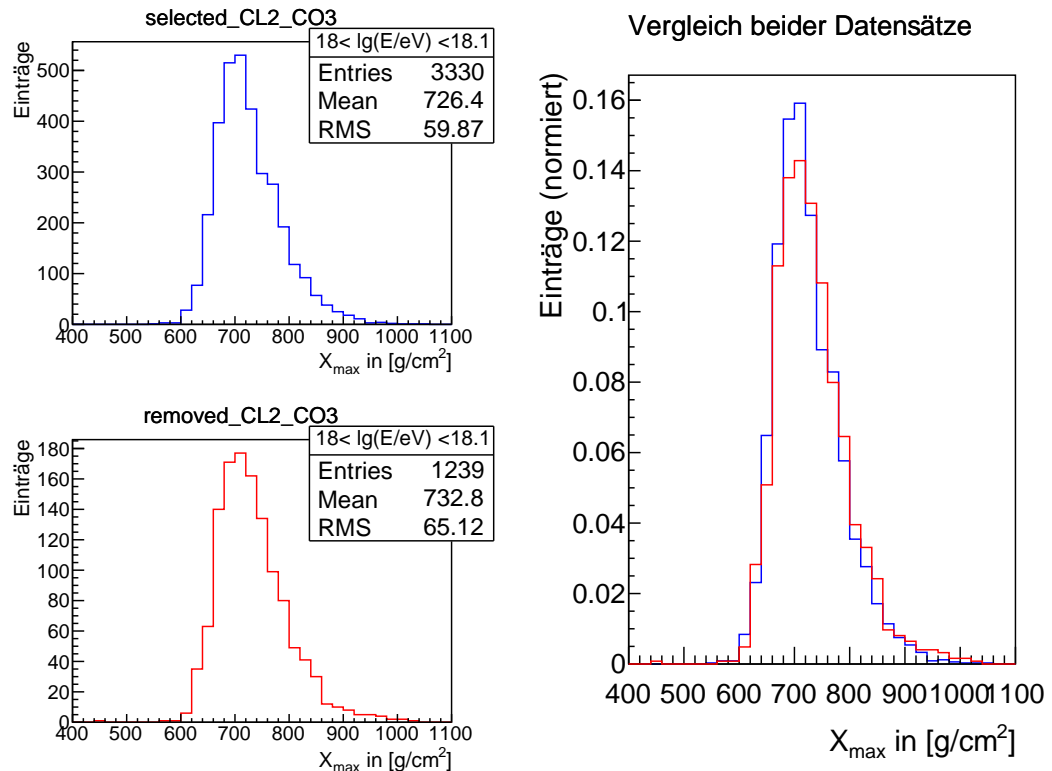


Abbildung 4.11: Bei allen drei Histogrammen ist das X_{\max} jedes zu dem jeweiligen Datensatz gehörenden Ereignisses in dem Energieintervall von 10^{18} eV - $10^{18,1}$ eV die histogrammierte Größe. Auf der linken Seite befinden sich einzeln die beiden Histogramme für den *selected*-Datensatz und den *removed*-Datensatz. Auf der rechten Seite ist wegen der Normierung der direkte Vergleich beider Histogramme möglich.

Die Histogramme für die anderen Energieintervalle befinden sich im Anhang (siehe Abb. A.2, A.3, A.4).

In einem weiteren Graphen ist das 2. Moment der X_{\max} -Verteilung gegen die Energie aufgetragen.

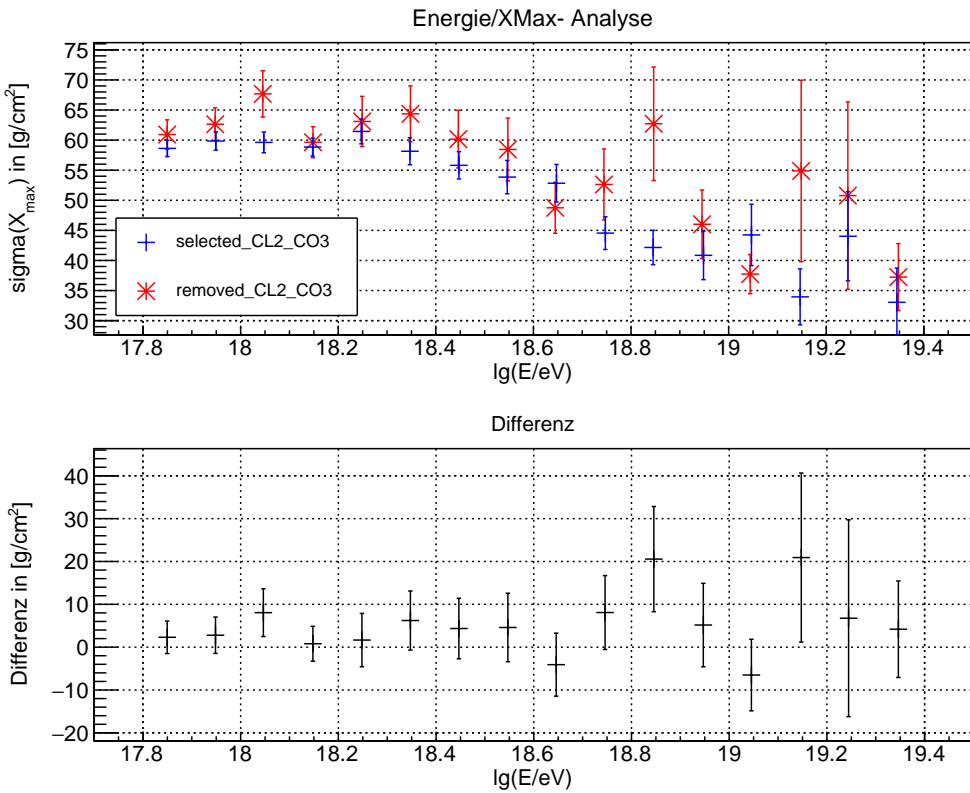


Abbildung 4.12: Auf den x-Achsen beider Graphen ist die Energie aufgetragen. Auf der y-Achse des oberen Graphs ist $\sigma(X_{\max})$ aufgetragen, auf der des unteren Graphen die Differenz (rot - blau) der verglichenen Datensätze in $\sigma(X_{\max})$. Blau gehört zu dem *selected*-Datensatz und Rot zu dem *removed*-Datensatz .

Auch hier gleicht sich bei niedrigeren Energien tendenziell das Verhalten beider Datensätze, indem die Breite der Verteilung zunächst konstant bleibt und nachher kleiner wird. Bei höheren Energien wird jedoch die Statistik zu klein und die Schwankungen werden größer. In dem Histogramm für das Bin $10^{18,8}$ eV - $10^{18,9}$ eV (siehe Anhang A.3) ist sichtbar, dass einzelne Ereignisse mit großem X_{\max} dafür sorgen, dass die Breite der Verteilung so groß im Vergleich zu der des *selected*-Datensatzes bei der gleichen Energie ist. Aus den Daten für die Energiebins mit mehr Statistik scheint aber dennoch hervorzugehen, dass das $\sigma(X_{\max})$ bei dem *removed*-Datensatz ein wenig größer sein könnte als bei dem *selected*-Datensatz. Jedoch ist auch hier der Unterschied statistisch nicht signifikant.

4.4.5. Vergleich eines wolkenfreien mit einem nicht wolkenfreien Datensatz

Nun sollen die eigenen Wolkenschnitte verwendet werden und der wolkenfreie Datensatz mit einem Datensatz verglichen werden, in dem nur Ereignisse sind, deren durchschnittliche Bedeckung über das Teleskop gemittelt größer als 50% ist (vgl. Abb. 4.4).

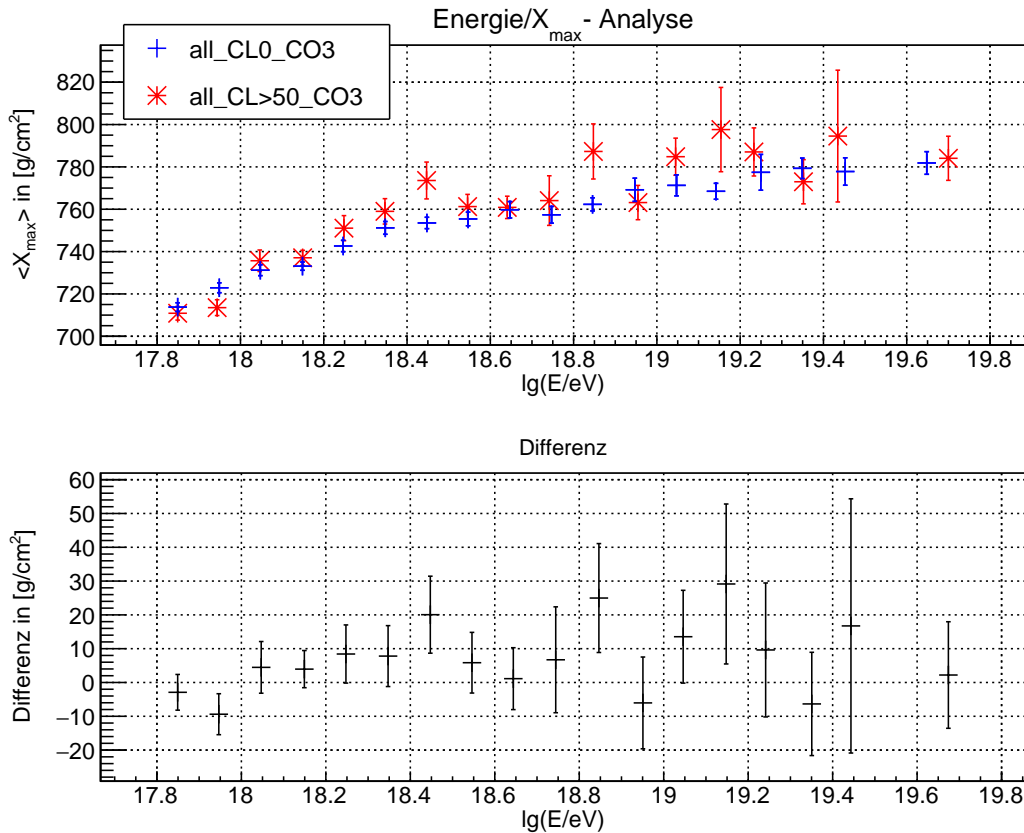


Abbildung 4.13: Auf den x-Achsen beider Graphen ist die Energie aufgetragen. Auf der y-Achse des oberen Graphs ist $\langle X_{\max} \rangle$ aufgetragen, auf der des unteren Graphen die Differenz (rot - blau) der verglichenen Datensätze in $\langle X_{\max} \rangle$. Blau gehört zu dem wolkenfreien und Rot zu dem wolkenbehafteten Datensatz

In den ersten beiden Energieintervallen ist das $\langle X_{\max} \rangle$ des wolkenbehafteten Datensatzes etwas höher. In den nachfolgenden Energieintervallen ist das $\langle X_{\max} \rangle$ des wolkenfreien Datensatzes bis auf zwei Ausnahmen niedriger. Die Differenz beider Datensätze ist allerdings bis auf drei Energiebins immer mit einem σ mit Null verträglich. Insgesamt sieht diese Abb. 4.13 der Abb. 4.10 ähnlich. Dies ist auch zu erwarten, da derselbe Vergleich gemacht wurde, aber mit Datensätzen, die aus eigenen Wolkenschnitten erstellt worden sind. Aber andererseits ist es auch hier, wie in Abb. 4.10 nicht möglich, einen Einfluss der Wolken auf das Ergebnis der X_{\max} -Analyse zu schlussfolgern. Bessere Analysen könnten gemacht werden, indem Ereignisse aus dem „bedeckten“ Datensatz herausgenommen werden, bei denen die Wolke aus Sicht des Detektors hinter der Schauerachse liegt. Wegen der einfachen 2D Projektion fallen diese Ereignisse momentan ebenfalls in diesen Datensatz hinein.

In den „all_CL>50_CO3“ Datensatz fließen auch Ereignisse mit ein, in denen die Wolkenbedeckung fälschlicherweise auf eins rekonstruiert wurde, obwohl keine Wolken

am Himmel sind. Dies soll nun diskutiert werden.

Bilder der Wolkenkamera und falsch rekonstruierte Wolkenbedeckungen: Auf der Internetseite [13] der Universität Adelaide kann man sich die Wolkenbedeckung bei jeder beliebigen GPS Sekunde an allen 4 Standorten bildlich anzeigen zu lassen (siehe Abb. 4.14).

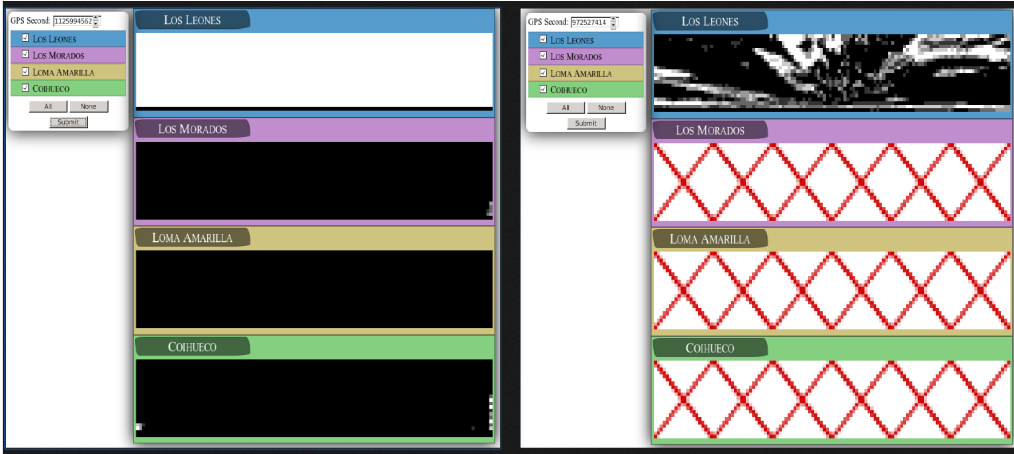


Abbildung 4.14: Zu sehen ist der Himmel, aufgenommen von den Infrarotkameras an den vier Standorten der FD zu den GPS-Sekunden 1125994562 (links) und 972527414 (rechts). Ein klarer Himmel ist schwarz und weiß bedeutet, dass Wolken im Sichtfeld des Standorts waren. Dargestellt sind jeweils alle 6 Teleskope pro Standort. Auf dem rechten Bild sind von Los Leones aus wenige Wolken zu sehen gewesen, die anderen drei Standorte besitzen keine Wolkenkamerainformationen zu dieser Zeit. Auf der linken Seite ist ein wolkenfreies Ereignis zu sehen, in dem der Himmel am Standort Los Leones falsch rekonstruiert wurde. (Bild von [13])

Wie in Abb. 3.1 zu erkennen ist, überschneiden sich die Sichtfelder von den einzelnen Standorten. Es ist demnach unmöglich, dass an einem Standort ausschließlich Wolken von der Kamera detektiert werden, während keine Wolken an den anderen Standorten registriert werden. Der umgekehrte und wesentlich gefährlichere Fall, dass ein Ereignis fälschlicherweise als wolkenfrei deklariert wird, tritt nicht auf [14].

Das Ergebnis wird der Abb. 4.13 wieder unähnlicher, wenn man den „all_CL0_CO3“ mit einem Datensatz vergleicht, bei dem die durchschnittliche Wolkenbedeckung bei einem Ereignis größer als 95% ist. Dies könnte der geringeren Statistik und zufälligen Fluktuationen darin geschuldet sein (1019 Ereignisse sind in diesem Datensatz). Es könnte jedoch auch ein Hinweis darauf sein, dass die falsch rekonstruierten Ereignisse einen Einfluss auf das Ergebnis haben.

4.5. Zusätzliche Fragestellungen

In dem folgenden Abschnitt werden neue Fragestellungen behandelt, mit deren Hilfe neue Dinge über das Verhalten der Wolken und deren Einfluss auf Daten gewonnen werden können. Das Ziel, die Statistik zu vergrößern, soll dabei nicht außer Acht gelassen werden.

4.5.1. Die durchschnittliche Wolkenbedeckung in der Pampa

Um die Fragestellung zu beleuchten, inwiefern die Ergebnisse der X_{\max} -Analyse verfälscht werden, wenn Ereignisse, bei denen Wolkeninformationen fehlen, für die Analyse mitbenutzt werden, soll an dieser Stelle untersucht werden, wie viele Wolken sich durchschnittlich über dem Experiment befinden.

Die durchschnittliche Wolkenbedeckung wurde in der Abb. 4.15 nur über die getriggerten Pixel, d. h. Pixelauswahl 0, berechnet. Der Unterschied zwischen den einzelnen Pixelauswahlen ist unwesentlich klein. In Abb. 4.15 ist die Häufigkeit einzelner Wolkenbedeckungen logarithmisch in ein Histogramm eingetragen. Die Anzahl der Einträge beinhaltet diejenigen Ereignisse, die keine Wolkeninformationen besitzen, deren Wolkenbedeckung also „künstlich“ auf zwei gesetzt wurde. Im Histogramm selbst sind diese nicht sichtbar, in der Statistikbox gibt der Parameter „overflow“ die Anzahl dieser Ereignisse an. In den Mittelwert in der Statistikbox fließen die „overflow“ - Einträge nicht mit ein. Die Gesamtanzahl von 35122 Einträgen (im Gegensatz zu den 34792 Ereignissen) kommt dadurch zustande, dass Mehrfachereignisse mehrfach gezählt werden.

Der Mittelwert in Abb. 4.15 für den *selected*-Datensatz liegt bei 6% und bei dem *removed*-Datensatz bei 51,8%. Dieser deutliche Unterschied wird auch bei dem direkten Vergleich sichtbar, in dem ab einer Wolkenbedeckung von 4% die Kurve des *removed*-Datensatzes über der des *selected*-Datensatzes liegt. Dennoch wird auch hier, wie in Abb. 4.4 deutlich, dass sowohl in dem *selected*-Datensatz ca. 10-13% der Ereignisse eine Wolkenbedeckung über ca. 20% haben als auch, dass in dem *removed*-Datensatz ca. 20% der Ereignisse eine Wolkenbedeckung unter 10% haben.

Eine wichtige Schlussfolgerung, die aus der Abb. 4.15 (links unten) gezogen werden kann, ist die Abschätzung, dass in dem Fall, dass ein Ereignis keine Wolkeninformationen besitzt, es in ca. 70% der Fälle eine Wolkenbedeckung weniger als 10% besitzt. Eine komplett Wolkenfreiheit im Sichtfeld des jeweils getriggerten Teleskops gab es in ca. 50% der Ereignisse. Um eine größere Sicherheit zu erhalten, ein Ereignis ohne Information als wolkenfrei einzustufen, gibt es verschiedene Möglichkeiten. Eine Möglichkeit könnte sein die Jahreszeit mitzuberücksichtigen, wenn im Sommer die Wahrscheinlichkeit für gutes Wetter höher ist, als im Winter. Zwei weitere Möglichkeiten sollen in den nächsten Kapiteln noch näher diskutiert werden.

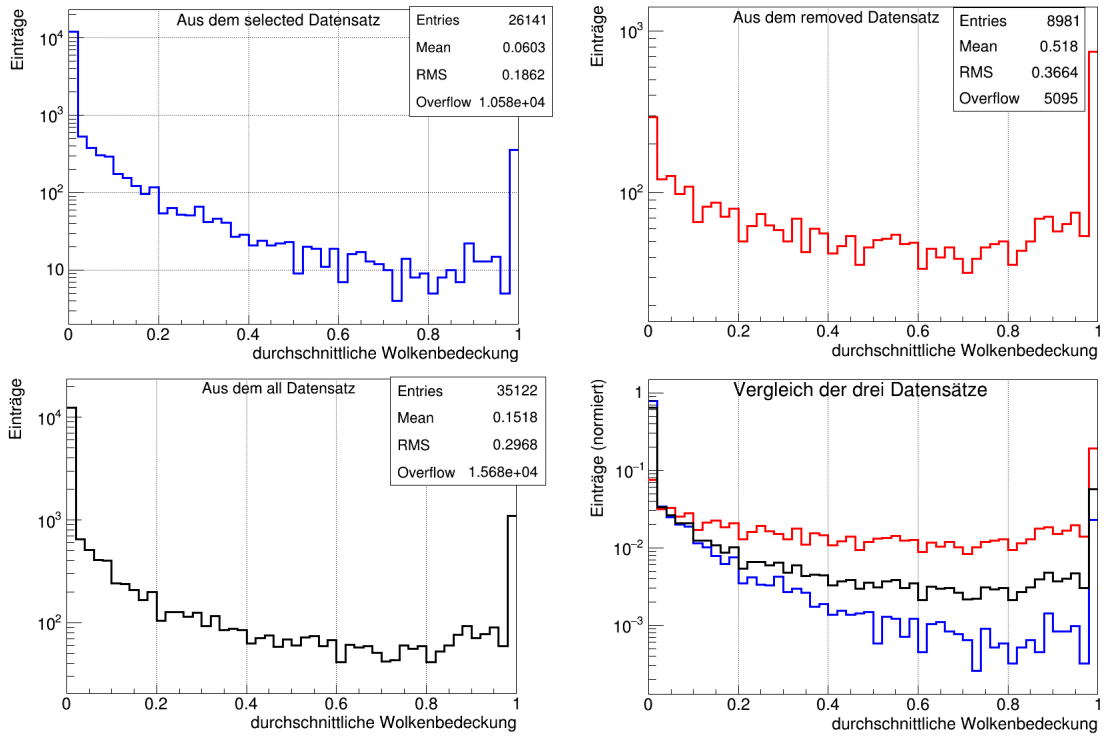


Abbildung 4.15: In allen 4 Histogrammen ist die durchschnittliche Wolkenbedeckung in der Spur des Schauers (Pixelauswahl 0) in ein Histogramm eingetragen. Der Titel des jeweiligen Histogramms gibt den Datensatz an, der ausgewertet wurde. Die Anzahl der Einträge, der Mittelwert und die Breite der Verteilung stehen in der jeweiligen Statistikbox. Die „overflow“-Einträge geben die Anzahl der Ereignisse an, für die die Wolkenkamera keine Informationen liefert.

4.5.2. Wie schnell ändert sich die durchschnittliche Wolkenbedeckung in der Spur?

Um herauszufinden, ob es sicher ist die Pixelauswahl 0 zu verwenden, soll die Frage betrachtet werden, wie schnell sich die Wolkenbedeckung am Himmel ändert. Das Problem ist, dass die Wolkenkameras „nur“ alle fünf Minuten ein Foto von dem jeweiligen Sichtfeld schießen. Wird ein Schauer detektiert, so werden die Daten des aktuellsten Fotos für diesen Schauer verwendet. Diese können demnach jedoch schon bis zu fünf Minuten alt sein. In fünf Minuten kann eine Wolke, die bisher nicht vor dem Luftschauder zu sehen war, weiterziehen, sodass die getriggerten Pixel überlagert werden. Und andersherum natürlich ebenfalls. Je nachdem, wie schnell die Wolken ziehen, ist es vielleicht sicherer, immer die Pixelauswahl 2 oder sogar Pixelauswahl 3 zu verwenden. In der folgenden Analyse wird die durchschnittliche Wolkenbedeckung der Bilder fünf Minuten vor und nach dem aktuellen Bild verglichen, indem jeweils die durchschnittliche Wolkenbedeckung der getriggerten Pixel oder über das ganze Teleskop gebildet und die Differenzen der Wolkenbedeckung ausgerechnet werden. Diese Differenzen werden in ein Histogramm eingetragen bzw. als Funktion der Wolkenbedeckung des aktuellen Bilds aufgetragen.

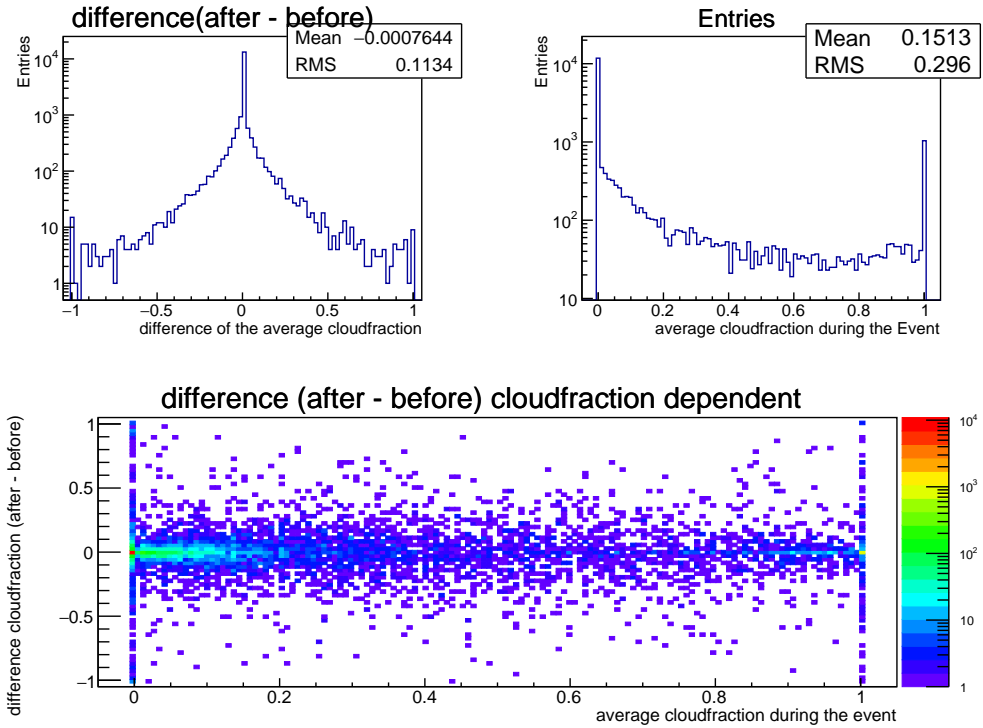


Abbildung 4.16: Das Histogramm auf der linken oberen Seite ist die y-Projektion des 2D-Histogramms unten. Das rechte obere Histogramm ist die x-Projektion des 2D-Histogramms unten. In dem 2D-Histogramm ist die Differenz der Wolkenbedeckung nach und vor dem Luftschauder (auf der y-Achse) abhängig von der Wolkenbedeckung während dem Luftschauder (auf der x-Achse) abgebildet.

Das Histogramm oben rechts in der Abb. 4.16 ist bis auf die Bingröße identisch mit dem Histogramm unten links in Abb. 4.15. Der Mittelwert im Histogramm oben links in der Abb. 4.16 ist erst in der 4. Nachkommastelle von Null verschieden. Da es sich bei diesem Histogramm um die y-Projektion des unteren 2D-Plots handelt, bedeutet dies auch, dass die Punkte im 2D-Histogramm nahezu symmetrisch um die Differenz von Null verteilt liegen. Dies ist zu erwarten, da die Existenz von Wolken nicht mit den Luftschafern korreliert ist. Aus dem oberen linken Histogramm ist ersichtlich, dass bei weniger als 3% der Ereignisse die Änderung der durchschnittlichen Wolkenbedeckung vom Betrag mehr als 50% ist. Das entspricht hier etwa 400 Ereignissen. Es sollte beachtet werden, dass einige der Ausreißer mit der Differenz von Eins mit Rekonstruktionsfehlern (siehe Abb. 4.14) zu erklären sind.

Diese Analyse wurde auch durchgeführt, um den *selected*-Datensatz mit dem *removed*-Datensatz zu vergleichen (siehe Abb. 4.17). Der Unterschied zwischen diesen beiden Datensätzen wird hauptsächlich im 2D Histogramm sichtbar. An dieser Stelle ist die durchschnittliche Wolkenbedeckung ebenfalls nur über die getriggerten Pixel gebildet worden.

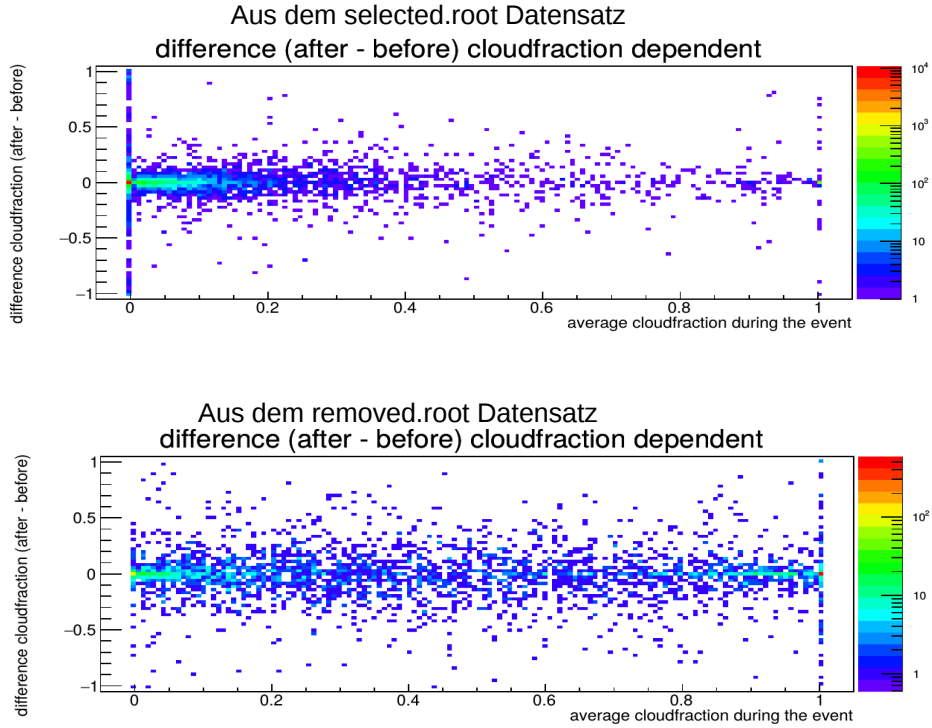


Abbildung 4.17: In beiden 2D-Histogrammen ist die Differenz der Wolkenbedeckung nach und vor dem Luftschauder (auf der y-Achse) abhängig von der Wolkenbedeckung während dem Luftschauder (auf der x-Achse) abgebildet. Für das obere Histogramm wurde der *selected*-Datensatz verwendet und für das untere Histogramm wurde der *removed*-Datensatz verwendet.

Es fällt auf, dass das obere Histogramm die meisten Einträge bei einer Differenz von 0% zwischen dem Bild vor und nach dem Schauer hat, während die Wolkenbedeckung auf dem aktuellen Bild ebenfalls Null ist. Das untere Histogramm in Abb. 4.17 hat die meisten Einträge in dem Bin, in dem die Differenz 0 ist, jedoch die Wolkenbedeckung im aktuellen Bild 1 ist. Daraus könnte geschlossen werden, dass komplett wolkenfrei bzw. komplett bedeckt ein stabiler Zustand ist. Stabil bedeutet dann in diesem Zusammenhang, dass sich die Wolkenbedeckung nur langsam verändert. Wie bereits erwähnt, können an dieser Stelle Ausreißer auch von Rekonstruktionsfehlern kommen.

Diese Schlussfolgerung betrifft auch das letzte Kapitel insofern, weil dann, wenn keine Wolkeninformationen vorliegen, eventuell korrekt rekonstruierte Daten einige Zeit früher oder später gefunden werden können und so die Wahrscheinlichkeit einen wolkenfreien Himmel richtig vorherzusagen genauer angegeben werden kann.

Ist der Himmel mittelmäßig bedeckt ist eine schnelle Änderung der Wolkenbedeckung wahrscheinlicher, im Vergleich zu einem wolkenfreien Himmel. Dies kann aus den Breiten der Verteilungen geschlussfolgert werden. Bei dem *selected*-Datensatz ist die Breite der

y-Projektion gegeben durch $\text{RMS}_{\text{sel}} = 0,0815$ im Vergleich zu $\text{RMS}_{\text{rem}} = 0,1944$ bei dem *removed*-Datensatz. Die breitere Streuung ist auch im 2D-Histogramm zu sehen (vgl. Abb. 4.17).

Eine weitere Beobachtung lässt sich machen, wenn die Breite der y-Projektion von dem Plot in Abb. 4.16 mit derjenigen verglichen wird, bei der die Wolkenbedeckung über das ganze Teleskop ermittelt wurde. Bei der Mittelung über alle Pixel (Pixelauswahl 3) wird die Breite im Vergleich zu den $\text{RMS} = 0,1134$ aus Abb. 4.16 (Pixelauswahl 0) um 17,8% schmäler. Die schmalere Verteilung ist gleichbedeutend damit, dass die Differenzen der durchschnittlichen Wolkenbedeckungen vor und nach dem Luftschauder näher um Null verteilt sind. Die durchschnittliche Wolkenbedeckung in der Spur ändert sich also schneller als die Wolkenbedeckung über das ganze Teleskop gemittelt. Dies wird auch erwartet, weil wenn über mehr Pixel gemittelt wird, vereinzelte „Ausreißer-Pixel“ bei der Mittelung weniger ins Gewicht fallen.

Eine Schlussfolgerung dieses Abschnitts ist, dass ein wolkenfreier und ein völlig bedeckter Himmel ein in dem Zeitraum von fünf Minuten relativ unveränderlicher Zustand ist. Ist der Himmel jedoch mittelmäßig bedeckt, so ist es gut möglich, dass sich die Situation geändert hat, ehe der Luftschauder kommt. Wird im Wolkenschnitt Pixelauswahl 3 verwendet, so ist das sicherer. Pixelauswahl 0 hat jedoch den Vorteil, dass mehr Ereignisse in den Datensatz aufgenommen werden (vgl. Abb. 4.4).

4.5.3. Der zeitliche Verlauf aktiver Wolkenkameras

Eine weitere Möglichkeit die Statistik zu erhöhen und gleichzeitig die Logik des Wolkenschnitts zu vereinfachen wird im Folgenden beschrieben. Das Problem, das hier umgangen werden soll, ist, dass nicht für jedes Ereignis Informationen von jedem der zur Überwachung der Atmosphäre eingesetzten Geräte zur Verfügung stehen. In der X_{\max} -Analyse wird daher ein Wolkenschnitt mit einer komplizierten Logik, der die Daten von der Wolkenkamera, von den Satelliten und von Lidar, CLF und XLF berücksichtigt, benutzt, um einen wolkenfreien Datensatz zu erstellen. Die Wolkenkamera ist von diesen Systemen wahrscheinlich am besten geeignet, um zu behaupten, dass das Sichtfeld im Bereich des Schauers wolkenfrei ist. Aber auch die Wolkenkameras liefern nicht durchgängig Daten, sodass nicht jedes Ereignis Informationen über die Wolken von der Wolkenkamera bekommt. Aus der Präsentation [9] ist der monatliche Status der vier Wolkenkameras entnommen.

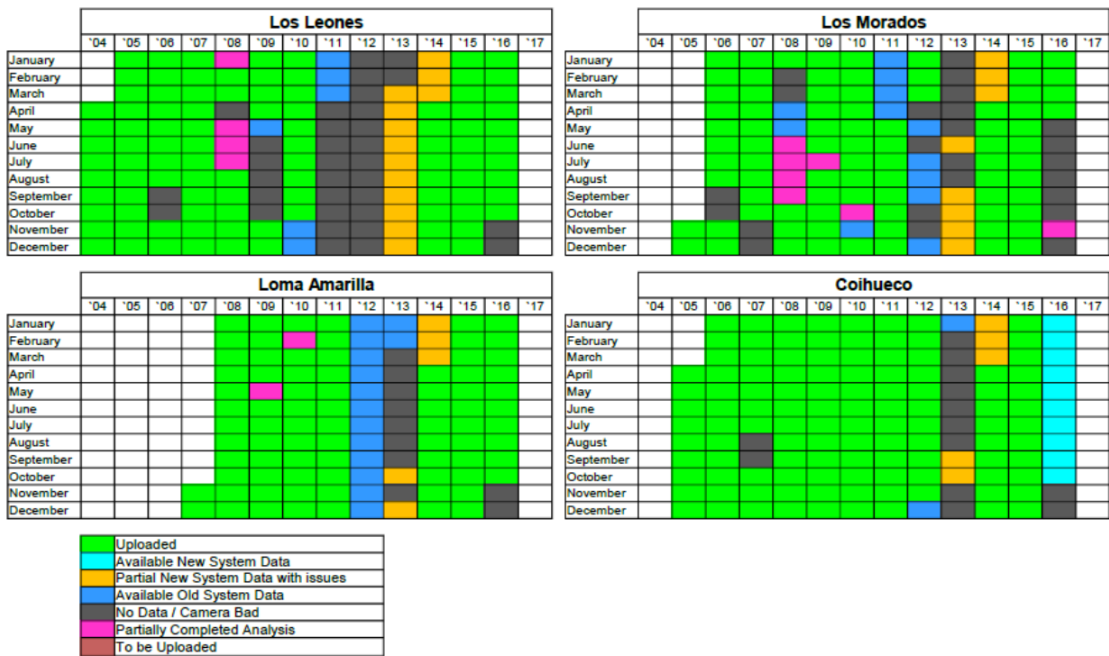


Abbildung 4.18: Dargestellt ist der monatliche Status der vier Wolkenkameras. Die grüne Farbe bedeutet, dass die Wolkendaten verfügbar sind. Blau und gelb bedeutet, dass teilweise Daten verfügbar sind, die aber noch in die Wolkendatenbank hochgeladen werden müssen. Dass keine Daten verfügbar sein werden, weil die Kamera nicht funktioniert hat, bedeutet die Farbe Grau und dass die Daten noch analysiert werden müssen, ist mit der Farbe Lila dargestellt. [9]

Aus Abb. 4.18 ist ersichtlich, dass keine der Wolkenkameras durchgängig aktiv ist. Besonders in den Jahren 2012 und 2013 fehlen wegen des Austauschs der Kameras viele Informationen für Ereignisse in diesem Zeitraum. Aber man erkennt beispielsweise auch, dass die Kamera in Coihueco im Gegensatz zu der in Los Leones funktioniert hat. Da sich, wie in Abb. 3.1 erkennbar, die Sichtfelder beider Kameras überlagern, kann die Frage gestellt werden, ob dies nicht ausgenutzt werden kann. Wenn dann ein Luftschauder von dem FD in Los Leones registriert wird, kann eventuell durch die von der Kamera in Coihueco gesammelten Wolkeninformationen die Bestätigung kommen, dass sich zwischen Luftschauder und Detektor keine Wolken befunden haben. Die folgende Abb. 4.19 ist eine Übersicht darüber, wie groß der prozentuale Anteil an Ereignissen ist, die durch diese Überlegung Wolkeninformationen von anderen Standorten bekommen können.

Verlauf aktiver Wolkenkameras

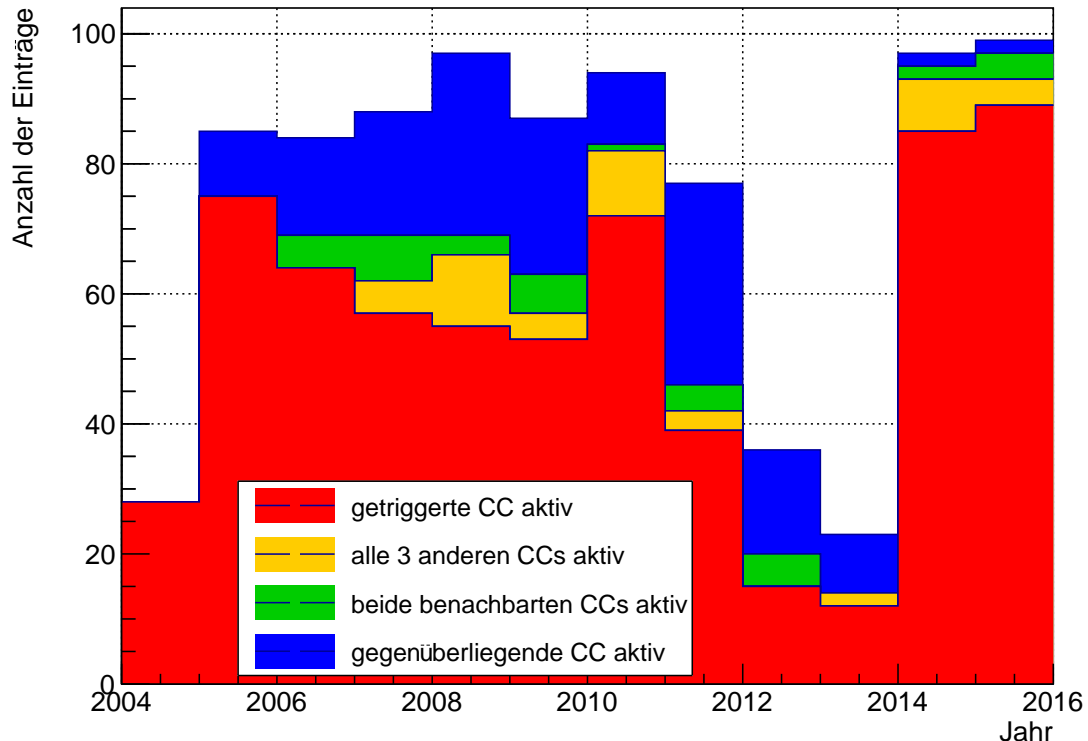


Abbildung 4.19: Der rot gefüllte Teil des Histogramms gibt den jährlichen Anteil an Ereignissen an, deren Wolkenkamera (hier CC abgekürzt) bei dem jeweils getriggerten FD aktiv war. Ist diese Kamera inaktiv, so wird gefragt, ob alle drei restlichen Kameras Wolkeninformationen aktiv waren. Dies ist der gelbe Anteil, der auf die roten Balken aufgestapelt wird. Sind nicht alle drei anderen, sondern nur die zwei benachbarten Standorte aktiv, so ist dies mit grüner Farbe dargestellt. Blau ist der Anteil der Ereignisse, an denen die gegenüberliegende Wolkenkamera aktiv war, wenn die drei anderen Bedingungen nicht erfüllt sind. Der verbleibende Anteil, der nicht ausgefüllt ist, sind somit Ereignisse, in denen nur eine benachbarte Wolkenkamera oder gar keine Wolkenkamera zum Zeitpunkt des Luftschauers aktiv war.

Im Gegensatz zu Abb. 4.18 ist die Einteilung jährlich und zwischen den vier Standorten wird nicht unterschieden. In den Jahren 2012 und 2013, in denen auf Grund des Umbaus wenig Informationen vorhanden sind, ist auch in Abb. 4.19 ein drastischer Einbruch sichtbar. Im Jahr 2012 ist in 4.18 zu sehen, dass die Kamera in Los Leones nicht in Betrieb war. Darum ist in Abb. 4.19 kein gelber Balken für dieses Jahr vorhanden. In den Jahren 2014 und 2015 ist der Anteil der Ereignisse, für die Wolkeninformationen von den Kameras zur Verfügung stehen wieder wesentlich höher. Die beiden Abb. 4.18 und 4.19 sind also konsistent miteinander.

Über den gesamten Zeitraum gesehen sind für 55,4% aller Ereignisse die Daten der Wolkenkamera verwertbar und in die Datenbank hochgeladen. Es stellt sich die Frage, ob es überhaupt lohnenswert ist, einen ausschließlich auf den Informationen der Wolkenkameras beruhenden Wolkenschnitt zu entwerfen. Dies wäre vermutlich nicht sinnvoll, wenn in der Zukunft damit zu rechnen wäre, dass z. B. jedes zweite Ereignis wegen fehlender Information über die Wolken aussortiert werden müsste. Wegen des eben beschriebenen Austauschs in den Jahren 2012 und 2013 und den guten Werten in den beiden letzten Jahren, ist aber eher davon auszugehen, dass auch in Zukunft deutlich mehr als die Hälfte der Ereignisse Wolkeninformationen von der Wolkenkamera beziehen können.

Zusätzlich sind noch weitere Farben in dem Histogramm sichtbar, die auf die einzelnen Bins aufgestapelt sind. Aus der Abb. 4.15 können Rückschlüsse darüber gezogen werden, welcher Prozentsatz der zusätzlich auswertbaren Ereignisse („gelb, grün und blau“) wolkenfrei sein werden. Insbesondere dann, wenn auch der „blaue Prozentsatz“ in Abb. 4.19 berücksichtigt wird, so wird sich eine nennenswerte Zahl zusätzlicher Ereignisse ergeben. Theoretisch könnte noch weiter gegangen und gesagt werden, dass wenn von der Kamera in Los Leones eine Wolke detektiert wurde, von der gegenüberliegenden Kamera in Loma Amarilla jedoch nicht, dass in diesem Fall die Wolke, aus Sicht des FD in Los Leones hinter dem Areal und über oder hinter Loma Amarilla liegt und somit der Bereich über dem Areal wolkenfrei ist. Demnach würde es ausreichend sein, wenn eine der vier Kameras ein komplett wolkenfreies Sichtfeld hat.

Um eine Übersicht über die Größenordnungen ohne jährliche Unterteilung zu bekommen, ist im Folgenden noch eine Übersicht abgebildet.

In 44,7% der Ereignisse ist die Wolkenkamera des getriggerten FD inaktiv		
Bei diesen 44,7% ist/sind		rel. Anteil bezogen auf die Gesamtheit
keine weitere Kamera aktiv	27,4%	12,2%
1 weitere Kamera aktiv	31,6%	14,1%
2 weitere Kameras aktiv	30,6%	13,7%
3 weitere Kameras aktiv	10,4%	4,7%

Abbildung 4.20: Ist die Kamera des getriggerten FD nicht in Betrieb, so trifft genau eine der in den nächsten Zeilen aufgelisteten Bedingungen zu. In der zweiten Spalte steht dann jeweils der Anteil von diesen 44,7%, auf den diese Bedingung zutrifft. In der dritten Spalte ist dieser Anteil dann umgerechnet, so dass er sich auf alle Ereignisse bezieht und nicht nur auf diejenigen, deren Wolkenkamera an dem getriggerten FD inaktiv war.

Werden Wolken außer Acht gelassen, so ist in 87,8% der Ereignisse mindestens eine Wolkenkamera aktiv. Das wäre das Optimum, was erreichbar ist, wenn ausschließlich Daten der Wolkenkameras für den Wolkenschnitt benutzt werden. Es soll auch noch die Frage beantwortet werden, wie groß der Anteil der wolkenfreien Ereignisse aus den farbigen Balken in 4.19 in absoluten Zahlen ist. In 53 Ereignissen waren die jeweils 3 anderen Standorte komplett wolkenfrei, in 367 Fällen waren genau zwei andere Standorte wolkenfrei, und in 1534 Ereignissen hat genau eine andere Wolkenkamera keine Wolke

beobachten können. Wenn die eigentliche Wolkenkamera nicht in Betrieb war, ist also in insgesamt 1954 Ereignissen das Areal aus Sicht von mindestens einem anderem Standort komplett wolkenfrei. Etwa 10% dieser Ereignisse stammen aus dem *removed*-Datensatz. Man erhält sogar insgesamt 5288 Ereignisse, wenn als Voraussetzung genommen wird, dass mindestens ein Standort eine durchschnittliche Wolkenbedeckung kleiner als 1% (statt vorher 0%) haben muss. Der „all_CL2_CO3“ Datensatz mit 7941 Ereignissen (siehe Abb. 4.4), in denen definitiv keine Wolke ist, würde auf diese Weise um 70% vergrößert werden.

Um dem Optimum von 87,8% noch näher zu kommen, wäre es eine Möglichkeit den Standort des Schauers, beispielsweise die GPS-Koordinate des Einschlagpunkts zu berücksichtigen. Dadurch müsste nicht ein komplettes Bild einer Kamera wolkenfrei sein, sondern nur die Teleskope, die in die Richtung des Schauers und in den Zwischenraum zwischen Schauer und getriggertem Detektor gerichtet sind.

Auch wenn nicht für jedes Ereignis der vergangenen Jahre Informationen vorliegen, so ist an Abb. 4.19 erkennbar, dass für zukünftige Jahre bei gleicher Tendenz damit zu rechnen ist, dass allein die Informationen der Wolkenkameras ausreichen werden, um Ereignisse als wolkenfrei zu klassifizieren. Durch Zuhilfenahme benachbarter Kameras wird man nahe an die 100% herankommen.

5. Zusammenfassung der Ergebnisse

Im ersten Teil der Analyse sind verschiedene Datensätze mittels der X_{\max} -Analyse miteinander verglichen worden. Es ist möglich einen Datensatz nur auf Basis der Daten der Wolkenkameras herzustellen, der zu demselben Ergebnis für $\langle X_{\max} \rangle$ führt wie der *selected*-Datensatz aus [11]. Die verschiedenen Pixelauswahlen haben keinen Einfluss auf die Ergebnisse für die X_{\max} -Analyse. Auch der Vergleich zwischen dem *selected*-Datensatz und dem *removed*-Datensatz aus [11], sowie der Vergleich zwischen einem wolkenfreien und einem wolkenbehafteten Datensatz, die jeweils mit einem eigenen Wolkenschnitt erstellt wurden, hat keinen entscheidenden Einfluss von Wolken auf die Ergebnisse der X_{\max} -Analyse ergeben. Die Unterschiede liegen alle im statistisch nicht signifikanten Bereich. Die Ursache dafür könnte sein, dass tatsächlich wolkenbehaftete Ereignisse bereits im Vorfeld durch andere Schnitte aussortiert worden sind und so in dem verbleibendem *all*-Datensatz schon zum großen Teil keine Wolken mehr zwischen Luftschauder und Detektor sind. Aus diesem Grund wurden weitere Fragestellungen untersucht. Wenn keine Informationen über Wolken vorliegen, so hat der Himmel ca. 70% der Zeit eine Wolkenbedeckung weniger als 10%. Außerdem ist ein wolkenloser Himmel ein langsam veränderlicher Zustand. Im letzten Abschnitt wurde gezeigt, dass wolkenfreie Datensätze auch durch die Hilfe anderer Wolkenkameras vergrößert werden können. Dass Ereignisse trotz inaktiver Kamera durch andere Kameras als wolkenfrei zu deklariert werden können, ist ein vielversprechender Ansatz um in Zukunft mehr zuverlässige Statistik allein aus Wolkenkameradaten zu erhalten.

Danksagung

An dieser Stelle möchte ich noch denjenigen danken, die das Schreiben dieser Arbeit ermöglicht haben. Dazu gehören Herr Prof. Dr. Markus Risse, der mir das Angebot gemacht hat, über dieses Thema eine Bachelorarbeit zu verfassen, und Dr. Marcus Niechciol, der immer mit Beratung und Hilfestellung zur Seite stand. Außerdem danke ich denjenigen, die sich die Zeit genommen haben, diese Arbeit auf Fehler und Unverständlichkeiten zu überprüfen und somit sicherlich zur Qualität dieser Arbeit beigetragen haben.

Literatur

- [1] private Kommunikation mit Marcus Niechciol, Universität Siegen, Oktober 2017
- [2] Johannes Blümer, Ralph Engel, und Jörg R. Hörandel, Cosmic Rays from the Knee to the Highest Energies, *Progress in Particle and Nuclear Physics* 63 (2009), 293–338
- [3] Malcolm S. Longair, *High Energy Astrophysics, Volume 1: Particles, photons and their detection*, second edition, Cambridge University Press, Cambridge, 1992.
- [4] Homij. Bhabha und Walter Heitler, The Passage of Fast Electrons and the Theory of Cosmic Showers, *Proceedings of the Royal Society of London A*159 (1937), 432–458
- [5] Maurizio Spuriou, *Particles and Astrophysics*, Springer International Publishing, 2014
- [6] A. Aab et al., The Pierre Auger Cosmic Ray Observatory, *Nuclear Instruments and Methods in Physics Research A* 798 (2015), 172–213
- [7] Jorge Abraham et al. (Pierre Auger Kollaboration), The fluorescence detector of the Pierre Auger Observatory, *Nuclear Instruments and Methods in Physics Research A* 620 (2010), 227–251
- [8] Jorge Abraham et al. (Pierre Auger Kollaboration), A study of the effect of molecular and aerosol conditions in the atmosphere on air fluorescence measurements at the Pierre Auger Observatory, *Astroparticle Physics* 33 (2010), 108–129
- [9] Patrick van Bodegom, Trent Grubb, Roger Clay, Bruce Dawson, Cloud Camera Analysis and Database Update, The University of Adelaide, März 2017,
- [10] Daniel Kuempel, Karl-Heinz Kampert, Markus Risze, Geometry reconstruction of fluorescence detectors revisited, *Astroparticle Physics* 30 (2008), 167–174
- [11] Jose Bellido et al. (Pierre Auger Kollaboration), Depth of maximum of air-shower profiles at the Pierre Auger Observatory: Measurements above 1017.2 eV and Composition Implications, PoS(ICRC2017)
- [12] https://web.ikp.kit.edu/munger/Xmax/xmaxPaper2014/suppl_01_09_2014.pdf, interne Publikation der Pierre-Auger-Kollaboration
- [13] <http://www.physics.adelaide.edu.au/astrophysics/Auger/CloudCams>
- [14] private Kommunikation mit Patrick van Bodegom, University of Adelaide, Oktober 2017

A. Plots

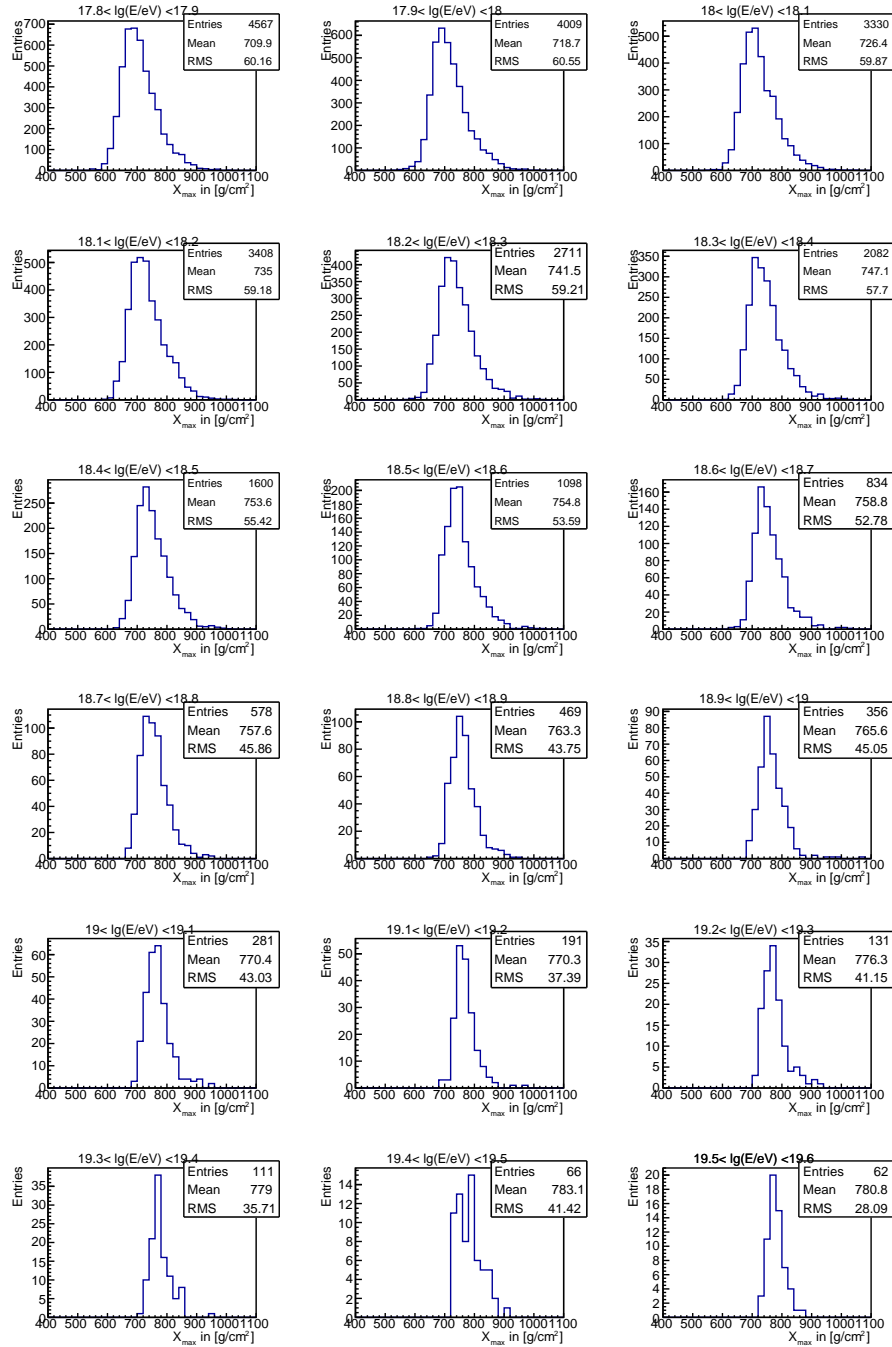


Abbildung A.1: 18 X_{\max} -Histogramme, die identisch mit denen in [11] sind. In den Statistikboxen stehen jeweils die Anzahl der Einträge, der Mittelwert und die Breite der Verteilung.

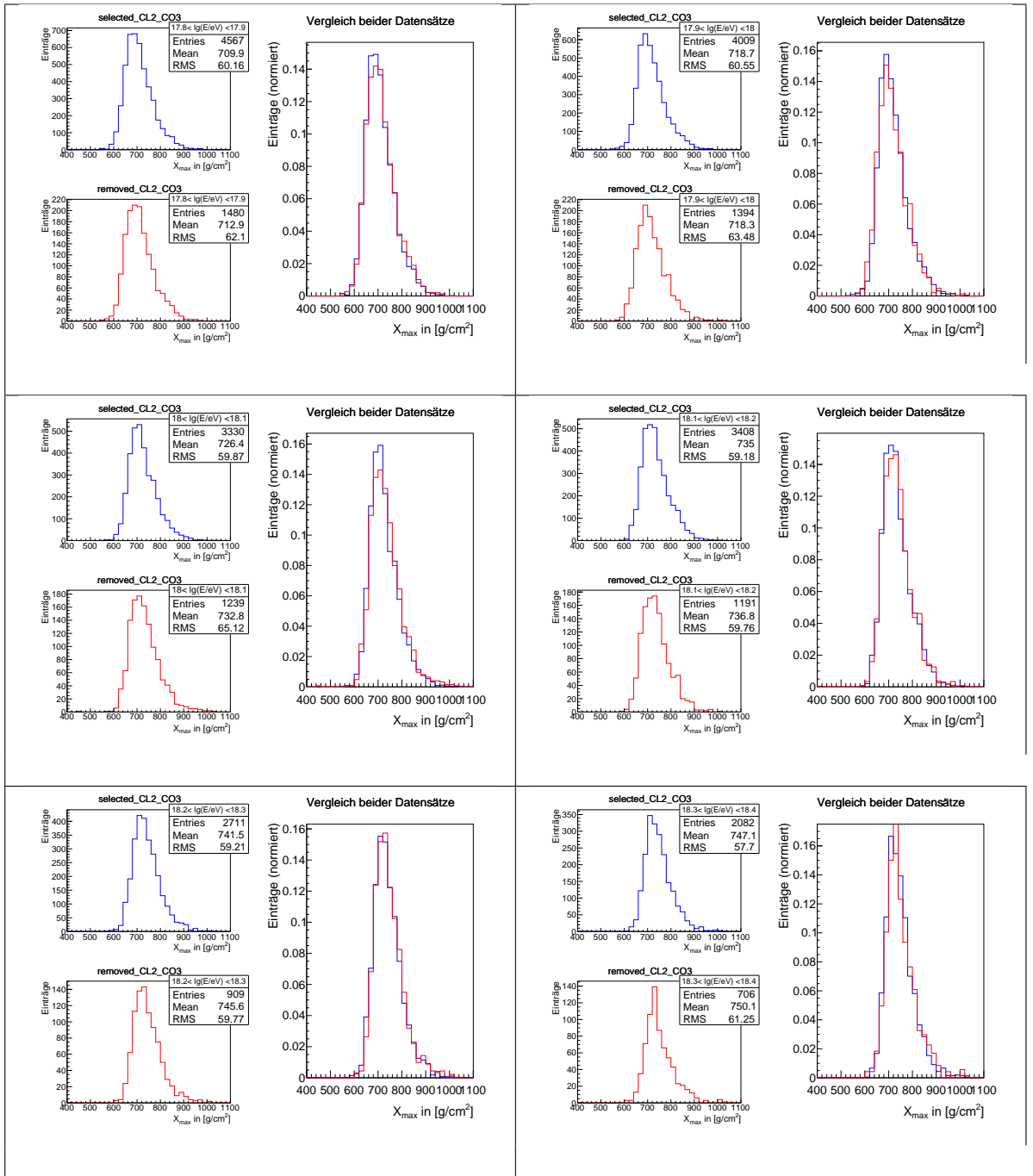


Abbildung A.2: Vergleich zwischen dem *selected*-Datensatz aus [11] mit dem *removed*-Datensatz. Zu sehen sind die X_{\max} -Histogramme der Energieintervalle von $10^{17.8} \text{ eV} - 10^{18.4} \text{ eV}$. Auf der jeweils linken Seite sind die beiden Histogramme des *selected*-Datensatzes und des *removed*-Datensatzes einzeln zu sehen. Auf der jeweils rechten Seite sind die beiden Histogramme dann überlagert.

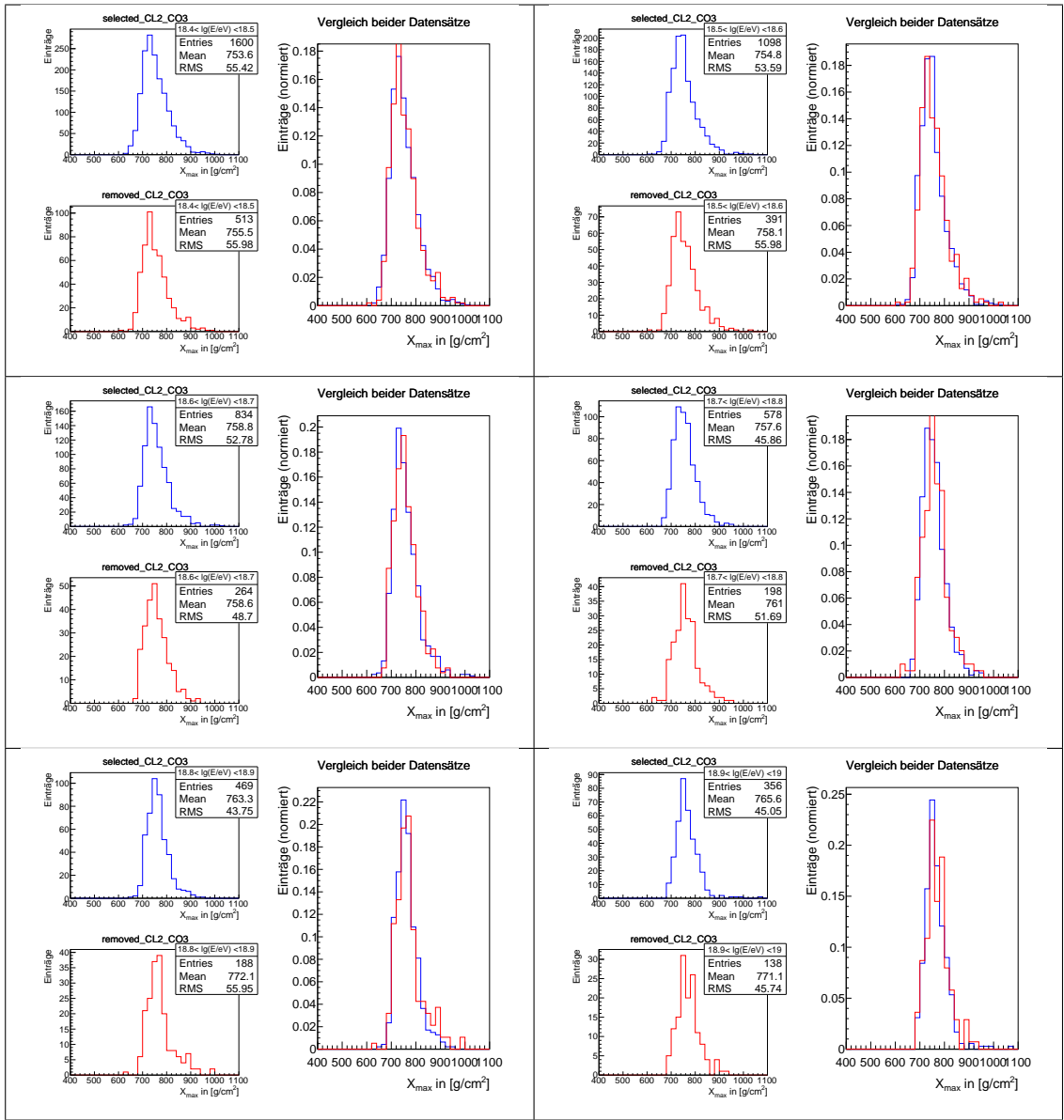


Abbildung A.3: Vergleich zwischen dem *selected*-Datensatz aus [11] mit dem *removed*-Datensatz. Zu sehen sind die X_{\max} -Histogramme der Energieintervalle von $10^{18,4} \text{ eV} - 10^{19,0} \text{ eV}$. Auf der jeweils linken Seite sind die beiden Histogramme des *selected*-Datensatzes und des *removed*-Datensatzes einzeln zu sehen. Auf der jeweils rechten Seite sind die beiden Histogramme dann überlagert.

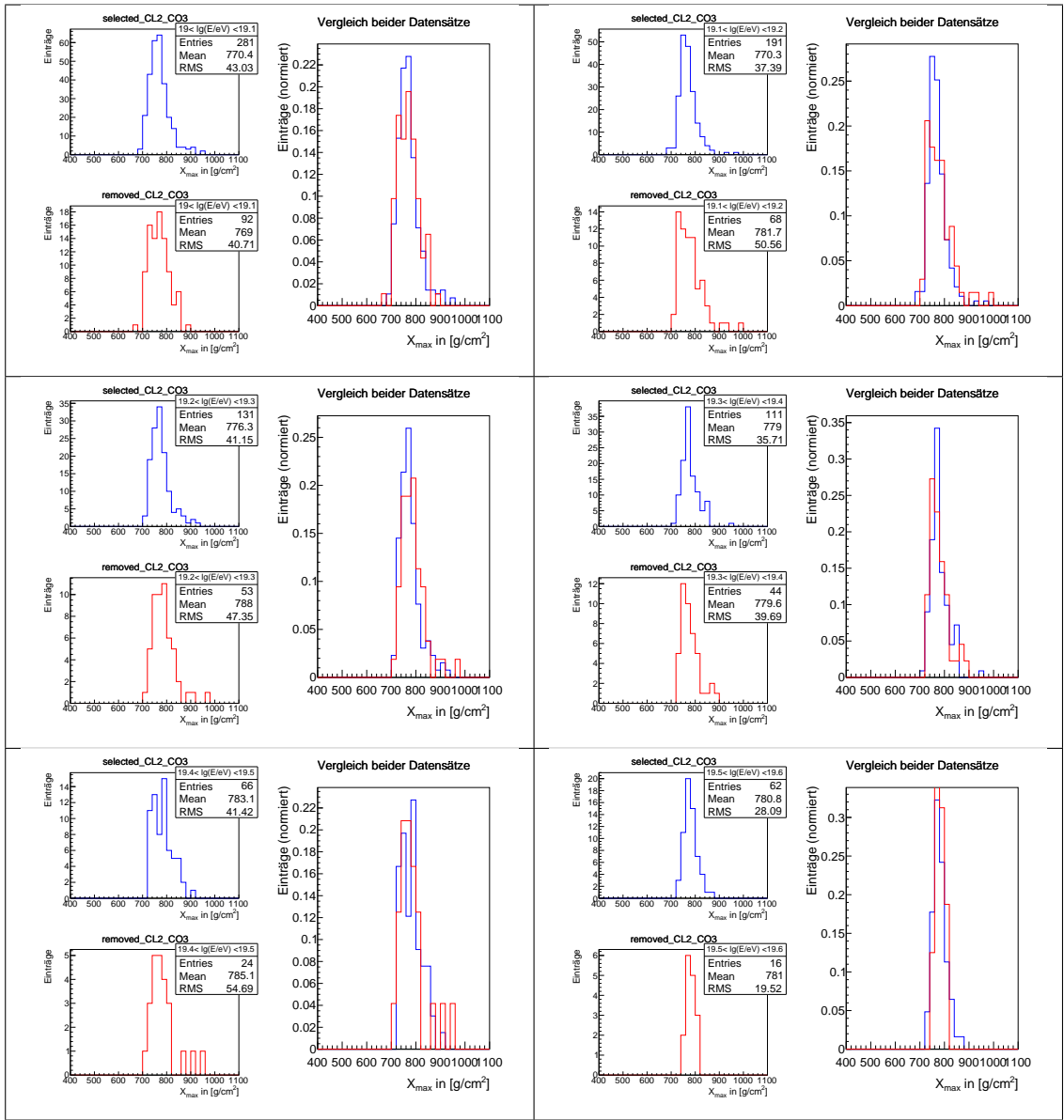


Abbildung A.4: Vergleich zwischen dem *selected*-Datensatz aus [11] mit dem *removed*-Datensatz. Zu sehen sind die X_{\max} -Histogramme der Energieintervalle mit einer Energie größer als $10^{19.0}$ eV. Auf der jeweils linken Seite sind die beiden Histogramme des *selected*-Datensatzes und des *removed*-Datensatzes einzeln zu sehen. Auf der jeweils rechten Seite sind die beiden Histogramme dann überlagert.

B. Programmcode

Dies ist der Code, der verwendet wurde, um die nötigen Informationen zu den Teilchenschauern aus den Augen-Datenbanken zu ziehen.

```
1 //=====
2 ===== File: Dateneextraktion.cc
3 =====
4 Author: Marcus Niechiol und
5 Silas Rodekamp
6
7 Usage: analysis -c [config file]
8 =====
9 =====
10 =====
11 #include <vector>
12 #include <string>
13 #include <iostream>
14 #include <map>
15
16 #include "ConfigFile.h"
17
18 #include <FdCloudCameraData.h>
19 #include <DetectorGeometry.h>
20 #include <RecEvent.h>
21 #include <RecEventFile.h>
22 #include <FdRecShower.h>
23 #include <DEvent.h>
24 #include <FdRecLevel.h>
25 #include <fileInfo.h>
26
27 #include <TF1.h>
28 #include <TTree.h>
29
30 using namespace std;
31
32 =====
33 Declaration of variables and functions
34 =====
35 =====
36 string gConfigFileName, gOutputFileName;
37
38 vector<string> inputFileName;
39
40 int SDID;
41 int counterTotal(0), counterGood(0), TelID;
42
43 double gEHybrid, gXmax;
44 vector<int> pixel_vec;
45
46 bool hasLL, hasLM, hasLA, hasCO; // Los Leones, ...
47 int gpssecondCD, gpssecondDA, gpssecondLL, gpssecondLM;
48
49 double gXmaxCD, gXmaxLA, gXmaxLM, gXmaxLL;
50 double gHybridCO, gHybridLA, gHybridLM, gHybridLL;
51 double gHybridCOError, gHybridLAError, gHybridLMError, gHybridLLError;
52 double gXmaxCOError, gXmaxLAError, gXmaxLMError, gXmaxLLError;
53
54 vector<int> activemirrorLL, activemirrorLM, activemirrorLA, activemirrorCO;
55 vector<int> pixelTel1LL, pixelTel2LL, pixelTel3LL, pixelTel4LL, pixelTel5LL, ←
56 pixelTel6LL;
57 vector<int> pixelTel1LM, pixelTel2LM, pixelTel3LM, pixelTel4LM, pixelTel5LM, ←
58 pixelTel6LM;
59 vector<int> pixelTel1LA, pixelTel2LA, pixelTel3LA, pixelTel4LA, pixelTel5LA, ←
60 pixelTel6LA;
61 vector<int> pixelTel1CO, pixelTel2CO, pixelTel3CO, pixelTel4CO, pixelTel5CO, ←
62 pixelTel6CO;
63
64
65
66
67
68
69 Main function
70 =====
71
72 int main(int argc, char **argv)
73 {
74     const int nOptions = getOptions(argc, argv);
75     ConfigFile config(gConfigFileName.c_str());
76     string gInputListFileName;
77     config.readInto(gInputListFileName, "InputListFileName");
78     string line;
79     ifstream inputStream(gInputListFileName.c_str());
80     while(!inputStream.eof())
81     {
82         getline(inputStream, line);
83         inputFileName.push_back(line);
84     }
85     inputStream.close();
86
87     RecEventFile inputFile(inputFileName);
88     RecEvent *theRecEvent = new RecEvent();
89     DetectorGeometry theGeo;
90     inputFile.ReadDetectorGeometry(theGeo);
91     FileInfo theInfo;
92     inputFile.ReadFileInfo(theInfo);
93     inputFile.SetBuffers(&theRecEvent);
94     config.readInto(gOutputFileName, "OutputFileName");
95
96     TFile *outputFile = new TFile(gOutputFileName.c_str(), "RECREATE");
97     TTree *tree = new TTree("Tree", "Tree");
98     tree->Branch("SDID", &SDID);
99     tree->Branch("HasLL", &hasLL); tree->Branch("HasLM", &hasLM);
100    tree->Branch("HasLA", &hasLA); tree->Branch("HasCO", &hasCO);
101    tree->Branch("gpssecondLL", &gpssecondLL); tree->Branch("gpssecondLM", &gpssecondLM);
102    tree->Branch("gpssecondDA", &gpssecondDA); tree->Branch("gpssecondCD", &gpssecondCD);
103    tree->Branch("gEHybridLL", &gEHybridLL); tree->Branch("gEHybridLM", &gEHybridLM);
104    tree->Branch("gEHybridLA", &gEHybridLA); tree->Branch("gEHybridCO", &gEHybridCO);
105    tree->Branch("gEHybridLLError", &gEHybridLLError);
106    tree->Branch("gEHybridLMError", &gEHybridLMError);
107    tree->Branch("gEHybridLAError", &gEHybridLAError);
108    tree->Branch("gEHybridCOError", &gEHybridCOError);
109    tree->Branch("gXmaxLL", &gXmaxLL); tree->Branch("gXmaxLM", &gXmaxLM);
110    tree->Branch("gXmaxDA", &gXmaxDA); tree->Branch("gXmaxCD", &gXmaxCD);
111    tree->Branch("gXmaxLLError", &gXmaxLLError);
112    tree->Branch("gXmaxDAError", &gXmaxDAError);
113    tree->Branch("gXmaxCOError", &gXmaxCOError);
114    tree->Branch("activemirrorLL", &activemirrorLL);
115    tree->Branch("activemirrorLM", &activemirrorLM);
116    tree->Branch("activemirrorLA", &activemirrorLA);
117    tree->Branch("activemirrorCO", &activemirrorCO);
118
119    // In these branches the pixelnumber of each active pixel of each telescope of ←
120    // each site is saved
121    tree->Branch("pixelTel1LL", &pixelTel1LL); tree->Branch("pixelTel2LL", &pixelTel2LL);
122    tree->Branch("pixelTel3LL", &pixelTel3LL); tree->Branch("pixelTel4LL", &pixelTel4LL);
123    tree->Branch("pixelTel5LL", &pixelTel5LL); tree->Branch("pixelTel6LL", &pixelTel6LL);
124    tree->Branch("pixelTel1LM", &pixelTel1LM); tree->Branch("pixelTel2LM", &pixelTel2LM);
125    tree->Branch("pixelTel3LM", &pixelTel3LM); tree->Branch("pixelTel4LM", &pixelTel4LM);
126    tree->Branch("pixelTel5LM", &pixelTel5LM); tree->Branch("pixelTel6LM", &pixelTel6LM);
127    tree->Branch("pixelTel1LA", &pixelTel1LA); tree->Branch("pixelTel2LA", &pixelTel2LA);
128    tree->Branch("pixelTel3LA", &pixelTel3LA); tree->Branch("pixelTel4LA", &pixelTel4LA);
129    tree->Branch("pixelTel5LA", &pixelTel5LA); tree->Branch("pixelTel6LA", &pixelTel6LA);
130    tree->Branch("pixelTel1CO", &pixelTel1CO); tree->Branch("pixelTel2CO", &pixelTel2CO);
131
132
133
134
135
136
137
138
139
140
141
142
143
144
145
146
147
148
149
150
151
152
153
154
155
156
157
158
159
160
161
162
163
164
165
166
167
168
169
170
171
172
173
174
175
176
177
178
179
180
181
182
183
184
185
186
187
188
189
190
191
192
193
194
195
196
197
198
199
200
201
202
203
204
205
206
207
208
209
210
211
212
213
214
215
216
217
218
219
220
221
222
223
224
225
226
227
228
229
230
231
232
233
234
235
236
237
238
239
240
241
242
243
244
245
246
247
248
249
250
251
252
253
```

1

2

```
129
130 tree->Branch("pixelTel3CO", &pixelTel3CO); tree->Branch("pixelTel4CO", &pixelTel4CO);
131 tree->Branch("pixelTel5CO", &pixelTel5CO); tree->Branch("pixelTel6CO", &pixelTel6CO);
132
133 while (inputFile.ReadNextEvent() == RecEventFile::eSuccess)
134 {
135     counterTotal++;
136     cout << endl << "=====" << endl;
137     cout << "Reading Event Number: " << counterTotal << " of " << endl;
138     cout << "Event ID: " << theRecEvent->GetSDEvent().GetEventId() << " YNMDD: " <<
139     << theRecEvent->GetYNMDD() << endl;
140     SDID = theRecEvent->GetSDEvent().GetEventId();
141
142 // Define the start/default values of each event
143 HasLL = false; HasLM = false; HasLA = false; HasCO = false;
144 gpssecondCD = -100; gpssecondLM = -100; gpssecondDA = -100; gpssecondCO = -100;
145 gEHybridLL = -100; gEHybridLM = -100; gEHybridDA = -100; gEHybridCO = -100;
146 gEHybridLLError = -100; gEHybridLMError = -100; gEHybridDAError = -100;
147 gEHybridLLError = -100; gEHybridLMError = -100; gEHybridDAError = -100;
148 gXmaxLL = -100; gXmaxLM = -100; gXmaxDA = -100; gXmaxCO = -100;
149 gXmaxLLError = -100; gXmaxLMError = -100; gXmaxDAError = -100; gXmaxCOError = -100;
150 vector<int> activemirrorstart(6,0);
151 activemirrorLL = activemirrorstart; activemirrorLM = activemirrorstart;
152 activemirrorLA = activemirrorstart; activemirrorCO = activemirrorstart;
153
154 pixelTel1LL.clear(); pixelTel2LL.clear();
155 pixelTel3LL.clear(); pixelTel4LL.clear();
156 pixelTel5LL.clear(); pixelTel6LL.clear();
157 pixelTel1LM.clear(); pixelTel2LM.clear();
158 pixelTel3LM.clear(); pixelTel4LM.clear();
159 pixelTel5LM.clear(); pixelTel6LM.clear();
160 pixelTel1LA.clear(); pixelTel2LA.clear();
161 pixelTel3LA.clear(); pixelTel4LA.clear();
162 pixelTel5LA.clear(); pixelTel6LA.clear();
163 pixelTel1CO.clear(); pixelTel2CO.clear();
164 pixelTel3CO.clear(); pixelTel4CO.clear();
165 pixelTel5CO.clear(); pixelTel6CO.clear();
166
167 vector<FDEvent> FDEvents = theRecEvent->GetFDEvents();
168
169 for(int i=0; i< FDEvents.size(); ++i) // loop over all active ←
170 sdes/Eyes / FD Stations
171 {
172     int EyeID = FDEvents.at(i).GetEyeId();
173     if(EyeID == 1)
174     {
175         HasLL = true; // Los Leones is ACTIVE
176         // get information about the shower
177         gpssecondCD = FDEvents.at(i).GetGPSSecond();
178         gEHybridLL = FDEvents.at(i).GetFdRecShower().GetEnergy();
179         gXmaxLL = FDEvents.at(i).GetFdRecShower().GetXmax();
180         gEHybridLLError = FDEvents.at(i).GetFdRecShower().GetEnergyError();
181         gXmaxLLError = FDEvents.at(i).GetFdRecShower().GetXmaxError();
182
183         // get the active pixelnumbers and convert them to the pixelnumber from 1-440
184         vector<UShort_t> pixelLL = FDEvents.at(i).GetFdRecPixel().GetID();
185         for (int k=0; k < pixelLL.size(); ++k)
186             if (FDEvents.at(i).GetFdRecPixel().GetStatus(k) == 4) // 4 is the ←
187             status for the triggered timepixels (colored in the EventBrowser)
188             {
189                 TelID = FDEvents.at(i).GetFdRecPixel().GetTelescopeId(k);
190                 if (TelID==1) ←
191                 {pixelTel1LL.push_back((pixelLL.at(k)+1)-(440*(TelID-1)));}
192                 if (TelID==2) ←
193                 {pixelTel2LL.push_back((pixelLL.at(k)+1)-(440*(TelID-1));}
194                 if (TelID==3) ←
195                 {pixelTel3LL.push_back((pixelLL.at(k)+1)-(440*(TelID-1));}
196                 if (TelID==4) ←
197                 {pixelTel4LL.push_back((pixelLL.at(k)+1)-(440*(TelID-1));}
198                 if (TelID==5) ←
199                 {pixelTel5LL.push_back((pixelLL.at(k)+1)-(440*(TelID-1));}
200                 if (TelID==6) ←
201                 {pixelTel6LL.push_back((pixelLL.at(k)+1)-(440*(TelID-1));}
202
203
204
205
206
207
208
209
210
211
212
213
214
215
216
217
218
219
220
221
222
223
224
225
226
227
228
229
230
231
232
233
234
235
236
237
238
239
240
241
242
243
244
245
246
247
248
249
250
251
252
253
```

3

```
63
64     int getOptions(int argc, char** argv);
65     void setIntVectorsToDefault (vector<int> defaultvec, vector<int> &v1, vector<int> &v2,
66     vector<int> &v3, vector<int> &v4, vector<int> &v5, vector<int> &v6);
67
68 //=====
69 Main function
70 =====
71
72 int main(int argc, char **argv)
73 {
74     const int nOptions = getOptions(argc, argv);
75     ConfigFile config(gConfigFileName.c_str());
76     string gInputListFileName;
77     config.readInto(gInputListFileName, "InputListFileName");
78     string line;
79     ifstream inputStream(gInputListFileName.c_str());
80     while(!inputStream.eof())
81     {
82         getline(inputStream, line);
83         inputFileName.push_back(line);
84     }
85     inputStream.close();
86
87     RecEventFile inputFile(inputFileName);
88     RecEvent *theRecEvent = new RecEvent();
89     DetectorGeometry theGeo;
90     inputFile.ReadDetectorGeometry(theGeo);
91     FileInfo theInfo;
92     inputFile.ReadFileInfo(theInfo);
93     inputFile.SetBuffers(&theRecEvent);
94     config.readInto(gOutputFileName, "OutputFileName");
95
96     TFile *outputFile = new TFile(gOutputFileName.c_str(), "RECREATE");
97     TTree *tree = new TTree("Tree", "Tree");
98     tree->Branch("SDID", &SDID);
99     tree->Branch("HasLL", &hasLL); tree->Branch("HasLM", &hasLM);
100    tree->Branch("HasLA", &hasLA); tree->Branch("HasCO", &hasCO);
101    tree->Branch("gpssecondLL", &gpssecondLL); tree->Branch("gpssecondLM", &gpssecondLM);
102    tree->Branch("gpssecondDA", &gpssecondDA); tree->Branch("gpssecondCD", &gpssecondCD);
103    tree->Branch("gEHybridLL", &gEHybridLL); tree->Branch("gEHybridLM", &gEHybridLM);
104    tree->Branch("gEHybridLA", &gEHybridLA); tree->Branch("gEHybridCO", &gEHybridCO);
105    tree->Branch("gEHybridLLError", &gEHybridLLError);
106    tree->Branch("gEHybridLMError", &gEHybridLMError);
107    tree->Branch("gEHybridLAError", &gEHybridLAError);
108    tree->Branch("gEHybridCOError", &gEHybridCOError);
109    tree->Branch("gXmaxLL", &gXmaxLL); tree->Branch("gXmaxLM", &gXmaxLM);
110    tree->Branch("gXmaxDA", &gXmaxDA); tree->Branch("gXmaxCD", &gXmaxCD);
111    tree->Branch("gXmaxLLError", &gXmaxLLError);
112    tree->Branch("gXmaxDAError", &gXmaxDAError);
113    tree->Branch("gXmaxCOError", &gXmaxCOError);
114    tree->Branch("activemirrorLL", &activemirrorLL);
115    tree->Branch("activemirrorLM", &activemirrorLM);
116    tree->Branch("activemirrorLA", &activemirrorLA);
117    tree->Branch("activemirrorCO", &activemirrorCO);
118
119    // In these branches the pixelnumber of each active pixel of each telescope of ←
120    // each site is saved
121    tree->Branch("pixelTel1LL", &pixelTel1LL); tree->Branch("pixelTel2LL", &pixelTel2LL);
122    tree->Branch("pixelTel3LL", &pixelTel3LL); tree->Branch("pixelTel4LL", &pixelTel4LL);
123    tree->Branch("pixelTel5LL", &pixelTel5LL); tree->Branch("pixelTel6LL", &pixelTel6LL);
124    tree->Branch("pixelTel1LM", &pixelTel1LM); tree->Branch("pixelTel2LM", &pixelTel2LM);
125    tree->Branch("pixelTel3LM", &pixelTel3LM); tree->Branch("pixelTel4LM", &pixelTel4LM);
126    tree->Branch("pixelTel5LM", &pixelTel5LM); tree->Branch("pixelTel6LM", &pixelTel6LM);
127    tree->Branch("pixelTel1LA", &pixelTel1LA); tree->Branch("pixelTel2LA", &pixelTel2LA);
128    tree->Branch("pixelTel3LA", &pixelTel3LA); tree->Branch("pixelTel4LA", &pixelTel4LA);
129    tree->Branch("pixelTel5LA", &pixelTel5LA); tree->Branch("pixelTel6LA", &pixelTel6LA);
130    tree->Branch("pixelTel1CO", &pixelTel1CO); tree->Branch("pixelTel2CO", &pixelTel2CO);
131
132
133
134
135
136
137
138
139
140
141
142
143
144
145
146
147
148
149
150
151
152
153
154
155
156
157
158
159
160
161
162
163
164
165
166
167
168
169
170
171
172
173
174
175
176
177
178
179
180
181
182
183
184
185
186
187
188
189
190
191
192
193
194
195
196
197
198
199
200
201
202
203
204
205
206
207
208
209
209
210
211
212
213
214
215
216
217
218
219
220
221
222
223
224
225
226
227
228
229
230
231
232
233
234
235
236
237
238
239
240
241
242
243
244
245
246
247
248
249
250
251
252
253
```

4

```

254     if ( FDEvents.at(i).GetFdRecPixel().GetStatus(k) == 4 ) {
255         TelID = FDEvents.at(i).GetFdRecPixel().GetTelescopeId(k);
256         if (TelID == 1) {pixelTel1CO.push_back((pixelCO.at(k)+1)-(440*(TelID-1)));}
257         if (TelID == 2) {pixelTel2CO.push_back((pixelCO.at(k)+1)-(440*(TelID-1)));}
258         if (TelID == 3) {pixelTel3CO.push_back((pixelCO.at(k)+1)-(440*(TelID-1)));}
259         if (TelID == 4) {pixelTel4CO.push_back((pixelCO.at(k)+1)-(440*(TelID-1)));}
260         if (TelID == 5) {pixelTel5CO.push_back((pixelCO.at(k)+1)-(440*(TelID-1)));}
261         if (TelID == 6) {pixelTel6CO.push_back((pixelCO.at(k)+1)-(440*(TelID-1)));}
262     }
263 }
264
265 createActiveMirrorVec (activemirrorCD, pixelTel1CO, pixelTel2CO, pixelTel3CO, ←
266 pixelTel4CO, pixelTel5CO, pixelTel6CO);
267
268 // Set all the default values if a site/telescope is not active
269 vector<int> activemirrordefault (6,-100);
270 if (activemirrorLL == activemirrortstart)(activemirrorLL = activemirrordefault);
271 if (activemirrorLM == activemirrortstart)(activemirrorLM = activemirrordefault);
272 if (activemirrorLA == activemirrortstart)(activemirrorLA = activemirrordefault);
273 if (activemirrorCO == activemirrortstart)(activemirrorCO = activemirrordefault);
274
275 vector<int> pixelteldefault (1,-100); // Set vectors to default if they are empty
276 setIntVectorsToDefault(pixelteldefault, pixelTel1LL, pixelTel2LL, pixelTel3LL, ←
277 pixelTel4LL, pixelTel5LL, pixelTel6LL);
278 setIntVectorsToDefault(pixelteldefault, pixelTel1LM, pixelTel2LM, pixelTel3LM, ←
279 pixelTel4LM, pixelTel5LM, pixelTel6LM);
280 setIntVectorsToDefault(pixelteldefault, pixelTel1LA, pixelTel2LM, pixelTel3LM, ←
281 pixelTel4LM, pixelTel5LA, pixelTel6LA);
282 setIntVectorsToDefault(pixelteldefault, pixelTel1CO, pixelTel2CO, pixelTel3CO, ←
283 pixelTel4CO, pixelTel5CO, pixelTel6CO);
284
285 counterGood++;
286 tree->Fill();
287 } // the program starts reading the next event
288
289 inputFile.Close();
290
291 cout << endl;
292 cout << "*****" STATISTICS "*****" << endl;
293 cout << "*****" << endl << endl;
294 cout << "Total Number of Events in Input File: " << inputFile.GetNEvents() << endl;
295 cout << "Total Number of Events read: " << counterTotal << endl;
296 cout << "Good Events: " << counterGood << endl << endl;
297 cout << "*****" << endl << endl;
298
299 outputFile->cd();
300 tree->Write();
301 outputFile->Close();
302 return 0;
303 }
304
305 // ====== DEFINE FUNCTIONS ======
306
307 // Reads command line options
308 =====
309 int getOptions(int argc, char **argv)
310 {
311     int a;
312     while ((a = getopt(argc, argv, "c:h")) != -1) {
313         switch (a)
314         {
315             case 'c':
316                 gConfigFileName = string(optarg);
317                 cout << " use config file\n " << gConfigFileName << endl;
318                 break;
319             case 'h':
320                 return -2;
321             default:
322         }
323     }
324 }

```

5

```

318     return -2;
319 }
320 cout << endl;
321 return optind;
322 }
323
324 void setIntVectorsToDefault (vector<int> defaultvec, vector<int> &v1, vector<int> &v2, vector<int> &v3, vector<int> &v4, vector<int> &v5, vector<int> &v6)
325 {
326     if (v1.empty()) {v1 = defaultvec;} if (v2.empty()) {v2 = defaultvec;}
327     if (v3.empty()) {v3 = defaultvec;} if (v4.empty()) {v4 = defaultvec;}
328     if (v5.empty()) {v5 = defaultvec;} if (v6.empty()) {v6 = defaultvec;}
329 }
330
331
332 void createActiveMirrorVec (vector<int> &activemirror, vector<int> &v1, vector<int> &v2, vector<int> &v3, vector<int> &v4, vector<int> &v5, vector<int> &v6)
333 {
334     if (!v1.empty()) {activemirror.at(0) = 1;} if (!v2.empty()) {activemirror.at(1) = 1;}
335     if (!v3.empty()) {activemirror.at(2) = 1;} if (!v4.empty()) {activemirror.at(3) = 1;}
336     if (!v5.empty()) {activemirror.at(4) = 1;} if (!v6.empty()) {activemirror.at(5) = 1;}
337     // if there is an entry (here a pixelnumber) in the vector, then the mirror is active
338 }

```

6

Dieses Programm schreibt die Wolkeninformationen zu den aktiven Pixeln aus der Wolkendatenbank heraus.

```

1 #include <iomanip>
2 #include <sstream>
3 using namespace std;
4
5 #include <evt/Event.h>
6 using namespace evt;
7
8 #include <det/Detector.h>
9 using namespace det;
10
11 #include <fdet/FDetector.h>
12 #include <fdet/Eye.h>
13 #include <fdet/Telescope.h>
14 #include <fdet/Pixel.h>
15 using namespace fdet;
16
17 #include <util/ErrorLogger.h>
18 #include <util/TimeStamp.h>
19 using namespace util;
20
21 #include "ReadCloud.h"
22 using namespace ReadCloudNS;
23 using namespace fwk;
24
25 #include <TFile.h>
26 #include <TTree.h>
27 #include <vector>
28 #include <string>
29 #include <iostream>
30
31 ReadCloud::ReadCloud()
32 {
33 }
34
35
36 ReadCloud::~ReadCloud()
37 {
38 }
39
40
41 VModule::ResultFlag
42 ReadCloud::Init()
43 {
44     INFO("ReadCloud::Init()");
45     return eSuccess;
46 }
47
48
49 VModule::ResultFlag
50 ReadCloud::Run(evt::Event& /*event*/)
51 {
52     INFO("ReadCloud::Run()");
53
54     // Initialize variables
55
56     bool HasLL , HasLM , HasLA , HasCO ; // Los Leones, ...
57     bool noPixel1status;
58
59     int gpssecondCO,gpssecondLA,gpssecondLL,gpssecondLM;
60
61     vector<int> *activemirrorLL = new vector<int>();
62     vector<int> *activemirrorLM = new vector<int>();
63     vector<int> *activemirrorLA = new vector<int>();
64     vector<int> *activemirrorCO = new vector<int>();
65
66     vector<int> *pixelTel1LL=new vector<int>();vector<int> *pixelTel2LL=new vector<int>();

```

7

```

67     vector<int> *pixelTel3LL=new vector<int>();vector<int> *pixelTel4LL=new vector<int>();
68     vector<int> *pixelTel5LL=new vector<int>();vector<int> *pixelTel6LL=new vector<int>();
69     vector<int> *pixelTel1LM=new vector<int>();vector<int> *pixelTel2LM=new vector<int>();
70     vector<int> *pixelTel3LM=new vector<int>();vector<int> *pixelTel4LM=new vector<int>();
71     vector<int> *pixelTel5LM=new vector<int>();vector<int> *pixelTel6LM=new vector<int>();
72     vector<int> *pixelTel1LA=new vector<int>();vector<int> *pixelTel2LA=new vector<int>();
73     vector<int> *pixelTel3LA=new vector<int>();vector<int> *pixelTel4LA=new vector<int>();
74     vector<int> *pixelTel5LA=new vector<int>();vector<int> *pixelTel6LA=new vector<int>();
75     vector<int> *pixelTel1CO=new vector<int>();vector<int> *pixelTel2CO=new vector<int>();
76     vector<int> *pixelTel3CO=new vector<int>();vector<int> *pixelTel4CO=new vector<int>();
77     vector<int> *pixelTel5CO=new vector<int>();vector<int> *pixelTel6CO=new vector<int>();
78
79 // define new variables
80 vector<double> cfcveragedefault (440,2);
81 vector<double> pixelfcTel1LL, pixelfcTel2LL, pixelfcTel3LL, pixelfcTel4LL, ←
82     pixelfcTel5LL, pixelfcTel6LL;
83 vector<double> pixelfcTel1LM, pixelfcTel2LM, pixelfcTel3LM, pixelfcTel4LM, ←
84     pixelfcTel5LM, pixelfcTel6LM;
85 vector<double> pixelfcTel1LA, pixelfcTel2LA, pixelfcTel3LA, pixelfcTel4LA, ←
86     pixelfcTel5LA, pixelfcTel6LA;
87 vector<double> pixelfcTel1CO, pixelfcTel2CO, pixelfcTel3CO, pixelfcTel4CO, ←
88     pixelfcTel5CO, pixelfcTel6CO;
89
90 int counterTotal(0),SdID;
91
92 // Read the input-root File (produced from analysis.cc)
93 TFile *file = new TFile("output.root", "UPDATE");
94 TTree *tree = (TTree*)file->Get("Tree");
95
96 if (!file || file->IsZombie()) //gives an error, If the root file can't be opened
97 {
98     cout << "---- The ROOT - file could not be opened! --- " << endl;
99     delete file;
100    return eFailure;
101 }
102
103 // Set branch addresses to use these data as the input for the cloud data extraction
104 tree->SetBranchAddress("SDID", &SDID );
105 tree->SetBranchAddress("HasLL", &HasLL);
106 tree->SetBranchAddress("HasLM", &HasLM);
107 tree->SetBranchAddress("HasLA", &HasLA);
108 tree->SetBranchAddress("HasCO", &HasCO);
109 tree->SetBranchAddress("gpssecondLL",&gpssecondLM);
110 tree->SetBranchAddress("gpssecondLA",&gpssecondLM);
111 tree->SetBranchAddress("gpssecondLA",&gpssecondCO);
112 tree->SetBranchAddress("gpssecondCO",&gpssecondCO);
113
114 tree->SetBranchAddress("activemirrorLL",&activemirrorLL);
115 tree->SetBranchAddress("activemirrorLM",&activemirrorLM);
116 tree->SetBranchAddress("activemirrorLA",&activemirrorLA);
117 tree->SetBranchAddress("activemirrorCO",&activemirrorCO);
118
119 tree->SetBranchAddress("pixelTel1LL",&pixelTel1LL);
120 tree->SetBranchAddress("pixelTel2LL",&pixelTel2LL);
121 tree->SetBranchAddress("pixelTel3LL",&pixelTel3LL);
122 tree->SetBranchAddress("pixelTel4LL",&pixelTel4LL);
123 tree->SetBranchAddress("pixelTel5LL",&pixelTel5LL);
124 tree->SetBranchAddress("pixelTel6LL",&pixelTel6LL);
125 tree->SetBranchAddress("pixelTel1LM",&pixelTel1LM);
126 tree->SetBranchAddress("pixelTel2LM",&pixelTel2LM);
127 tree->SetBranchAddress("pixelTel3LM",&pixelTel3LM);
128 tree->SetBranchAddress("pixelTel4LM",&pixelTel4LM);
129 tree->SetBranchAddress("pixelTel5LM",&pixelTel5LM);
130 tree->SetBranchAddress("pixelTel6LM",&pixelTel6LM);
131 tree->SetBranchAddress("pixelTel1LA",&pixelTel1LA);
132 tree->SetBranchAddress("pixelTel2LA",&pixelTel2LA);
133 tree->SetBranchAddress("pixelTel3LA",&pixelTel3LA);
134 tree->SetBranchAddress("pixelTel4LA",&pixelTel4LA);
135 tree->SetBranchAddress("pixelTel5LA",&pixelTel5LA);
136 tree->SetBranchAddress("pixelTel6LA",&pixelTel6LA);
137 tree->SetBranchAddress("pixelTel1CO",&pixelTel1CO);
138 tree->SetBranchAddress("pixelTel2CO",&pixelTel2CO);

```

8

```

132 tree->SetBranchAddress("pixelTel3CO", &pixelTel3CO);
133 tree->SetBranchAddress("pixelTel4CO", &pixelTel4CO);
134 tree->SetBranchAddress("pixelTel5CO", &pixelTel5CO);
135 tree->SetBranchAddress("pixelTel6CO", &pixelTel6CO);
136
137 // each vector has 440 entries (the cloud fraction for each pixel)
138 TBranch *pcfTel1LL = tree->Branch("pixelcfTel1LL", &pixelcfTel1LL );
139 TBranch *pcfTel2LL = tree->Branch("pixelcfTel2LL", &pixelcfTel2LL );
140 TBranch *pcfTel3LL = tree->Branch("pixelcfTel3LL", &pixelcfTel3LL );
141 TBranch *pcfTel4LL = tree->Branch("pixelcfTel4LL", &pixelcfTel4LL );
142 TBranch *pcfTel5LL = tree->Branch("pixelcfTel5LL", &pixelcfTel5LL );
143 TBranch *pcfTel6LL = tree->Branch("pixelcfTel6LL", &pixelcfTel6LL );
144 TBranch *pcfTel1LM = tree->Branch("pixelcfTel1LM", &pixelcfTel1LM );
145 TBranch *pcfTel2LM = tree->Branch("pixelcfTel2LM", &pixelcfTel2LM );
146 TBranch *pcfTel3LM = tree->Branch("pixelcfTel3LM", &pixelcfTel3LM );
147 TBranch *pcfTel4LM = tree->Branch("pixelcfTel4LM", &pixelcfTel4LM );
148 TBranch *pcfTel5LM = tree->Branch("pixelcfTel5LM", &pixelcfTel5LM );
149 TBranch *pcfTel6LM = tree->Branch("pixelcfTel6LM", &pixelcfTel6LM );
150 TBranch *pcfTel1LA = tree->Branch("pixelcfTel1LA", &pixelcfTel1LA );
151 TBranch *pcfTel2LA = tree->Branch("pixelcfTel2LA", &pixelcfTel2LA );
152 TBranch *pcfTel3LA = tree->Branch("pixelcfTel3LA", &pixelcfTel3LA );
153 TBranch *pcfTel4LA = tree->Branch("pixelcfTel4LA", &pixelcfTel4LA );
154 TBranch *pcfTel5LA = tree->Branch("pixelcfTel5LA", &pixelcfTel5LA );
155 TBranch *pcfTel6LA = tree->Branch("pixelcfTel6LA", &pixelcfTel6LA );
156 TBranch *pcfTel1CO = tree->Branch("pixelcfTel1CO", &pixelcfTel1CO );
157 TBranch *pcfTel2CO = tree->Branch("pixelcfTel2CO", &pixelcfTel2CO );
158 TBranch *pcfTel3CO = tree->Branch("pixelcfTel3CO", &pixelcfTel3CO );
159 TBranch *pcfTel4CO = tree->Branch("pixelcfTel4CO", &pixelcfTel4CO );
160 TBranch *pcfTel5CO = tree->Branch("pixelcfTel5CO", &pixelcfTel5CO );
161 TBranch *pcfTel6CO = tree->Branch("pixelcfTel6CO", &pixelcfTel6CO );
162
163 int nentries = tree->GetEntries();
164
165 try {
166     // loop over all events
167     for(int i=0; i<nentries; ++i) {
168         counterTotal++;
169         cout << "\nReading event " << (i+1) << " of " << nentries ;
170         tree->GetEntry(i);
171         cout << " : Event-SDID: " << SDID << " .... " << endl; ;
172
173     //define a vector<vector> containing the data for all telescopes for easier <-
174     //data handling & fill them with the vectors of active pixels
175     vector<vector<int>> pixelTelLL;
176     pixelTelLL.push_back(*pixelTel1LL); pixelTelLL.push_back(*pixelTel2LL);
177     pixelTelLL.push_back(*pixelTel3LL); pixelTelLL.push_back(*pixelTel4LL);
178     pixelTelLL.push_back(*pixelTel5LL); pixelTelLL.push_back(*pixelTel6LL);
179     vector<vector<int>> pixelTelLM;
180     pixelTelLM.push_back(*pixelTel1LM); pixelTelLM.push_back(*pixelTel2LM);
181     pixelTelLM.push_back(*pixelTel3LM); pixelTelLM.push_back(*pixelTel4LM);
182     pixelTelLM.push_back(*pixelTel5LM); pixelTelLM.push_back(*pixelTel6LM);
183     vector<vector<int>> pixelTelLA;
184     pixelTelLA.push_back(*pixelTel1LA); pixelTelLA.push_back(*pixelTel2LA);
185     pixelTelLA.push_back(*pixelTel3LA); pixelTelLA.push_back(*pixelTel4LA);
186     pixelTelLA.push_back(*pixelTel5LA); pixelTelLA.push_back(*pixelTel6LA);
187     vector<vector<int>> pixelTelCO;
188     pixelTelCO.push_back(*pixelTel1CO); pixelTelCO.push_back(*pixelTel2CO);
189     pixelTelCO.push_back(*pixelTel3CO); pixelTelCO.push_back(*pixelTel4CO);
190     pixelTelCO.push_back(*pixelTel5CO); pixelTelCO.push_back(*pixelTel6CO);
191
192     pixelcfTel1LL.clear(); pixelcfTel2LL.clear(); pixelcfTel3LL.clear();
193     pixelcfTel4LL.clear(); pixelcfTel5LL.clear(); pixelcfTel6LL.clear();
194     pixelcfTel1LM.clear(); pixelcfTel2LM.clear(); pixelcfTel3LM.clear();
195     pixelcfTel4LM.clear(); pixelcfTel5LM.clear(); pixelcfTel6LM.clear();
196     pixelcfTel1LA.clear(); pixelcfTel2LA.clear(); pixelcfTel3LA.clear();
197     pixelcfTel4LA.clear(); pixelcfTel5LA.clear(); pixelcfTel6LA.clear();
198     pixelcfTel1CO.clear(); pixelcfTel2CO.clear(); pixelcfTel3CO.clear();
199     pixelcfTel4CO.clear(); pixelcfTel5CO.clear(); pixelcfTel6CO.clear();

```

9

```

200
201     if (HasLL == 1) { 
202         int EyeID = 1;
203         Detector& det = Detector::GetInstance();
204         TimeStamp time(gpsssecondLL);
205         det.Update(time); // Set detector time to the gpsssecondLL
206         const Eye& eye = det.GetFDetector().GetEye(EyeID);
207
208         for (unsigned int l=0 ; l< activemirrorLL->size(); ++l) {
209             if (!activemirrorLL->at(l) ) // we only need the data from the mirror used, <-
210             // activemirrorLL looks e.g. { 0,0,1,1,0,0 }
211             {
212                 noPixelStatus = false;
213                 for (unsigned int m = 1; m < 441; ++m) {
214                     float coverage = 0;
215                     const Pixel& pixel = eye.GetTelescope(l+1).GetPixel(m);
216                     if ( ! pixel.HasCloudFraction() ) { // gives an error, if cloud fraction <-
217                         noPixelStatus = true;
218                     }
219                 }
220             }
221             else {
222                 coverage = pixel.GetCloudFraction();
223                 if (l==0) {pixelcfTel1LL.push_back(coverage);}
224                 if (l==1) {pixelcfTel2LL.push_back(coverage);}
225                 if (l==2) {pixelcfTel3LL.push_back(coverage);}
226                 if (l==3) {pixelcfTel4LL.push_back(coverage);}
227                 if (l==4) {pixelcfTel5LL.push_back(coverage);}
228                 if (l==5) {pixelcfTel6LL.push_back(coverage);}
229             }
230         }
231         if (noPixelStatus == true) {
232             if (l==0) {pixelcfTel1LL = cfcoveragedefault;}
233             if (l==1) {pixelcfTel2LL = cfcoveragedefault;}
234             if (l==2) {pixelcfTel3LL = cfcoveragedefault;}
235             if (l==3) {pixelcfTel4LL = cfcoveragedefault;}
236             if (l==4) {pixelcfTel5LL = cfcoveragedefault;}
237             if (l==5) {pixelcfTel6LL = cfcoveragedefault;}
238         }
239     } // end of the "activeMirror" loop
240 } // end of the mirror loop
241 } // end of the SiteLL-loop, same process for the other sites
242
243     if (HasLM == 1) {
244         int EyeID = 2;
245         Detector& det = Detector::GetInstance();
246         TimeStamp time(gpsssecondLM);
247         det.Update(time); // Set detector time to the gpsssecondLM
248         const Eye& eye = det.GetFDetector().GetEye(EyeID);
249         for (unsigned int l=0 ; l< activemirrorLM->size(); ++l) {
250             if (!activemirrorLM->at(l) ) {
251                 noPixelStatus = false;
252                 for (unsigned int m = 1; m < 441; ++m){
253                     float coverage = 0;
254                     const Pixel& pixel = eye.GetTelescope(l+1).GetPixel(m);
255                     if ( ! pixel.HasCloudFraction() ) {
256                         noPixelStatus = true;
257                     }
258                     ostringstream err;
259                     err << " no cloud fraction for pixel " << pixel.GetId() << " eye: " << <-
260                     pixel.GetEyeId() << " tel:" << pixel.GetTelescopeId();
261                     ERROR(err.str()); noPixelStatus = true;
262                 }
263             }
264             else {
265                 coverage = pixel.GetCloudFraction();
266                 if (l==0) {pixelcfTel1LM.push_back(coverage);}
267                 if (l==1) {pixelcfTel2LM.push_back(coverage);}
268             }
269         }
270     } // end of the "activeMirror" loop
271 } // end of the mirror loop
272 } // end of the SiteLM-loop, same process for the other sites
273
274     if (HasLA == 1) {
275         int EyeID = 3;
276         Detector& det = Detector::GetInstance();
277         TimeStamp time(gpsssecondLA);
278         det.Update(time);
279         const Eye& eye = det.GetFDetector().GetEye(EyeID);
280         for (unsigned int l=0 ; l< activemirrorLA->size(); ++l) {
281             if (!activemirrorLA->at(l) ) {
282                 noPixelStatus = false;
283                 for (unsigned int m = 1; m < 441; ++m) {
284                     float coverage = 0;
285                     const Pixel& pixel = eye.GetTelescope(l+1).GetPixel(m);
286                     if ( ! pixel.HasCloudFraction() ) {
287                         noPixelStatus = true;
288                     }
289                 }
290             }
291             else {
292                 coverage = pixel.GetCloudFraction();
293                 if (l==0) {pixelcfTel1LA.push_back(coverage);}
294                 if (l==1) {pixelcfTel2LA.push_back(coverage);}
295                 if (l==2) {pixelcfTel3LA.push_back(coverage);}
296                 if (l==3) {pixelcfTel4LA.push_back(coverage);}
297                 if (l==4) {pixelcfTel5LA.push_back(coverage);}
298                 if (l==5) {pixelcfTel6LA.push_back(coverage);}
299             }
300         }
301         if (noPixelStatus == true){
302             if (l==0) {pixelcfTel1LA = cfcoveragedefault;}
303             if (l==1) {pixelcfTel2LA = cfcoveragedefault;}
304             if (l==2) {pixelcfTel3LA = cfcoveragedefault;}
305             if (l==3) {pixelcfTel4LA = cfcoveragedefault;}
306             if (l==4) {pixelcfTel5LA = cfcoveragedefault;}
307             if (l==5) {pixelcfTel6LA = cfcoveragedefault;}
308         }
309     }
310     if (noPixelStatus == true){
311         if (l==0) {pixelcfTel1LA = cfcoveragedefault;}
312         if (l==1) {pixelcfTel2LA = cfcoveragedefault;}
313         if (l==2) {pixelcfTel3LA = cfcoveragedefault;}
314         if (l==3) {pixelcfTel4LA = cfcoveragedefault;}
315         if (l==4) {pixelcfTel5LA = cfcoveragedefault;}
316         if (l==5) {pixelcfTel6LA = cfcoveragedefault;}
317     }
318 }
319 }
320
321     if (HasCO == 1) {
322         int EyeID = 4;
323         Detector& det = Detector::GetInstance();
324         TimeStamp time(gpsssecondCO);
325         det.Update(time);
326         const Eye& eye = det.GetFDetector().GetEye(EyeID);
327         for (unsigned int l=0 ; l< activemirrorCO->size(); ++l) {
328             if (!activemirrorCO->at(l) ) {
329                 noPixelStatus = false;
330                 for (unsigned int m = 1; m < 441; ++m) {
331
332
333             float coverage = 0;
334             const Pixel& pixel = eye.GetTelescope(l+1).GetPixel(m);
335             if ( ! pixel.HasCloudFraction() ) {
336                 noPixelStatus = true;
337             }
338             ostringstream err;
339             err << " no cloud fraction for pixel " << pixel.GetId() << " eye: " << <-
340             pixel.GetEyeId() << " tel:" << pixel.GetTelescopeId();
341             ERROR(err.str()); noPixelStatus = true;
342         }
343     }
344
345     // If the telescope is not used, set the default to -100
346     if (pixelcfTel1LL.empty()) {pixelcfTel1LL.push_back(-100);}
347     if (pixelcfTel2LL.empty()) {pixelcfTel2LL.push_back(-100);}
348     if (pixelcfTel3LL.empty()) {pixelcfTel3LL.push_back(-100);}
349     if (pixelcfTel4LL.empty()) {pixelcfTel4LL.push_back(-100);}
350     if (pixelcfTel5LL.empty()) {pixelcfTel5LL.push_back(-100);}
351     if (pixelcfTel6LL.empty()) {pixelcfTel6LL.push_back(-100);}
352     if (pixelcfTel1CO.empty()) {pixelcfTel1CO.push_back(-100);}
353     if (pixelcfTel2CO.empty()) {pixelcfTel2CO.push_back(-100);}
354     if (pixelcfTel3CO.empty()) {pixelcfTel3CO.push_back(-100);}
355     if (pixelcfTel4CO.empty()) {pixelcfTel4CO.push_back(-100);}
356     if (pixelcfTel5CO.empty()) {pixelcfTel5CO.push_back(-100);}
357     if (pixelcfTel6CO.empty()) {pixelcfTel6CO.push_back(-100);}
358
359     if (noPixelStatus == true) {
360         if (l==0) {pixelcfTel1CO = cfcoveragedefault;}
361         if (l==1) {pixelcfTel2CO = cfcoveragedefault;}
362         if (l==2) {pixelcfTel3CO = cfcoveragedefault;}
363         if (l==3) {pixelcfTel4CO = cfcoveragedefault;}
364         if (l==4) {pixelcfTel5CO = cfcoveragedefault;}
365         if (l==5) {pixelcfTel6CO = cfcoveragedefault;}
366     }
367
368     // Write necessary data in the new branches
369     pcfTel1LL->Fill(); pcfTel2LL->Fill(); pcfTel3LL->Fill();
370     pcfTel4LL->Fill(); pcfTel5LL->Fill(); pcfTel6LL->Fill();
371     pcfTel1LM->Fill(); pcfTel2LM->Fill(); pcfTel3LM->Fill();
372     pcfTel4LM->Fill(); pcfTel5LM->Fill(); pcfTel6LM->Fill();
373     pcfTel1LA->Fill(); pcfTel2LA->Fill(); pcfTel3LA->Fill();
374     pcfTel4LA->Fill(); pcfTel5LA->Fill(); pcfTel6LA->Fill();
375     pcfTel1CO->Fill(); pcfTel2CO->Fill(); pcfTel3CO->Fill();
376     pcfTel4CO->Fill(); pcfTel5CO->Fill(); pcfTel6CO->Fill();
377
378     // end of the event loop
379
380
381
382
383
384
385
386
387
388
389
390
391
392
393
394
395
396
397
398
399
400

```

10

```

265     if (l==2) {pixelcfTel3LM.push_back(coverage);}
266     if (l==3) {pixelcfTel4LM.push_back(coverage);}
267     if (l==4) {pixelcfTel5LM.push_back(coverage);}
268     if (l==5) {pixelcfTel6LM.push_back(coverage);}
269 }
270
271     if (noPixelStatus == true) {
272         if (l==0) {pixelcfTel1LM = cfcoveragedefault;}
273         if (l==1) {pixelcfTel2LM = cfcoveragedefault;}
274         if (l==2) {pixelcfTel3LM = cfcoveragedefault;}
275         if (l==3) {pixelcfTel4LM = cfcoveragedefault;}
276         if (l==4) {pixelcfTel5LM = cfcoveragedefault;}
277         if (l==5) {pixelcfTel6LM = cfcoveragedefault;}
278     }
279 }
280
281     if (HasLA == 1) {
282         int EyeID = 3;
283         Detector& det = Detector::GetInstance();
284         TimeStamp time(gpsssecondLA);
285         det.Update(time);
286         const Eye& eye = det.GetFDetector().GetEye(EyeID);
287         for (unsigned int l=0 ; l< activemirrorLA->size(); ++l) {
288             if (!activemirrorLA->at(l) ) {
289                 noPixelStatus = false;
290                 for (unsigned int m = 1; m < 441; ++m) {
291                     float coverage = 0;
292                     const Pixel& pixel = eye.GetTelescope(l+1).GetPixel(m);
293                     if ( ! pixel.HasCloudFraction() ) {
294                         noPixelStatus = true;
295                     }
296                 }
297             }
298             else {
299                 coverage = pixel.GetCloudFraction();
300                 if (l==0) {pixelcfTel1LA.push_back(coverage);}
301                 if (l==1) {pixelcfTel2LA.push_back(coverage);}
302                 if (l==2) {pixelcfTel3LA.push_back(coverage);}
303                 if (l==3) {pixelcfTel4LA.push_back(coverage);}
304                 if (l==4) {pixelcfTel5LA.push_back(coverage);}
305                 if (l==5) {pixelcfTel6LA.push_back(coverage);}
306             }
307         }
308         if (noPixelStatus == true){
309             if (l==0) {pixelcfTel1LA = cfcoveragedefault;}
310             if (l==1) {pixelcfTel2LA = cfcoveragedefault;}
311             if (l==2) {pixelcfTel3LA = cfcoveragedefault;}
312             if (l==3) {pixelcfTel4LA = cfcoveragedefault;}
313             if (l==4) {pixelcfTel5LA = cfcoveragedefault;}
314             if (l==5) {pixelcfTel6LA = cfcoveragedefault;}
315         }
316     }
317 }
318
319
320     if (HasCO == 1) {
321         int EyeID = 4;
322         Detector& det = Detector::GetInstance();
323         TimeStamp time(gpsssecondCO);
324         det.Update(time);
325         const Eye& eye = det.GetFDetector().GetEye(EyeID);
326         for (unsigned int l=0 ; l< activemirrorCO->size(); ++l) {
327             if (!activemirrorCO->at(l) ) {
328                 noPixelStatus = false;
329                 for (unsigned int m = 1; m < 441; ++m) {
330
331
332
333
334
335
336
337
338
339
340
341
342
343
344
345
346
347
348
349
350
351
352
353
354
355
356
357
358
359
360
361
362
363
364
365
366
367
368
369
370
371
372
373
374
375
376
377
378
379
380
381
382
383
384
385
386
387
388
389
390
391
392
393
394
395
396
397
398
399
400

```

11

12

```

401     file->cd();
402     tree->Write("", TObject::kOverwrite);
403     file->Close();
404 }
405
406 catch (const AugerException& e) {
407     ERROR(e.GetMessage());
408 }
409 return eSuccess;
410 }
411 VModule::ResultFlag
412 ReadCloud::Finish()
413 {
414     INFO("ReadCloud::Finish()");
415     return eSuccess;
416 }

```

Mit diesem Programm wurde die X_{\max} -Analyse gemacht. Das Ergebnis wird in zwei verschiedene Outputdateien geschrieben.

```

1  #include <vector>
2  #include <string>
3  #include <iostream>
4  #include <math.h>
5  #include <sstream>
6  #include <numeric>
7  #include <fstream>
8  #include <iomanip>
9
10 #include <TFile.h>
11 #include <TMath.h>
12 #include <Tree.h>
13 #include <Style.h>
14 #include <Canvas.h>
15 #include <TROOT.h>
16 #include <Latex.h>
17 #include <HID.h>
18 #include <GraphErrors.h>
19 #include <TRandom3.h>
20
21 using namespace std;
22
23 string ReadRootFile = "all"; // options: selected / removed / all
24 double Cloudlimitdefault = 2; // (Wolkenlimit)
25 int CutOrder = 3; // (Pixelauswahl) -1 = noCut , 0 timepixelaverage , 1 = first crown, 2 = second crown, 3 = all pixel average
26 int nuerfe = 10000; // higher number -> better error values
27 // Initialize functions
28 vector<vector<int>> FindNeighborPixel(vector<int> pixelVec, int order = 2);
29 bool CloudCut(vector<vector<int>> Pixelmatrix, vector<double> cloudfraction, int <-
30 defineCut = CutOrder , double Cloudlimit = Cloudlimitdefault);
31 bool HasToCutOutTheEvent(vector<vector<int>> Pixelmatrix, vector<int> mirror, <-
32 bool HasCloud, int CutOrder, vector<int> pT1, <-
33 vector<int> pT2, vector<int> pT3, vector<int> pT4, vector<int> pT5, <-
34 vector<double> pcfT1, vector<double> pcfT2, vector<double> pcfT3, <-
35 vector<double> pcfT4, vector<double> pcfT5, vector<double> pcfT6);
36 vector<double> CreateBinBoundaryVec();
37 // functions for the xmas-corrections
38 double GetWeightedAverage(vector<double> values, vector<double> errors);
39 double GetCorrectedXmax(double xmax, double ecal);
40 void GetMaxMoments(vector<double> xmaxvalues_input, vector<double> &mean, <-
41 logenergyvalues_input, vector<double> binboundaries, vector<double> &meanerr, <-
42 vector<double> &sigma, vector<double> &meanenergy, vector<int> &events);
43 void GetMaxMomentsUncertainties(vector<double> xmaxvalues_input, vector<double> <-
44 logenergyvalues_input, vector<double> binboundaries, vector<double> &meanerror, <-
45 vector<double> &sigmaerror);
46 double CalculateX1(double lgE);
47 double CalculateX2(double lgE);
48 double CalculateLambda1(double lgE);
49 double CalculateLambda2(double lgE);
50 double CalculateEta(double lambda_eta, double z0, double lambda);
51 double CalculateRisingEtaDepth(vector<double> xmaxValues, double eta);
52 double CalculateFallingEtaDepth(vector<double> xmaxValues, double eta);
53 double LambdaEtaLL(double lambda_eta, double x0, double lambda, double etaDepth, <-
54 bool rising, vector<double> xmaxValues);
55 double FitLambdaData(vector<double> x0, double lambda, double etaDepth, bool rising, <-
56 vector<double> xmaxValues);
57 double CalculateFDTotalResolutionICRC17(double lgE);
58 double RoundFixedPrecision(double value);
59 vector<double> GetMoments(vector<double> v);
60
61 void FillEnergyXmaxVecMono(vector<double> &EHybrid_vec, vector<double> <-
62 &LogHybrid_vec, vector<double> &xmax_vec, vector<string> &eventClass_vec, double <-
63 EHybrid, double Xmax );

```

13

14

```

54
55     vector<double> pushbackRecEnergyXmaxData(double EHybrid1, double EHybrid2, double <-
56 EHybrid1err, double EHybrid2err, double Xmax1, double Xmax2, double Xmax1err, <-
57 double Xmax2err,
58         double EHybrid3 = 0, double EHybrid3err = 0, double Xmax3 = <-
59 0, double Xmax3err = 0, double EHybrid4 = 0, double EHybrid4err = 0, double <-
60 Xmax4 = 0, double Xmax4err = 0);
61     void FillEnergyXmaxVec(int stgevent, vector<double> RecData, vector<double> <-
62 &energytemp, vector<double> &energyerrortemp, vector<double> &xmaxtemp, <-
63 vector<double> &xmaxerrortemp, vector<double> &EHybrid_vec, vector<double> <-
64 &LogHybrid_vec, vector<double> &Xmax_vec, vector<string> &eventClass_vec);
65
66 // Initialize variables
67 vector<vector<int>> Pixelmatrix;
68 vector<int> CutOutSites;
69 bool HasLL , HasL , HasLA , HasCO ; // Los Leones, ...
70 bool HasCloudLL, HasCloudM, HasCloudLA, HasCloudO;
71
72 int gpssecondC0,gpssecondL,gpssecondLM;
73 double EHybridDL, EHybridLM, EHybridLA, EHybridCO;
74 double EHybridLLError, EHybridLMError, EHybridLAError, EHybridCOError;
75 double XmaxLL, XmaxM, XmaxLA, XmaxCO;
76 double XmaxLLError, XmaxMSError, XmaxLAError, XmaxCOError;
77
78 vector<int> SDID_vec;
79 vector<double> EHybrid_vec, LogEHybrid_vec, Xmax_vec ;
80 vector<string> eventClass_vec;
81 vector<vector<double>> Xmax_vec_vec ;
82 vector<double> empty_vec;
83
84 vector<int> * activevmirrorLL = new vector<int>();
85 vector<int> * activevmirrorLM = new vector<int>();
86 vector<int> * activevmirrorLA = new vector<int>();
87 vector<int> * activevmirrorCO = new vector<int>();
88
89 vector<int> * pixelTel1LLL=new vector<int>();vector<int> * pixelTel12LL=new vector<int>();
90 vector<int> * pixelTel13LL=new vector<int>();vector<int> * pixelTel14LL=new vector<int>();
91 vector<int> * pixelTel15LL=new vector<int>();vector<int> * pixelTel16LL=new vector<int>();
92 vector<int> * pixelTel11LM=new vector<int>();vector<int> * pixelTel12LM=new vector<int>();
93 vector<int> * pixelTel13LM=new vector<int>();vector<int> * pixelTel14LM=new vector<int>();
94 vector<int> * pixelTel11LA=new vector<int>();vector<int> * pixelTel12LA=new vector<int>();
95 vector<int> * pixelTel13LA=new vector<int>();vector<int> * pixelTel14LA=new vector<int>();
96 vector<int> * pixelTel15LA=new vector<int>();vector<int> * pixelTel16LA=new vector<int>();
97 vector<int> * pixelTel11OL=new vector<int>();vector<int> * pixelTel12OL=new vector<int>();
98 vector<int> * pixelTel13OL=new vector<int>();vector<int> * pixelTel14OL=new vector<int>();
99 vector<int> * pixelTel15OL=new vector<int>();vector<int> * pixelTel16OL=new vector<int>();
100 vector<double> * pixelclcfTel1LL = new vector<double>();
101 vector<double> * pixelclcfTel1LM = new vector<double>();
102 vector<double> * pixelclcfTel1LA = new vector<double>();
103 vector<double> * pixelclcfTel1OL = new vector<double>();
104 vector<double> * pixelclcfTel11LM = new vector<double>();
105 vector<double> * pixelclcfTel12LM = new vector<double>();
106 vector<double> * pixelclcfTel13LM = new vector<double>();
107 vector<double> * pixelclcfTel14LM = new vector<double>();
108 vector<double> * pixelclcfTel15LM = new vector<double>();
109 vector<double> * pixelclcfTel16LM = new vector<double>();
110 vector<double> * pixelclcfTel11LA = new vector<double>();
111 vector<double> * pixelclcfTel12LA = new vector<double>();
112 vector<double> * pixelclcfTel13LA = new vector<double>();
113 vector<double> * pixelclcfTel14LA = new vector<double>();
114 vector<double> * pixelclcfTel15LA = new vector<double>();
115 vector<double> * pixelclcfTel16LA = new vector<double>();
116 vector<double> * pixelclcfTel11OL = new vector<double>();
117 vector<double> * pixelclcfTel12OL = new vector<double>();
118 vector<double> * pixelclcfTel13OL = new vector<double>();
119 vector<double> * pixelclcfTel14OL = new vector<double>();
120 vector<double> * pixelclcfTel15OL = new vector<double>();
121
122
123
124
125
126
127
128
129
130
131
132
133
134
135
136
137
138
139
140
141
142
143
144
145
146
147
148
149
150
151
152
153
154
155
156
157
158
159
160
161
162
163
164
165
166
167
168
169
170
171
172
173
174
175
176
177
178
179
180
181
182

```

```

116 vector<double> *pixelclcfTel4CO = new vector<double>();
117 vector<double> *pixelclcfTel5CO = new vector<double>();
118 vector<double> *pixelclcfTel6CO = new vector<double>();
119
120 int counterTotal(0),SDID;
121 string ReadFile;
122
123 int main() {
124     if (!ReadRootFile.compare("all")) ReadFile = "./Root-Files/outputallcd.root";
125     else if (!ReadRootFile.compare("selected")) ReadFile = <-
126         "./Root-Files/outputselectedcd.root";
127     else if (!ReadRootFile.compare("removed")) ReadFile = <-
128         "./Root-Files/outputremovedcd.root";
129     else cout << "Ungültige Eingabe (kein Root.File vorhanden)" << endl;
130     return 0;
131 }
132
133 ostringstream oss;
134 oss << ReadRootFile.c_str() << "_CL" << CloudLimitdefault << "_CO" << CutOrder;
135 string XmaxVecName = "XMaxVec_" + oss.str() + ".txt";
136 string XmaxResultsName = "XMaxRes_" + oss.str() + ".txt";
137
138 // Read the input-root File (produced from analysis.cc)
139 TFile *file = new TFile(ReadFile.c_str(), "READ");
140 TTree *tree = (TTree*)file->Get("Tree");
141
142 if (!file || file->IsZombie()) { //gives an error, If the root file can't be opened
143     cout << "---- The ROOT - file could not be opened! --- " << endl;
144     delete file;
145 }
146
147 // Set Branch Addresses to use these data as the input for the cloud data extraction
148 tree->SetBranchAddress("SDID", &SDID);
149 tree->SetBranchAddress("HasLL", &HasL);
150 tree->SetBranchAddress("HasM", &HasM);
151 tree->SetBranchAddress("HasLA", &HasLA);
152 tree->SetBranchAddress("HasCO", &HasCO);
153 tree->SetBranchAddress("gpssecondLL", &gpssecondLL);
154 tree->SetBranchAddress("gpssecondLM", &gpssecondLM);
155 tree->SetBranchAddress("gpssecondLA", &gpssecondLA);
156 tree->SetBranchAddress("gpssecondOL", &gpssecondOL);
157 tree->SetBranchAddress("EHybridDL", &EHybridDL);
158 tree->SetBranchAddress("EHybridLM", &EHybridLM);
159 tree->SetBranchAddress("EHybridLA", &EHybridLA);
160 tree->SetBranchAddress("EHybridCO", &EHybridCO);
161 tree->SetBranchAddress("gEHybridDO", &EHybridDO);
162 tree->SetBranchAddress("gEHybridLLError", &EHybridLLError);
163 tree->SetBranchAddress("gEHybridLMError", &EHybridLMError);
164 tree->SetBranchAddress("gEHybridLAError", &EHybridLAError);
165 tree->SetBranchAddress("gEHybridCOError", &EHybridCOError);
166 tree->SetBranchAddress("activevmirrorLL", &activevmirrorLL);
167 tree->SetBranchAddress("activevmirrorLM", &activevmirrorLM);
168 tree->SetBranchAddress("activevmirrorLA", &activevmirrorLA);
169 tree->SetBranchAddress("activevmirrorOL", &activevmirrorOL);
170 tree->SetBranchAddress("activevmirrorM", &activevmirrorM);
171 tree->SetBranchAddress("activevmirrorR", &activevmirrorR);
172 tree->SetBranchAddress("activevmirrorO", &activevmirrorO);
173 tree->SetBranchAddress("pixelTel11LL", &pixelTel11LL);
174 tree->SetBranchAddress("pixelTel12LL", &pixelTel12LL);
175 tree->SetBranchAddress("pixelTel13LL", &pixelTel13LL);
176 tree->SetBranchAddress("pixelTel14LL", &pixelTel14LL);
177 tree->SetBranchAddress("pixelTel15LL", &pixelTel15LL);
178 tree->SetBranchAddress("pixelTel16LL", &pixelTel16LL);
179 tree->SetBranchAddress("pixelTel11LM", &pixelTel11LM);
180 tree->SetBranchAddress("pixelTel12LM", &pixelTel12LM);
181 tree->SetBranchAddress("pixelTel13LM", &pixelTel13LM);
182 tree->SetBranchAddress("pixelTel14LM", &pixelTel14LM);

```

15

16


```

true --> Skip Site
391 if (k==1) {Pixelmatrix = FindNeighborPixel(pT2); HasCloud = ←
CloudCut(Pixelmatrix, pcfT2); if (HasCloud == true) break;}
392 if (k==2) {Pixelmatrix = FindNeighborPixel(pT3); HasCloud = ←
CloudCut(Pixelmatrix, pcfT3); if (HasCloud == true) break;}
393 if (k==3) {Pixelmatrix = FindNeighborPixel(pT4); HasCloud = ←
CloudCut(Pixelmatrix, pcfT4); if (HasCloud == true) break;}
394 if (k==4) {Pixelmatrix = FindNeighborPixel(pT5); HasCloud = ←
CloudCut(Pixelmatrix, pcfT5); if (HasCloud == true) break;}
395 if (k==5) {Pixelmatrix = FindNeighborPixel(pT6); HasCloud = ←
CloudCut(Pixelmatrix, pcfT6); if (HasCloud == true) break;}
396 }
397 return HasCloud;
398 }
399
400 void FillEnergyXmaxVecMono(vector<double> &EHybrid_vec, vector<double> ←
&logEHybrid_vec, vector<double> &Xmax_vec, vector<string> &eventClass_vec, double ←
EHybrid, double Xmax )
401 {
402     EHybrid_vec.push_back(EHybrid);
403     LogEHybrid_vec.push_back(TMath::Log10(EHybrid));
404     Xmax_vec.push_back(GetCorrectedXmax(Xmax, EHybrid));
405     eventClass_vec.push_back("");
406 }
407
408 bool CloudCut(vector<vector<int> > Pixelmatrix, vector<double> cloudfraction, int ←
defineCut, double Cloudlimit)
409 {
410     // if cloudcut gives an "yes" the event is cutted out
411     if (defineCut == -1 || Pixelmatrix.at(0).at(0) == -100)
412     {return false;}// No CloudCut
413     double averagecloudfraction = 0;
414     double sum = 0;
415     double npixel = 0;
416     if (defineCut == 3) {
417         for (int z=0; z < cloudfraction.size(); ++z) {
418             sum += cloudfraction.at(z);
419         }
420         averagecloudfraction = sum / cloudfraction.size();
421         npixel = cloudfraction.size();
422     }
423     if (defineCut == 0 || defineCut == 1 || defineCut == 2) {
424         for (int l = 0; l < defineCut; ++l) {
425             for (int z=0; z < Pixelmatrix.at(l).size(); ++z) {
426                 sum += cloudfraction.at(Pixelmatrix.at(l).at(z)-1);
427             }
428             npixel += Pixelmatrix.at(l).size();
429         }
430         averagecloudfraction = sum / npixel;
431     }
432     //if (averagecloudfraction == 2) return true;
433     //if (averagecloudfraction < 0.95) // normally ">" , but if you only want to ←
434     //observe Events with a special cloudfraction then use !=
435     if (averagecloudfraction > Cloudlimit)
436     {
437         return true;
438     }
439     else {return false;}
440 }
441
442 vector<double> pushbackRecEnergyXmaxData(double EHybrid1, double EHybrid2, double ←
EHybrid1err, double EHybrid2err, double Xmax1, double Xmax2, double Xmax1err, ←
double Xmax2err,
443     double EHybrid3, double EHybrid3err, double Xmax3, double ←
Xmax3err, double EHybrid4, double EHybrid4err, double Xmax4, double Xmax4err)
444 {
445     vector<double> RecData;
446     RecData.push_back(EHybrid1);

```

21

```

447     RecData.push_back(EHybrid2);
448     RecData.push_back(EHybrid1err);
449     RecData.push_back(EHybrid2err);
450     RecData.push_back(Xmax1);
451     RecData.push_back(Xmax2);
452     RecData.push_back(Xmax1err);
453     RecData.push_back(Xmax2err);
454     RecData.push_back(EHybrid3);
455     RecData.push_back(EHybrid3err);
456     RecData.push_back(Xmax3);
457     RecData.push_back(Xmax3err);
458     RecData.push_back(EHybrid4);
459     RecData.push_back(EHybrid4err);
460     RecData.push_back(Xmax4);
461     RecData.push_back(Xmax4err);
462 }
463
464 void FillEnergyXmaxVec(int stgevent, vector<double> RecData, vector<double> ←
&energytemp, vector<double> &xmaxerrortemp, vector<double> &xmaxtemp, ←
vector<double> &xmaxerrortemp, vector<double> &EHybrid_vec, vector<double> ←
&logEHybrid_vec, vector<double> &Xmax_vec, vector<string> &eventClass_vec)
465 {
466     energytemp.push_back(RecData.at(0));
467     energyyerrortemp.push_back(RecData.at(1));
468     energyyerrortemp.push_back(RecData.at(2));
469     energyyerrortemp.push_back(RecData.at(3));
470     xmaxtemp.push_back(RecData.at(4));
471     xmaxerrortemp.push_back(RecData.at(5));
472     xmaxerrortemp.push_back(RecData.at(6));
473     xmaxerrortemp.push_back(RecData.at(7));
474     if (stgevent > 3) {
475         energytemp.push_back(RecData.at(8));
476         energyyerrortemp.push_back(RecData.at(9));
477         xmaxtemp.push_back(RecData.at(10));
478         xmaxerrortemp.push_back(RecData.at(11));
479     }
480     if (stgevent == 4) {
481         energytemp.push_back(RecData.at(12));
482         energyyerrortemp.push_back(RecData.at(13));
483         xmaxtemp.push_back(RecData.at(14));
484         xmaxerrortemp.push_back(RecData.at(15));
485     }
486     EHybrid_vec.push_back(GetWeightedAverage(energytemp, energyyerrortemp));
487     LogEHybrid_vec.push_back(TMath::Log10( GetWeightedAverage( ←
488         energytemp, energyyerrortemp));
489     Xmax_vec.push_back(GetCorrectedXmax( ←
GetWeightedAverage(xmaxtemp, xmaxerrortemp), ←
GetWeightedAverage(energytemp, energyyerrortemp));
490     eventClass_vec.push_back(" --- STEREO EVENT");
491     energyytemp.clear();
492     energyyerrortemp.clear();
493     xmaxtemp.clear();
494     xmaxerrortemp.clear();
495 }
496
497 vector<vector<int> > FindNeighborPixel(vector<int> pixel_vec, int order)
498 {
499     vector<vector<int> > Pixelmatrix;
500     vector<int> empty_vec ;
501     vector<int> addpixel_vec;
502     Pixelmatrix.push_back(empty_vec);
503     Pixelmatrix.push_back(empty_vec);
504     Pixelmatrix.push_back(empty_vec);
505     Pixelmatrix.at(0) = pixel_vec;
506     int k=0;
507     while (k < order) {
508         addpixel_vec.clear();
509         for(int i=0; i < pixel_vec.size(); ++i) {

```

22

```

510     if (pixel_vec.at(i) % 22 == 0 ) { // oberer Rand
511         addpixel_vec.push_back(pixel_vec.at(i)+22);
512         addpixel_vec.push_back(pixel_vec.at(i)-22);
513         addpixel_vec.push_back(pixel_vec.at(i)-1);
514         if (pixel_vec.at(i) % 2 == 0 ) {
515             addpixel_vec.push_back(pixel_vec.at(i)-23);
516         }
517         else {
518             addpixel_vec.push_back(pixel_vec.at(i)+21);
519         }
520     }
521     else if ((pixel_vec.at(i)-1) % 22 == 0 ) { // unterer Rand
522         addpixel_vec.push_back(pixel_vec.at(i)+22);
523         addpixel_vec.push_back(pixel_vec.at(i)-22);
524         addpixel_vec.push_back(pixel_vec.at(i)+1);
525         if (pixel_vec.at(i) % 2 == 0 ) {
526             addpixel_vec.push_back(pixel_vec.at(i)-21);
527         }
528         else {
529             addpixel_vec.push_back(pixel_vec.at(i)+23);
530         }
531     }
532
533     else if (pixel_vec.at(i) % 2 == 0 ) { // if x is even
534         addpixel_vec.push_back(pixel_vec.at(i)+1);
535         addpixel_vec.push_back(pixel_vec.at(i)-1);
536         addpixel_vec.push_back(pixel_vec.at(i)+2);
537         addpixel_vec.push_back(pixel_vec.at(i)-22);
538         addpixel_vec.push_back(pixel_vec.at(i)-21);
539         addpixel_vec.push_back(pixel_vec.at(i)-23);
540     }
541     else if (((pixel_vec.at(i)+1) % 2 == 0) { // if x is odd
542         addpixel_vec.push_back(pixel_vec.at(i)+1);
543         addpixel_vec.push_back(pixel_vec.at(i)-1);
544         addpixel_vec.push_back(pixel_vec.at(i)+22);
545         addpixel_vec.push_back(pixel_vec.at(i)-22);
546         addpixel_vec.push_back(pixel_vec.at(i)+21);
547         addpixel_vec.push_back(pixel_vec.at(i)+23);
548     }
549 }
550
551 sort(addpixel_vec.begin(),addpixel_vec.end());
552     // sortiere die Eintraege in dem Vektor
553 addpixel_vec.erase( unique(addpixel_vec.begin(), addpixel_vec.end()), ←
addpixel_vec.end()); // loesche alle doppelten Eintraege aus dem Vektor ←
(vorher sortieren?!
554     int i = 0;
555     while ( i < addpixel_vec.size()) { // loesche alle Eintraege des Vektors ←
unterhalb von 1 und oberhalb von 440
556         if ((addpixel_vec.at(i) < 1) || (addpixel_vec.at(i) > 440)) {
557             addpixel_vec.erase(addpixel_vec.begin() + i);
558         }
559         else if (find(pixel_vec.begin(), pixel_vec.end(), addpixel_vec.at(i)) != ←
pixel_vec.end()) { // ueberprueft ob der i-te addpixel_vec Eintrag schon im ←
pixel_vec steht
560             addpixel_vec.erase(addpixel_vec.begin() + i);
561         }
562         else {++i;}
563     }
564
565     if (k == 0) { // erstelle die Vektoren, die alle Pixel um die ←
"Zeilapixel" in erster/ zweiter usw. Ordnung enthalten
566         Pixelmatrix.at(k+1).clear();
567         Pixelmatrix.at(k+1) = addpixel_vec;
568     }
569     else if (k == 1) {
570         Pixelmatrix.at(k+1).clear();
571         Pixelmatrix.at(k+1) = addpixel_vec;
572     }

```

23

```

573     Pixelmatrix.push_back(empty_vec);
574     sort(pixel_vec.begin(),pixel_vec.end());
575     sortiere die Eintraege in dem Vektor
576     pixel_vec.erase(unique(pixel_vec.begin(),pixel_vec.end()),pixel_vec.end());
577     // loesche alle doppelten Eintraege aus dem Vektor (vorher sortieren!?)
578     ++k;
579 }
580
581 return Pixelmatrix;
582
583 //=====
584 // Utility function to calculate weighted average of a
585 // vector of measurements
586 =====
587 double GetWeightedAverage(vector<double> values, vector<double> errors)
588 {
589     double sum = 0;
590     double weightsum = 0;
591     for(int i=0; i<values.size(); i++) {
592         double weight = 1/(errors.at(i)*errors.at(i));
593         sum += weight*values.at(i);
594         weightsum += weight;
595     }
596     return sum/weightsum;
597
598 //=====
599 // Function to correct a given Xmax value for the
600 // reconstruction bias
601 =====
602 double GetCorrectedXmax(double xmax, double ecal)
603 {
604     double z18 = TMath::Log10(ecal) - 18;
605     double mu = -3.4 + 0.93 * z18;
606     double lwCorrBias = 6.5 / (TMath::Exp((TMath::Log10(ecal)-18.23)/0.41) + 1. );
607     return xmax - lwCorrBias - mu;
608 }
609
610 //=====
611 // Main function to determine the first and second moments
612 // of the Imax distributions in given energy bins
613 =====
614
615 void GetXmaxMoments(vector<double> xmaxvalues_input, vector<double> ←
logenergyvalues_input, vector<double> binboundaries, vector<double> &meanenergy, ←
vector<double> &sigma, vector<double> &meanenergy, vector<int> &nevents)
616 {
617     int nbins = binboundaries.size();
618     vector<double> xmaxvalues[nbins];
619     double nUncorrected[nbins][3] = {0};
620     double xmaxSum[nbins][3] = {0};
622     double xmaxSum2[nbins][3] = {0};
623     double energySum[nbins] = {0};
624     for(int i=0; i<xmaxvalues_input.size(); i++) {
625         for (int j=0; j<nbins; j++) {
626             if ((binboundaries.at(j) < logenergyvalues_input.at(i) && ←
logenergyvalues_input.at(i) < binboundaries.at(j+1)) {
627                 xmaxvalues[j].push_back(xmaxvalues_input.at(i));
628                 energySum[j] += logenergyvalues_input.at(i);
629                 const double x1 = CalculateX1(logenergyvalues_input.at(i));
630                 const double x2 = CalculateX2(logenergyvalues_input.at(i));
631                 if(xmaxvalues_input.at(i) < x1) {
632                     nUncorrected[j][0]++;
633                 }
634             else if(x1 <= xmaxvalues_input.at(i) && xmaxvalues_input.at(i) < x2) {

```

24

```

635     nUncorrected[j][1]++;
636     xmaxSum[j][1] += xmaxvalues_input.at(i);
637     xmaxSum2[j][1] += pow(xmaxvalues_input.at(i), 2);
638 }
639 else {
640     nUncorrected[j][2]++;
641 }
642 }
643 }
644 }
645
646 for(int j=0; j<nbins; j++) {
647     if (xmaxValues[j].size() > 0) {
648         sort(xmaxValues[j].begin(), xmaxValues[j].end());
649         double meanLgE;
650         if (nUncorrected[j][0]+nUncorrected[j][1]+nUncorrected[j][2] > 0) {
651             meanLgE = ↵
652             energySum[j]/(nUncorrected[j][0]+nUncorrected[j][1]+nUncorrected[j][2]);
653         }
654         else {
655             meanLgE = 0;
656         }
657         meanenergy.push_back(meanLgE);
658         int totalEvents;
659         totalEvents = nUncorrected[j][0] + nUncorrected[j][1] + nUncorrected[j][2];
660         nevents.push_back(totalEvents);
661         double x1 = CalculateX1(meanLgE);
662         double x2 = CalculateX2(meanLgE);
663         double lambdai = CalculateLambda1(meanLgE);
664         double lambda2 = CalculateLambda2(meanLgE);
665         double n1 = nUncorrected[j][1];
666         double mu1 = n1 ? xmaxSum[j][1] / n1 : 0;
667         double vBiased = xmaxSum2[j][1]/n1 - mu1*mu1;
668         double v1 = n1 > 1 ? vBiased * n1/(n1 - 1) : 0;
669         double etaRisingDepth = CalculateRisingEtaDepth(xmaxValues[j], 0.15);
670         double etaFallingDepth = CalculateFallingEtaDepth(xmaxValues[j], 0.2);
671         double risingLambda_eta = FitLambdaEta(x1, lambdai, etaRisingDepth, true, ↵
672             xmaxValues[j]);
673         double fallingLambda_eta = FitLambdaEta(x2, lambda2, etaFallingDepth, false, ↵
674             xmaxValues[j]);
675         double etaRisingIntegral = 0;
676
677         for (int k=0; k<xmaxValues[j].size(); k++) {
678             if (x1 < xmaxValues[j].at(k) && xmaxValues[j].at(k) < etaRisingDepth) {
679                 etaRisingIntegral++;
680             }
681         }
682
683         double mu0 = x1 - risingLambda_eta;
684         double mu2 = x2 + fallingLambda_eta;
685         double z0;
686         z0 = fabs(x1-etaRisingDepth);
687         double risingInt_eta_z0 = -risingLambda_eta*(exp(-z0/risingLambda_eta) - 1);
688         double risingNorm = etaRisingIntegral/risingInt_eta_z0;
689         double risingInt_z0_inf = risingLambda_eta*exp(-z0/risingLambda_eta);
690
691         z0 = fabs(x2 - etaFallingDepth);
692         double fallingInt_eta_z0 = -fallingLambda_eta*(exp(-z0/fallingLambda_eta) - 1);
693         double fallingNorm = etaFallingIntegral/fallingInt_eta_z0;
694         double z0_inf = fallingLambda_eta*exp(-z0/fallingLambda_eta);
695         double n0 = nUncorrected[j][0] ? nUncorrected[j][0]/(lambda1/(lambda1 + ↵
696             risingLambda_eta)) : 0;
697         double n2 = nUncorrected[j][2] ? nUncorrected[j][2]/(lambda2/(lambda2 + ↵

```

25

```

700     fallingLambda_eta)) : 0;
701     double v0 = pow(risingLambda_eta, 2);
702     double v2 = pow(fallingLambda_eta, 2);
703     double nTot = n0 + n1 + n2;
704     double muTot = nTot ? (n0*n0 + mu1*n1 + mu2*n2)/nTot : 0;
705     double varTot = nTot ? (v0*n0 + v1*n1 + v2*n2) / nTot + (n0*(pow(mu0 - muTot, ↵
706     2)) + n1*(pow(mu1 - muTot, 2)) + n2*(pow(mu2 - muTot, 2)))/nTot : 0;
707     double meanXmax = muTot;
708     double resCorrection2 = pow(CalculateFDTotalResolutionICRC17(meanLgE), 2);
709     double sigmaMax = sqrt(varTot - resCorrection2);
710     mean.push_back(meanXmax);
711     sigma.push_back(sigmaMax);
712 }
713
714 //=====
715 Functions to calculate  $\Xi$ ,  $\lambda$ ,  $\Lambda$  and  $\lambda$ 
716 which together define the acceptance
717 =====
718
719 double CalculateX1(double lgE)
720 {
721     double x1Pars[] = {594.8462226, 50.54349205, -60.94689503};
722     double x = lgE - 18.0;
723     double result = x1Pars[0] + x1Pars[1]*x + x1Pars[2]*x*x;
724     return result;
725 }
726
727 double CalculateX2(double lgE)
728 {
729     double x2Pars[] = {8.83671678e+02, 1.83673105e+01, -1.55386564e-01};
730     double x = lgE - 18.0;
731     double result;
732     result = x2Pars[0] + x2Pars[1]*x + x2Pars[2]*x*x;
733     return result;
734 }
735
736 double CalculateLambda1(double lgE)
737 {
738     double l1Pars[] = {145.73893611, 245.13007698, -15.20000551};
739     double x = lgE - 18.0;
740     double result = l1Pars[0] + l1Pars[1]*x + l1Pars[2]*x*x;
741     return result;
742 }
743
744 double CalculateLambda2(double lgE)
745 {
746     double l2Pars[] = {103.97282671, 59.99931423, 0.81381344};
747     double x = lgE - 18.0;
748     double result = l2Pars[0] + l2Pars[1]*x + l2Pars[2]*x*x;
749     return result;
750 }
751
752 //=====
753 Functions for the LambdaEta correction
754 =====
755
756 double CalculateK(double Lambda_eta, double z0, double lambda)
757 {
758     return Lambda_eta*(1 + exp(-z0/Lambda_eta)*(lambda/(lambda + Lambda_eta) - 1));
759 }
760
761 double CalculateRisingEtaDepth(vector<double> xmaxValues, double eta)
762 {
763     sort(xmaxValues.begin(), xmaxValues.end());
764     int etaValue = (1 - eta)*xmaxValues.size();
765     return xmaxValues.at(etaValue);
766 }

```

26

```

767
768 double CalculateFallingEtaDepth(vector<double> xmaxValues, double eta)
769 {
770     sort(xmaxValues.begin(), xmaxValues.end());
771     int etaValue = (1 - eta)*xmaxValues.size();
772     return xmaxValues.at(etaValue);
773 }
774
775 // loglikelihood function
776 double LambdaEtaLLH(double lambda_eta, double x0, double lambda, double etaDepth, ↵
777     bool rising, vector<double> xmaxValues)
778 {
779     double llh = 0;
780     int n = 0;
781     sort(xmaxValues.begin(), xmaxValues.end());
782     for (int iDepth = 0; iDepth < xmaxValues.size(); iDepth++) {
783         if (rising) {
784             if (xmaxValues.at(iDepth) < etaDepth) {
785                 llh += (etaDepth - xmaxValues.at(iDepth))/lambda_eta;
786                 n++;
787             }
788         }
789         else {
790             if (xmaxValues.at(iDepth) > etaDepth) {
791                 llh += (xmaxValues.at(iDepth) - etaDepth)/lambda_eta;
792                 n++;
793             }
794         }
795
796         double z0;
797         if (rising) z0 = etaDepth - x0;
798         else z0 = x0 - etaDepth;
799         const double norm = lambda_eta*(1 + ↵
800             exp(-z0/lambda_eta)*(lambda/(lambda + lambda_eta) - 1));
801         const double logNorm = log(norm);
802         llh += n*logNorm;
803     }
804
805     double FitLambdaEta(double x0, double lambda, double etaDepth, bool rising, ↵
806     vector<double> xmaxValues)
807     {
808         double maxLE = 99;
809         double minLE = 1;
810         double deltaLE = 0.1;
811
812         double bestLLH = INFINITY;
813         double bestLE = INFINITY;
814
815         for (double iLambda_eta = minLE; iLambda_eta < maxLE; iLambda_eta += deltaLE)
816         {
817             double llh = LambdaEtaLLH(iLambda_eta, x0, lambda, etaDepth, rising, xmaxValues);
818
819             if (llh < bestLLH)
820             {
821                 bestLE = iLambda_eta;
822                 bestLLH = llh;
823             }
824         }
825         return bestLE;
826     }
827
828 //=====
829 Functions to calculate the FD resolution
830 =====
831 double CalculateFDTotalResolutionICRC17(double lgE)

```

27

```

832 {
833     double par[3] = {14.78496075, 3.40816591, -19.60465435};
834     double resDet = par[0] + par[1] * pow((lgE + par[2]), 2);
835     return resDet;
836 }
837
838 //=====
839 Utility function to round doubles to fixed precision
840 in scientific notation (4 digits after decimal point)
841 =====
842
843 double RoundFixedPrecision(double value)
844 {
845     int exponent = floor(TMath::Log10(value));
846
847     if(exponent == 0) return round(value*10000.)/10000.;
848     if(exponent == 1) return round(value*1000.)/1000.;
849     if(exponent == 2) return round(value*100.)/100.;
850     if(exponent == 3) return round(value*10.)/10. ;
851     if(exponent == 4) return round(value*1.)/1. ;
852 }
853
854
855 //=====
856 Main function to determine the first and second moments
857 of the Imax distributions in given energy bins using
858 the bootstrapping method
859
860 =====
861 void GetXmaxMomentsUncertainties(vector<double> xmaxvalues_input, vector<double> ↵
862     logenergycvalues_input, vector<double> binboundaries, vector<double> &meanerror, ↵
863     vector<double> &sigmamax)
864 {
865     int nbins = binboundaries.size();
866     vector<double> xmaxValues[nbins];
867     vector<double> logenergyValues[nbins];
868
869     for(int i=0; i<xmaxvalues_input.size(); i++)
870     {
871         for (int j=0; j<nbins; j++) {
872             if (binboundaries.at(j) <= logenergycvalues_input.at(i) && ↵
873                 logenergycvalues_input.at(i) < binboundaries.at(j+1))
874             {
875                 xmaxValues[j].push_back(xmaxvalues_input.at(i));
876                 logenergyValues[j].push_back(logenergycvalues_input.at(i));
877             }
878         }
879     }
880
881     vector<double> binboundaries_reduced, meanXmax_mock, sigmaXmax_mock;
882     vector<double> xmaxvalues_mock, energyvalues_mock;
883     int irandom;
884     int nmock = nwuerfe;
885
886     TRandom3 r(100);
887
888     for(int j=0; j<nbins-1; j++)
889     {
890         binboundaries_reduced.push_back(binboundaries.at(j));
891         binboundaries_reduced.push_back(binboundaries.at(j+1));
892
893         cout << " Processing bin " << binboundaries_reduced.at(0) << " to " << ↵
894             binboundaries_reduced.at(1) << endl;
895
896         if (xmaxValues[j].size() == 0) continue;
897
898         for(int k=1; k<=nmock; k++)
899     }
900 }

```

28

```

898
899     if(k%10 == 0) cout << "    Generating mock dataset " << k << " of " << nmock <-
900     << endl;
901     for(int l=0; l<xmaxValues[j].size(); l++)
902     {
903         irandom = r.Integer(xmaxValues[j].size());
904         xmaxvalues_mock.push_back(xmaxValues[j].at(irandom));
905         energysvalues_mock.push_back(logenergyValues[j].at(irandom));
906     }
907
908     vector<double> meanXmax, sigmaXmax, meanEnergy;
909     vector<int> nEvents;
910
911     GetXmaxMoments(xmaxvalues_mock, energysvalues_mock, binboundaries_reduced, ←
912     meanXmax, sigmaXmax, meanEnergy, nEvents);
913
914     meanXmax_mock.push_back(meanXmax.at(0));
915     sigmaXmax_mock.push_back(sigmaXmax.at(0));
916
917     xmaxvalues_mock.clear();
918     energysvalues_mock.clear();
919
920     vector<double> momentsMean = GetMoments(meanXmax_mock);
921     meanerror.push_back(momentsMean[1]);
922     vector<double> momentsSigma = GetMoments(sigmaXmax_mock);
923     sigmaerror.push_back(momentsSigma[1]);
924
925     meanXmax_mock.clear();
926     sigmaXmax_mock.clear();
927     binboundaries_reduced.clear();
928 }
929
930 //***** Utility function to calculate first and second moment
931 //      of a vector
932 //*****
933
934 vector<double> GetMoments(vector<double> v)
935 {
936     double mean;
937     double stdev;
938     vector<double> Moments;
939     double sum = accumulate(v.begin(), v.end(), 0.0);
940     mean = sum / v.size();
941     vector<double> diff(v.size());
942     transform(v.begin(), v.end(), diff.begin(), bind2nd(minus<double>(), mean));
943     double sq_sum = inner_product(diff.begin(), diff.end(), diff.begin(), 0.0);
944     stdev = sqrt(sq_sum / v.size());
945     Moments.push_back(mean);
946     Moments.push_back(stdev);
947     return Moments;
948 }
949
950 vector<double> CreateBinBoundaryVec()
951 {
952     vector<double> binBoundaries;
953     binBoundaries.push_back(17.8); binBoundaries.push_back(17.9);
954     binBoundaries.push_back(18.0); binBoundaries.push_back(18.1);
955     binBoundaries.push_back(18.2); binBoundaries.push_back(18.3);
956     binBoundaries.push_back(18.4); binBoundaries.push_back(18.5);
957     binBoundaries.push_back(18.6); binBoundaries.push_back(18.7);
958     binBoundaries.push_back(18.8); binBoundaries.push_back(18.9);
959     binBoundaries.push_back(19.0); binBoundaries.push_back(19.1);
960     binBoundaries.push_back(19.2); binBoundaries.push_back(19.3);
961     binBoundaries.push_back(19.4); binBoundaries.push_back(19.5);
962     binBoundaries.push_back(19.6); return binBoundaries;
963 }

```

29

```

Dies ist der Code mit dem verschiedene Datensätze miteinander verglichen werden können. Als Input-Daten dienen die Output Dateien der  $X_{\max}$ -Analyse.

1 #include <vector>
2 #include <string>
3 #include <iostream>
4 #include <math.h>
5 #include <iostream>
6 #include <fstream>
7
8 #include <TFile.h>
9 #include <TMath.h>
10 #include <TTree.h>
11 #include <Style.h>
12 #include <Canvas.h>
13 #include <TROOT.h>
14 #include <Latex.h>
15 #include <TH1D.h>
16 #include <GraphErrors.h>
17 #include <Legend.h>
18
19 using namespace std;
20
21 // Defined functions
22 vector<vector<double> > Transpose2x2Vec(vector<vector<double> > VecStart);
23 vector<vector<double> > ReadFileInXmaxVec(string pathname, bool transpose);
24 void make18plotsinoneCanvas (vector<vector<double> > Xmax1, string titleXmax1, ←
25     string outputfilename);
26 void compare2XmaxVecsIn18Hists (vector<vector<double> > Xmax1, vector<vector<double> > ←
27     Xmax2, string titleXmax1, string titleXmax2, string outputfilename);
28 void compare4ResVecs (vector<vector<double> > Results1, vector<vector<double> > ←
29     Result2, vector<vector<double> > Result3, vector<vector<double> > Result4, string ←
30     legentry1, string legentry2, string legentry3, string legentry4, string ←
31     outputfilename);
32 void compare2ResVecs (vector<vector<double> > Results1, vector<vector<double> > ←
33     Result2, string legentry1, string legentry2, string outputfilename);
34 TH1D* makeHist (vector<double> vec, bool autorange=1, double xmin=0., double xmax=1., ←
35     string histname="");
36 void graphLayout(TGraph* graph, int color, int marker=1, float markersize=1.0, int ←
37     linestyle=0, float linesize=1.0);
38 vector<double> CreateBinBoundaryVec();
39 void EmptyResultVec (vector<vector<double> > &Results1, double minnumber );
40
41 // Defined variables
42 vector<vector<double> > Xmax1, Xmax2, Xmax3, Xmax4;
43 vector<vector<double> > Results1, Results2, Results3, Results4;
44
45 // parameters to determine the Files and characterize the datasets
46 string ReadFile1 = "all";
47 string cloudlimit1 = "0";
48 string CutOrder1 = "3";
49
50 string ReadFile2 = "all";
51 string cloudlimit2 = ">50";
52 string CutOrder2 = "3";
53
54 string ReadFile3 = "all";
55 string cloudlimit3 = "0";
56 string CutOrder3 = "1";
57
58 string ReadFile4 = "all";
59 string cloudlimit4 = "0";
60 string CutOrder4 = "0";
61
62 //-----MAIN function -----
63
```

30

```

59
60 int main()
61 {
62     double minnumber = 3;
63
64     string characterize1 = ReadFile1 + "_CL" + cloudlimit1.c_str() + "_CO" + ←
65         CutOrder1.c_str();
66     string pathnamea = "./Xmax_Vec_Vecs2/XMaxVec_" + characterize1 + ".txt";
67     string pathnameab = "./Resultsmatrix2/XMaxRes_" + characterize1 + ".txt";
68     string characterize2 = ReadFile2 + "_CL" + cloudlimit2.c_str() + "_CO" + ←
69         CutOrder2.c_str();
70     string pathnamea2 = "./Xmax_Vec_Vecs2/XMaxVec_" + characterize2 + ".txt";
71     string pathnameab2 = "./Resultsmatrix2/XMaxRes_" + characterize2 + ".txt";
72     string characterize3 = ReadFile3 + "_CL" + cloudlimit3.c_str() + "_CO" + ←
73         CutOrder3.c_str();
74     string pathnamea3 = "./Xmax_Vec_Vecs2/XMaxVec_" + characterize3 + ".txt";
75     string pathnameab3 = "./Resultsmatrix2/XMaxRes_" + characterize3 + ".txt";
76     string characterize4 = ReadFile4 + "_CL" + cloudlimit4.c_str() + "_CO" + ←
77         CutOrder4.c_str();
78     string pathnamea4 = "./Xmax_Vec_Vecs2/XMaxVec_" + characterize4 + ".txt";
79     string pathnameab4 = "./Resultsmatrix2/XMaxRes_" + characterize4 + ".txt";
80
81     Xmax1 = ReadFileInXmaxVec(pathnamea.c_str(),1);
82     Xmax2 = ReadFileInXmaxVec(pathnamea2.c_str(),1);
83     Xmax3 = ReadFileInXmaxVec(pathname3a.c_str(),1);
84     Xmax4 = ReadFileInXmaxVec(pathname4a.c_str(),1);
85
86     // graphical presentation of the xmax data for each event in the dataset
87     make18plotsinoneCanvas(Xmax1, characterize1.c_str(), characterize1.c_str(), ←
88     characterize2.c_str(), "noclevalsscl");
89
90     Results1 = ReadFileInXmaxVec(pathnameab.c_str(),0);
91     Results2 = ReadFileInXmaxVec(pathnameab2.c_str(),0);
92     Results3 = ReadFileInXmaxVec(pathname3b.c_str(),0);
93     Results4 = ReadFileInXmaxVec(pathname4b.c_str(),0);
94
95     // delete those energybins, which has less than minnumber events in it, because ←
96     // the statistic is too small
97     EmptyResultVec(Results1, minnumber); EmptyResultVec(Results2, minnumber);
98     EmptyResultVec(Results3, minnumber); EmptyResultVec(Results4, minnumber);
99
100 // Compare two or four results vecs with each other, graphical presentation of the ←
101 // results for the xmax moments
102 compare2ResVecs(Results1, Results2, characterize1.c_str(), characterize2.c_str(), ←
103     "noclevalsscl");
104 compare4ResVecs(Results1, Results2, Results3, Results4, characterize1.c_str(), ←
105     characterize2.c_str(), characterize3.c_str(), characterize4.c_str(), ←
106     "CompareCutOrder");
107
108 // ----- DEFINITION OF FUNCTIONS ----- //
109
110 vector<vector<double> > ReadFileInXmaxVec(string pathname, bool transpose)
111 {
112     vector<vector<double> > ReadInMatrix;
113     ifstream file(pathname.c_str()); // oeffnet diese Datei zum Lesen
114     if(!file.is_open())
115         cerr << "Fehler beim Oeffnen der Datei (" << pathname << ")" << endl;
116
117     vector<vector<double> > Xmaxtemp;
118     while (file)
119     {
120         string line;
121         getline(file, line);
122         istringstream iss(line);
123         vector<double> values;
124         copy(istream_iterator<double>(iss), istream_iterator<double>(), ←
125             back_inserter<vector<double> >(values));
126         if (values.size() > 0) Xmaxtemp.push_back(values);
127     }
128
129     file.close();
130     if (transpose == true) ReadInMatrix = Transpose2x2Vec(Xmaxtemp);
131     else ReadInMatrix = Xmaxtemp;
132     return ReadInMatrix;
133 }
134
135 vector<vector<double> > Transpose2x2Vec(vector<vector<double> > VecStart)
136 {
137     vector<double> empty_vec;
138     vector<vector<double> > Xmax;
139     for (int z=0; z < 18; ++z)
140     {Xmax.push_back(empty_vec);}
141     for (int k=0;k<VecStart.size();++k)
142     {
143         for (int l=0; l<18; ++l)
144         {
145             if (VecStart.at(k).at(l) == 1)
146                 Xmax.at(l).push_back(VecStart.at(k).at(0));
147             break;
148         }
149     }
150     return Xmax;
151 }
152
153 void make18plotsinoneCanvas (vector<vector<double> > Xmax1, string titleXmax1, ←
154     string outputfilename)
155 {
156     TCanvas *c1 = new TCanvas(outputfilename.c_str(),"Daten_Auslese", 200, 100, ←
157         500, 768);
158     c1->Divide(3,6);
159     for (int i=0;i < 18; ++i)
160     {
161         c1->cd(i+1);
162         gPad->SetBottomMargin(0.16); gPad->SetLeftMargin(0.18);
163         gStyle->SetStat(0.37); gStyle->SetStatW(0.33);
164         gStyle->SetTitleFontSize(0.06); gStyle->SetTitleFontSize(0.06);
165         gStyle->SetTitleSize(0.065, "x"); gStyle->SetTitleSize(0.065, "y");
166         gStyle->SetLabelSize(0.065, "x"); gStyle->SetLabelSize(0.065, "y");
167         gStyle->SetOptStat("emr");
168         ostringstream oss1;
169         oss1 << (17.8 + 0.1*i) << " << lg(E/eV) <" << (17.8 + 0.1*(i+1)) ;
170
171         TH1D* hist_Xmax1 = makeHist(Xmax1.at(i), 0, 400, 1100, "");
172         hist_Xmax1->SetTitle(histname.c_str());
173         hist_Xmax1->GetXaxis()->SetTitle("Xmax [g/cm^(2)]");
174         hist_Xmax1->GetYaxis()->SetTitle("Entries");
175         hist_Xmax1->SetLineWidth(1.5);
176         hist_Xmax1->Draw();
177 }
178
179 ostringstream oss;
180 oss << "File18" << outputfilename.c_str();
181 string filename = oss.str() + ".pdf";
182 ci->SetLogy(0);
183 ci->Print(filename.c_str());
184 ci->Clear();
185
186 void compare2XmaxVecsIn18Hists (vector<vector<double> > Xmax1, vector<vector<double> > ←
187     Xmax2, string titleXmax1, string titleXmax2, string outputfilename)
188 {
189     TCanvas *c1 = new TCanvas("c1","Daten_Auslese", 200, 100, 1024, 768);
190     TCanvas *c2 = new TCanvas("c2","Daten_Auslese", 200, 100, 1024, 768);
191     int gesamtentries1 = 0; int gesamtentries2 = 0;
192     int histentries1 = 0; int histentries2 = 0;
193 }
```

31

32

```

183 for (int i=0;i < 18;++i)
184 {
185     // if (Xmax1.at(i).size() == 0) continue;
186     c1->Divide(2,1); // divide the canvas into two columns
187     c1->cd(1)->Divide(1,2); // divide the right columns into two rows
188     c1->cd(1)->cd(1);
189     gPad->SetBottomMargin(0.16); gPad->SetLeftMargin(0.18);
190     gStyle->SetStatH(0.3); gStyle->SetStatW(0.35);
191     gStyle->SetTitleFontSize(0.06); gStyle->SetTitleFontSize(0.06);
192     gStyle->SetTitleSize(0.06,"x"); gStyle->SetTitleSize(0.06,"y");
193     gStyle->SetLabelSize(0.055, "X");gStyle->SetLabelSize(0.055, "Y");
194     ostringstream oss1;
195     oss1 << (17.8 + 0.1*i) << " lg(E/eV) " << (17.8 + 0.1*(i+1));
196
197 TH1D* hist_xMax1 = makeHist(Xmax1.at(i), 0, 400, 1100, oss1.str());
198 hist_xMax1->SetTitle("titleXmax1.c_str()");
199 hist_xMax1->GetXaxis()->SetTitle("<Xmax2]");
200 hist_xMax1->GetYaxis()->SetTitle("Entries");
201 hist_xMax1->SetLineWidth(1.5);
202 hist_xMax1->Draw();
203
204 c1->cd(2);
205 gPad->SetBottomMargin(0.16); gPad->SetLeftMargin(0.18);
206 TH1D* hist_xMax2 = makeHist(Xmax2.at(i), 0, 400, 1100, oss1.str());
207 hist_xMax2->SetTitle("titleXmax2.c_str()");
208 hist_xMax2->GetXaxis()->SetTitle("<Xmax> in [g/cm2]");
209 hist_xMax2->GetYaxis()->SetTitle("Entries");
210 hist_xMax2->SetLineWidth(1.5);
211 hist_xMax2->Draw();
212 hist_xMax1->SetLineColor(4); hist_xMax2->SetLineColor(2);
213
214 c1->cd(2);
215 TH1D* hist_xMaxCOMP1 = makeHist(Xmax1.at(i), 0, 400, 1100);
216 TH1D* hist_xMaxCOMP2 = makeHist(Xmax2.at(i), 0, 400, 1100);
217 gPad->SetLeftMargin(0.18); gPad->SetBottomMargin(0.16);
218 hist_xMaxCOMP1->SetStats(0); hist_xMaxCOMP2->SetStats(0);
219 hist_xMaxCOMP1->SetLineColor(4); hist_xMaxCOMP2->SetLineColor(2);
220
221 double inthist1 = 1/hist_xMaxCOMP1->Integral();
222 double inthist2 = 1/hist_xMaxCOMP2->Integral();
223 hist_xMaxCOMP1->Scale(inthist1); hist_xMaxCOMP2->Scale(inthist2);
224
225 hist_xMaxCOMP1->SetTitle("comparison");
226 hist_xMaxCOMP1->GetXaxis()->SetTitle("<Xmax> in [g/cm2]");
227 hist_xMaxCOMP1->GetYaxis()->SetTitle("Entries (normalized)");
228 hist_xMaxCOMP1->SetTitleOffset(1.5);
229 hist_xMaxCOMP1->SetLineWidth(1.5); hist_xMaxCOMP2->SetLineWidth(1.5);
230 hist_xMaxCOMP1->Draw();
231 hist_xMaxCOMP2->Draw("same");
232
233 histentries1 = hist_xMax1->GetEntries();
234 gesamtentries1 = gesamtentries1 + histentries1;
235 histentries2 = hist_xMax2->GetEntries();
236 gesamtentries2 = gesamtentries2 + histentries2;
237
238 ostringstream oss;
239 oss << "Bin" << (17.8 + 0.1*i)*10 << outputfilename.c_str();
240 string filename = "Xmax" + oss.str() + ".pdf";
241 c1->SetLogy(0);
242 c1->Print(filename.c_str());
243 c1->Clear();
244 }
245
246 cout << "gesamtentries " << gesamtentries1 << " and " << gesamtentries2 << endl;
247 }
248
249
250 void compare2ResVecs(vector<vector<double> > Results1, vector<vector<double> > Results2, string legentry1, string legentry2, string outputfilename)
251 {

```

```

252 {
253     string File1 = "XmaxMoment1" + outputfilename + ".pdf";
254     string File2 = "XmaxMoment2" + outputfilename + ".pdf";
255     string File3 = "XmaxMoment1" + outputfilename + ".root";
256     string File4 = "XmaxMoment2" + outputfilename + ".root";
257
258 TCanvas *c1 = new TCanvas("c1","Ergebnisvergleich", 200, 100, 1024, 768);
259 TGraphErrors *g1 = new TGraphErrors(); TGraphErrors *g2 = new TGraphErrors();
260 TGraphErrors *g3 = new TGraphErrors(); TGraphErrors *g4 = new TGraphErrors();
261 TGraphErrors *g5 = new TGraphErrors(); TGraphErrors *g6 = new TGraphErrors();
262
263 TLegend *leg = new TLegend(0.12,0.95,0.35,0.72, ""); //Position in % des Canvas, ↵
264 z oben links , y oben links , z- unten rechts, y-unten rechts
265 leg->AddEntry(g1,legentry1.c_str(),"p"); leg->AddEntry(g2,legentry2.c_str(),"p");
266 TLegend *leg2 = new TLegend(0.12,0.2,0.34,0.45, ""); //Position in % des Canvas, ↵
267 z oben links , y oben links , z- unten rechts, y-unten rechts
268 leg2->AddEntry(g3,legentry1.c_str(),"p"); leg2->AddEntry(g4,legentry2.c_str(),"p");
269
270 c1->Divide(1,2);
271 gStyle->SetTitleSize(0.06,"x"); gStyle->SetTitleSize(0.06,"y");
272 gStyle->SetLabelSize(0.06, "X"); gStyle->SetLabelSize(0.06, "Y");
273 gStyle->SetTitleFontSize(0.06); gStyle->SetTitleFontSize(0.06);
274
275 for (int i=0;i<Results1.size(); ++i)
276 {
277     if (Results1.at(i).size() != 0)
278     {
279         if ((Results1.at(i).at(2) != -1 || Results1.at(i).at(2) != Results1.at(i).at(2)) && ↵
280             g1->SetPoint(i,Results1.at(i).at(0),Results1.at(i).at(2)); // 1.Wert teilt dem ↵
281             Datenpaar eine Nummer zu, 2. Wert ist der x-Wert, dritter der y-Wert
282         if ((Results1.at(i).at(3) != -1 || Results1.at(i).at(3) != Results1.at(i).at(3)) && ↵
283             g1->SetPointError(i, 0, Results1.at(i).at(3));
284     }
285     if (Results2.at(i).size() != 0)
286     {
287         if ((Results2.at(i).at(2) != -1 || Results2.at(i).at(2) != Results2.at(i).at(2)) && ↵
288             g2->SetPoint(i,Results2.at(i).at(0),Results2.at(i).at(2));
289         if ((Results2.at(i).at(3) != -1 || Results2.at(i).at(3) != Results2.at(i).at(3)) && ↵
290             g2->SetPointError(i, 0, Results2.at(i).at(3));
291     }
292     if (Results1.at(i).size() == 0 || Results2.at(i).size() == 0) continue;
293     if (Results1.at(i).at(2) != -1 && Results2.at(i).at(2) != -1 && ↵
294         Results1.at(i).at(2) != Results2.at(i).at(2) || Results2.at(i).at(2) != ↵
295         Results2.at(i).at(2))
296     {
297         g3->SetPoint(i,Results1.at(i).at(0)+Results2.at(i).at(0)/2,Results1.at(i).at(3) + ↵
298             Results2.at(i).at(3));
299         if ((Results1.at(i).at(3) != -1 || Results2.at(i).at(3) != Results2.at(i).at(3)) && ↵
300             g3->SetPointError(i, 0, Results2.at(i).at(3));
301     }
302     if (Results1.at(i).size() == 0 || Results2.at(i).size() == 0) continue;
303     if (Results1.at(i).at(4) != -1)
304     {
305         g3->SetPoint(i,Results1.at(i).at(0)+Results2.at(i).at(0)/2,Results2.at(i).at(4) + ↵
306             Results1.at(i).at(4));
307         if ((Results1.at(i).at(5) != -1 && Results2.at(i).at(5) != -1) && ↵
308             g3->SetPointError(i, 0, Results2.at(i).at(5) + Results1.at(i).at(5));
309     }
310
311     c1->cd(2)->Update();
312     c1->cd(2); gPad->SetBottomMargin(0.15);
313     g3->Draw("AP"); g3->Draw("AP");
314     g1->Draw();
315     g1->Draw("SAMEP");
316     g2->Draw();
317     c1->cd(1)->SetGrid(1, 1);
318     c1->cd(1)->Update();
319
320     // Draw all things on the second pad
321     c1->cd(2); gPad->SetBottomMargin(0.15);
322     g3->Draw("AP"); g3->Draw("AP");
323     c1->cd(2)->SetGrid(1, 1);
324     c1->cd(2)->Update();
325
326     c1->Print(File1.c_str(),"pdf");
327     c1->SaveAs(File3.c_str());
328     c1->Clear();
329     c1->Divide(1,2);
330     // Do the same process for the second zmax moment
331     for (int i=0; i<Results2.size(); -7, ++i)
332     {
333         if (Results1.at(i).size() != 0)
334         {
335             if ((Results1.at(i).at(4) != -1) && ↵
336                 g4->SetPoint(i,Results1.at(i).at(0),Results1.at(i).at(4)); // 1.Wert teilt dem ↵
337                 Datenpaar eine Nummer zu, 2. Wert ist der x-Wert, dritter der y-Wert
338             if ((Results1.at(i).at(5) != -1) && ↵
339                 g4->SetPoint(i,Results1.at(i).at(0),Results1.at(i).at(5));
340             if ((Results2.at(i).size() == 0 || Results2.at(i).size() == 0) continue;
341             if (Results1.at(i).at(4) != -1)
342             {
343                 g6->SetPoint(i,(Results1.at(i).at(0)+Results2.at(i).at(0))/2,Results2.at(i).at(4) + ↵
344                     Results1.at(i).at(4));
345                 if ((Results1.at(i).at(5) != -1 && Results2.at(i).at(5) != -1) && ↵
346                     g6->SetPointError(i, 0, Results2.at(i).at(5) + Results1.at(i).at(5));
347             }
348
349     graphLayout(g4,4,2,2);
350     g4->SetTitle("Energie/Xmax- Analyse");
351     g4->GetXaxis()->SetTitle("lg(E/eV)");
352     g4->GetYaxis()->SetTitle("sigma(Xmax) in [g/cm2]");
353     g4->CenterTitle(); g4->GetYaxis()->CenterTitle();
354     g4->GetYaxis()->SetTitleOffset(0.7);
355     graphLayout(g5,2,3,2);
356     g5->SetTitle("Energie/Xmax- Analyse");
357     g5->GetXaxis()->SetTitle("lg(E/eV)");
358     g5->GetYaxis()->SetTitle("sigma(Xmax) in [g/cm2]");
359     g5->CenterTitle(); g5->GetYaxis()->CenterTitle();
360     g5->GetYaxis()->SetTitleOffset(0.7);
361     graphLayout(g6,1,2,2);
362     g6->SetTitle("Differenz");
363     g6->GetXaxis()->SetTitle("Differenz in [g/cm2]");
364     g6->CenterTitle(); g6->GetYaxis()->CenterTitle();
365     g6->GetYaxis()->SetTitleOffset(0.7);
366
367     // Draw all things on the first pad
368     c1->cd(1); gPad->SetBottomMargin(0.15);
369     g5->Draw("AP"); g5->Draw("AP"); g4->Draw("SAMEP");
370     leg2->Draw();
371     c1->cd(1)->SetGrid(1, 1);

```

33

34

```

380 g3->GetXaxis()->CenterTitle(); g3->GetYaxis()->CenterTitle();
381 g3->GetYaxis()->SetTitleOffset(0.7);
382
383 // Draw all things on the first pad
384 c1->cd(1); gPad->SetBottomMargin(0.17);
385 g2->Draw("AP"); g2->Draw("AP"); g1->Draw("SAMEP");
386 g1->GetYaxis()->SetTitle("0.1");
387 g1->Draw();
388 c1->cd(2)->Update();
389
390 c1->Print(File1.c_str(),"pdf");
391 c1->SaveAs(File3.c_str());
392 c1->Clear();
393
394
395 // Draw all things on the second pad
396 c1->cd(2); gPad->SetBottomMargin(0.15);
397 g3->Draw("AP"); g3->Draw("AP");
398 c1->cd(2)->SetGrid(1, 1);
399 c1->cd(2)->Update();
400 c1->Print(File2.c_str(),"pdf");
401 c1->SaveAs(File4.c_str());
402 c1->Clear();
403
404
405 void compare4ResVecs(vector<vector<double> > Results1, vector<vector<double> > Results2, vector<vector<double> > Results3, vector<vector<double> > Results4, string legentry1, string legentry2, string legentry3, string legentry4, string outputfilename)
406 {
407     string File1 = "XmaxMoment1" + outputfilename + ".pdf";
408     string File2 = "XmaxMoment2" + outputfilename + ".pdf";
409     string File3 = "XmaxMoment1" + outputfilename + ".root";
410     string File4 = "XmaxMoment2" + outputfilename + ".root";
411
412 TCanvas *c1 = new TCanvas("c1","Ergebnisvergleich", 200, 100, 1024, 768);
413 TGraphErrors *g1 = new TGraphErrors(); TGraphErrors *g2 = new TGraphErrors();
414 TGraphErrors *g3 = new TGraphErrors(); TGraphErrors *g4 = new TGraphErrors();
415 TGraphErrors *g5 = new TGraphErrors(); TGraphErrors *g6 = new TGraphErrors();
416 TGraphErrors *g7 = new TGraphErrors();
417
418 TLegend *leg = new TLegend(0.12,0.95,0.35,0.72, ""); //Position in % des Canvas, ↵
419 z oben links , y oben links , z- unten rechts, y-unten rechts
420 leg->AddEntry(g1,legentry1.c_str(),"p"); leg->AddEntry(g2,legentry2.c_str(),"p");
421 leg->AddEntry(g3,legentry3.c_str(),"p"); leg->AddEntry(g4,legentry4.c_str(),"p");
422
423 TLegend *leg2 = new TLegend(0.12,0.2,0.34,0.45, ""); //Position in % des Canvas, ↵
424 z oben links , y oben links , z- unten rechts, y-unten rechts
425 leg2->AddEntry(g1,legentry1.c_str(),"p"); leg2->AddEntry(g2,legentry2.c_str(),"p");
426 leg2->AddEntry(g3,legentry3.c_str(),"p"); leg2->AddEntry(g4,legentry4.c_str(),"p");
427
428 c1->Divide(1,2);
429 g1->SetTitleSize(0.06,"x"); gStyle->SetTitleSize(0.06,"y");
430 g1->SetLabelSize(0.06, "X"); gStyle->SetLabelSize(0.06, "Y");
431 g1->SetTitleFontSize(0.06); gStyle->SetTitleFontSize(0.06);
432
433 // produces the graphs for the first zmax moment
434 for (int i=0; i<Results1.size(); ++i)
435 {
436     g1->SetPoint(i,Results1.at(i).at(0),Results1.at(i).at(2));
437     g1->SetPointError(i, 0, Results1.at(i).at(3));
438     g2->SetPoint(i,Results2.at(i).at(0),Results2.at(i).at(2));
439     g2->SetPointError(i, 0, Results2.at(i).at(3));
440     g3->SetPoint(i,Results3.at(i).at(0),Results3.at(i).at(2));
441     g3->SetPointError(i, 0, Results3.at(i).at(3));
442     g4->SetPoint(i,Results4.at(i).at(0),Results4.at(i).at(2));
443     g4->SetPointError(i, 0, Results4.at(i).at(3));
444     g5->SetPoint(i,(Results1.at(i).at(0)+Results2.at(i).at(0))/2,Results2.at(i).at(4) + ↵
445         Results1.at(i).at(4));
446     g5->SetPointError(i, 0, Results2.at(i).at(5) + Results1.at(i).at(5));
447     g6->SetPoint(i,(Results2.at(i).at(0)+Results3.at(i).at(0))/2,Results3.at(i).at(5) + ↵
448         Results2.at(i).at(5));
449     g6->SetPointError(i, 0, Results3.at(i).at(6) + Results2.at(i).at(6));
450     g7->SetPoint(i,(Results3.at(i).at(0)+Results4.at(i).at(0))/2,Results4.at(i).at(6) + ↵
451         Results3.at(i).at(6));
452     g7->SetPointError(i, 0, Results4.at(i).at(7) + Results3.at(i).at(7));
453
454     graphLayout(g1,1,3,2); // Results1
455     graphLayout(g2,2,2,1.5); // Results2
456     graphLayout(g3,8,5,1.5); // Results3
457     g1->SetTitle("Energie/Xmax- Analyse");
458     g1->GetXaxis()->SetTitle("lg(E/eV)");
459     g1->GetYaxis()->SetTitle("Xmax in [g/cm2]");
460
461     g2->SetTitle("Energie/Xmax- Analyse");
462     g2->GetXaxis()->SetTitle("lg(E/eV)");
463     g2->GetYaxis()->SetTitle("Xmax in [g/cm2]");
464
465     g3->SetTitle("Differenz");
466     g3->GetXaxis()->SetTitle("Differenz in [g/cm2]");
467     g3->CenterTitle(); g3->GetYaxis()->CenterTitle();
468     g3->GetYaxis()->SetTitleOffset(0.7);
469
470     // Draw all things on the first pad
471     c1->cd(1); gPad->SetBottomMargin(0.15);
472     g5->Draw("AP"); g5->Draw("AP"); g4->Draw("SAMEP");
473     leg2->Draw();
474     c1->cd(1)->SetGrid(1, 1);

```

35

36

```

433 g1->GetXaxis()->CenterTitle();
434 g1->GetYaxis()->CenterTitle();
435 g1->GetYaxis()->SetTitleOffset(0.7);
436 g1->GetYaxis()->SetTickSize(0.05);
437
438 graphLayout(g5,2,2,1.5); // Results2 - Results1
439 graphLayout(g6,8,5,1.5); // Results3 - Results1
440 graphLayout(g7,4,26,1.5); // Results4 - Results1
441 string title = "Differenz der Datens<math>\delta</math>atze zu dem all_CLO_C03 Datensatz";
442 g5->SetTitle(title.c_str());
443 g5->GetXaxis()->SetTitle("lg(E/eV)");
444 g5->GetXaxis()->SetTitle("Differenz in [g/cm^2]");
445 g5->CenterTitle(); g5->GetYaxis()->CenterTitle();
446 g5->GetYaxis()->SetTitleOffset(0.7);
447
448 // Draw all things on the first pad
449 ci->cd(1); gPad->SetBottomMargin(0.17);
450 g1->Draw("AP"); g2->Draw("SAMEP");
451 g3->Draw("SAMEP"); g4->Draw("SAMEP");
452 leg->Draw(); ci->cd(1)->SetGrid(1, 1);
453 ci->cd(1)->Update();
454
455 // Draw all things on the second pad
456 ci->cd(2); gPad->SetBottomMargin(0.15);
457 g5->Draw("AP"); g6->Draw("SAMEP"); g7->Draw("SAMEP");
458 ci->cd(2)->SetGrid(1, 1);
459 ci->cd(2)->Update();
460 ci->Print(File1.c_str(),"pdf");
461 ci->SaveAs(File3.c_str());
462 ci->Clear();
463 // STARTS the same process again for the 2.Moment of Xmax //////
464 ci->Divide(1,2);
465 for (int i=0; i<Results1.size()-8; ++i){
466   g1->SetPoint(i,Results1.at(i).at(0),Results1.at(i).at(4)); // 1.Wert teilt ←
467   dem Datenpaar eine Nummer zu, 2. Wert ist der x-Wert, dritter der y-Wert
468   g1->SetPointError (i, 0, Results1.at(i).at(5));
469   g2->SetPointError (i, Results2.at(i).at(0),Results2.at(i).at(4));
470   g2->SetPointError (i, 0, Results2.at(i).at(5));
471   g3->SetPointError (i, Results3.at(i).at(0),Results3.at(i).at(4));
472   g3->SetPointError (i, 0, Results3.at(i).at(5));
473   g4->SetPointError (i, Results4.at(i).at(0),Results4.at(i).at(4));
474   g4->SetPointError (i, 0, Results4.at(i).at(5));
475
476   g5->SetPoint(i,(Results1.at(i).at(0)+Results2.at(i).at(0))/2,Results2.at(i).at(4) ←
477   - Results1.at(i).at(4));
478   g5->SetPointError (i, 0, Results2.at(i).at(5) + Results1.at(i).at(5));
479
480   g6->SetPoint(i,(Results1.at(i).at(0)+Results3.at(i).at(0))/2,Results3.at(i).at(4) ←
481   - Results1.at(i).at(4));
482   g6->SetPointError (i, 0, Results3.at(i).at(5) + Results1.at(i).at(5));
483
484   g7->SetPoint(i,(Results1.at(i).at(0)+Results4.at(i).at(0))/2,Results4.at(i).at(4) ←
485   - Results1.at(i).at(4));
486   g7->SetPointError (i, 0, Results4.at(i).at(5) + Results1.at(i).at(5));
487 }
488
489 graphLayout(g1,1,3,2); // Results1
490 graphLayout(g2,2,2,1.5); // Results2
491 graphLayout(g3,8,5,1.5); // Results3
492 graphLayout(g4,4,26,1.5); // Results4
493 g1->SetTitle("Energie/X_{max} - Analyse");
494 g1->GetXaxis()->SetTitle("lg(E/eV)");
495 g1->GetXaxis()->SetTitle("sigma(X_{max}) in [g/cm^2]");
496 g1->CenterTitle(); g1->GetYaxis()->CenterTitle();
497 g1->GetYaxis()->SetTitleOffset(0.7); g1->GetYaxis()->SetTickSize(0.05);
498
499 graphLayout(g5,2,2,1.5); // Results2 - Results1
500 graphLayout(g6,8,5,1.5); // Results3 - Results1
501 graphLayout(g7,4,26,1.5); // Results4 - Results1

```

37

```

502 // Draw all things on the first pad
503 ci->cd(1); gPad->SetBottomMargin(0.17);
504 g1->Draw("AP"); g2->Draw("SAMEP");
505 g3->Draw("SAMEP"); g4->Draw("SAMEP");
506 leg2->Draw(); ci->cd(1)->SetGrid(1, 1);
507 ci->cd(1)->Update();
508 // Draw all things on the second pad
509 ci->cd(2);
510 gPad->SetBottomMargin(0.15);
511 g5->Draw("AP"); g6->Draw("SAMEP");
512 g7->Draw("SAMEP");
513 ci->cd(2)->SetGrid(1, 1);
514 ci->cd(2)->Update();
515 ci->Print(File2.c_str(),"pdf");
516 ci->SaveAs(File4.c_str());
517 ci->Clear();
518
519 vector<double> CreateBinBoundaryVec()
520 {
521   vector<double> binBoundaries;
522   binBoundaries.push_back(17.8); binBoundaries.push_back(17.9);
523   binBoundaries.push_back(18.0); binBoundaries.push_back(18.1);
524   binBoundaries.push_back(18.2); binBoundaries.push_back(18.3);
525   binBoundaries.push_back(18.4); binBoundaries.push_back(18.5);
526   binBoundaries.push_back(18.6); binBoundaries.push_back(18.7);
527   binBoundaries.push_back(18.8); binBoundaries.push_back(18.9);
528   binBoundaries.push_back(18.9); binBoundaries.push_back(19.0);
529   binBoundaries.push_back(19.2); binBoundaries.push_back(19.3);
530   binBoundaries.push_back(19.4); binBoundaries.push_back(19.5);
531   binBoundaries.push_back(20.2);
532   return binBoundaries;
533 }
534
535 //=====
536 // Utility functions for making histograms
537 //=====
538
539 TH1* makeHist(vector<double> vec, bool autorange, double xmin, double xmax, string ↵
540   histname)
541 {
542   double max, min;
543   if(vec.size()>0){
544     max = vec.at(0);
545     min = vec.at(0);
546     vector<double>::iterator it;
547     for(it=vec.begin() ; it < vec.end(); it++){
548       if(*it > max) max = *it;
549       if(*it < min) min = *it;
550     }
551 }
552
553 TH1D* hist;
554 if(autorange==1){
555   hist = new TH1D(histname.c_str(), "", 35, 1/8.*9.*min-max, 1/8.*9.*max-min);
556 }
557 else if(autorange==0){
558   hist = new TH1D(histname.c_str(), "", 35, xmin, xmax);
559 }
560 if(vec.size()>0){
561   vector<double>::iterator it;
562   for(it=vec.begin() ; it < vec.end(); it++){
563
564   hist->Fill(*it);
565 }
566
567 return hist;
568 }
569
570 void EmptyResultVec (vector<vector<double> > &Results1, double minnumber)
571 {
572   int i = 0;
573   while (i < Results1.size()){
574     if (Results1.at(i).at(1) < minnumber){
575       Results1.at(i).clear();
576       i++;
577     } else {i++;}
578   }
579 }
580
581 void graphLayout(TGraph* graph,int color,int marker,float markersize,int ↵
582   linestyle,float linesize)
583 {
584   graph->SetMarkerColor(color);
585   graph->SetMarkerSize(markersize);
586   graph->SetLineColor(color);
587   graph->SetLineWidth(linesize);
588   graph->SetLineStyle(linestyle);
589   graph->SetMarkerStyle(marker);
590 }

```

38

```

563   hist->Fill(*it);
564 }
565
566 return hist;
567 }
568
569
570 void EmptyResultVec (vector<vector<double> > &Results1, double minnumber)
571 {
572   int i = 0;
573   while (i < Results1.size()){
574     if (Results1.at(i).at(1) < minnumber){
575       Results1.at(i).clear();
576       i++;
577     } else {i++;}
578   }
579 }
580
581 void graphLayout(TGraph* graph,int color,int marker,float markersize,int ↵
582   linestyle,float linesize)
583 {
584   graph->SetMarkerColor(color);
585   graph->SetMarkerSize(markersize);
586   graph->SetLineColor(color);
587   graph->SetLineWidth(linesize);
588   graph->SetLineStyle(linestyle);
589   graph->SetMarkerStyle(marker);
590 }

```

39

ERKLÄRUNG

Hiermit erkläre ich, dass ich die vorliegende Bachelor-Arbeit selbstständig verfasst und keine anderen als die angegebenen Quellen und Hilfsmittel benutzt, sowie Zitate und Ergebnisse Anderer kenntlich gemacht habe.

(Datum)

(Ort)

(Unterschrift)